UNIVERSIDAD NACIONAL DEL SANTA

FACULTAD DE INGENIERIA ESCUELA PROFESIONAL DE INGENIERA MECANICA



TESIS PARA OBTAR EL TITULO PROFESIONAL DE INGENIERO MECANICO

"Rediseño de sistema de transmisión de potencia de molino de bolas de 5 tn/h para tratamiento de mineral del taller multiservicios Dliñan"

AUTOR:

Bach. Rueda López, Sergio Antonio

ASESOR:

Ing. Iparraguirre Lozano, Arquímedes Código ORCID N°0000-0002-1132-7688

> CHIMBOTE - PERÚ 2025





FACULTAD DE INGENIERÍA ESCUELA PROFESIONAL DE INGENIERÍA MECÁNICA

HOJA DE CONFORMIDAD DEL ASESOR

El presente informe de tesis titulado:

REDISEÑO DE SISTEMA DE TRANSMISION DE POTENCIA DE MOLINO DE BOLAS DE 5 TN/H PARA TRATAMIENTO DE MINERAL DEL TALLER MULTISERVICIOS DLIÑAN, elaborado por el bachiller:

RUEDA LOPEZ SERGIO ANTONIO

Para optar el título de ingeniero mecánico, ha constado el asesoramiento de quien deja constancia de su aprobación. Por tal motivo, firmo el presente trabajo en calidad de asesor

Msc Iparraguirre Lozano Arquímedes

COD. ORCID.0000-0002-1132-7688 DNI: 32766219

ASESOR

Correo Electrónico: Icalderonr@uns.edu.pe

@uns.edu.pe Teléfono: 043-310445 Anexo 1118

Campus Universitario: Av. Universitaria s/n Urb. Bellamar - Nuevo Chimbote





FACULTAD DE INGENIERÍA ESCUELA PROFESIONAL DE INGENIERÍA MECÁNICA

HOJA DE CONFORMIDAD DEL JURADO EVALUADOR

El presente informe de tesis titulado:

REDISEÑO DE SISTEMA DE TRANSMISION DE POTENCIA DE MOLINO DE BOLAS DE 5 TN/H PARA TRATAMIENTO DE MINERAL DEL TALLER MULTISERVICIOS DLIÑAN, elaborado por el bachiller:

RUEDA LOPEZ SERGIO ANTONIO

Para optar el título de ingeniero mecánico, fue revisado y aprobado por el siguiente jurado

evaluador

Msc. Escalante Espinoza, Nelver Javier

CØD. ORCID. 000-0001-8586-3021

DNI: 32763819 PRESIDENTE

Msc. Calderón Rodríguez, Luis Carlos COD. ORCID. 0000-0002-9447-2257

DNI:32977058 SECRETARIO Msc. Iparraguirre Lozano Arquímedes COD. ORCID. 0000-0002-1132-7688

ASESOR

DNI: 32766219

Correo Electrónico: Icalderonr@uns.edu.pe

Teléfono: 043-310445 Anexo 1118

Campus Universitario: Av. Universitaria s/n Urb. Bellamar - Nuevo Chimbote



FACULTAD DE INGENIERÍA ESCUELA PROFESIONAL INGENIERÍA MECÁNICA

epim@uns.edu.pe

ACTA DE SUSTENTACIÓN INFORME FINAL DE TESIS

A los treinta días del mes de diciembre del año dos mil veinticuatro, siendo las 12:00 pm., En el Laboratorio de Uso Múltiple de la Escuela Profesional de Ingeniería Mecánica-FI-UNS, se instaló el Jurado Evaluador designado mediante Resolución Nº 324-2024-UNS-CFI, y de expedito según Resolución Decanal N° 879-2024-UNS-FI integrado por los docentes: Msc. Nelver Javier Escalante Espinoza (presidente), Msc. Luis Carlos Calderón Rodriguez (secretario) y el Msc. Arquimedes Iparraguirre Lozano (Integrante), para dar inicio a la sustentación de la Tesis titulada: REDISEÑO DE SISTEMA DE TRANSMISIÓN DE POTENCIA DE MOLINO DE BOLAS DE 5 TN/H PARA TRATAMIENTO DE MINERAL DEL TALLER MULTISERVICIOS DLIÑAN", perteneciente al bachiller: RUEDA LOPEZ SERGIO ANTONIO con código de matrícula N° 0201516058, quien fue asesorado por el Msc. Arquímedes Iparraguirre Lozano, según Resolución Decanal N.º 399-2021-UNS-FI.

El Jurado Evaluador, después de deliberar sobre aspectos relacionados con el trabajo, contenido y sustentación del mismo, y con las sugerencias pertinentes en concordancia con el Reglamento General de Grados y Títulos, vigente, declaran aprobar:

BACHILLER	PROMEDIO VIGESIMAL	PONDERACIÓN
RUEDA LOPEZ SERGIO ANTONIO	17	BUENO

Siendo las 12:30 pm del mismo día, se dio por terminado el acto de sustentación, firmando la presente acta en señal de conformidad.

Nuevo Chimbote, diciembre 30 de 2024

Msc. Nelver Javier Escalante Espinoza

PRESIDENTE

Msc. Luis Carlos Calderón Rodríguez

SECRETARIO

Msc. Arquimedes Iparraguirre Lozano

INTEGRANTE



Recibo digital

Este recibo confirma quesu trabajo ha sido recibido por Turnitin. A continuación podrá ver la información del recibo con respecto a su entrega.

La primera página de tus entregas se muestra abajo.

Autor de la entrega: Sergio Antonio RUEDA LOPEZ

Título del ejercicio: REDISEÑO DE SISTEMA DE TRANSMISION DE POTENCIA DE M...

Título de la entrega: REDISEÑO DE SISTEMA DE TRANSMISION DE POTENCIA DE M...

Nombre del archivo: TESIS_MOLINO_BOLAS_-_RUEDA_OK_OK_OK.docx

Tamaño del archivo: 10.13M

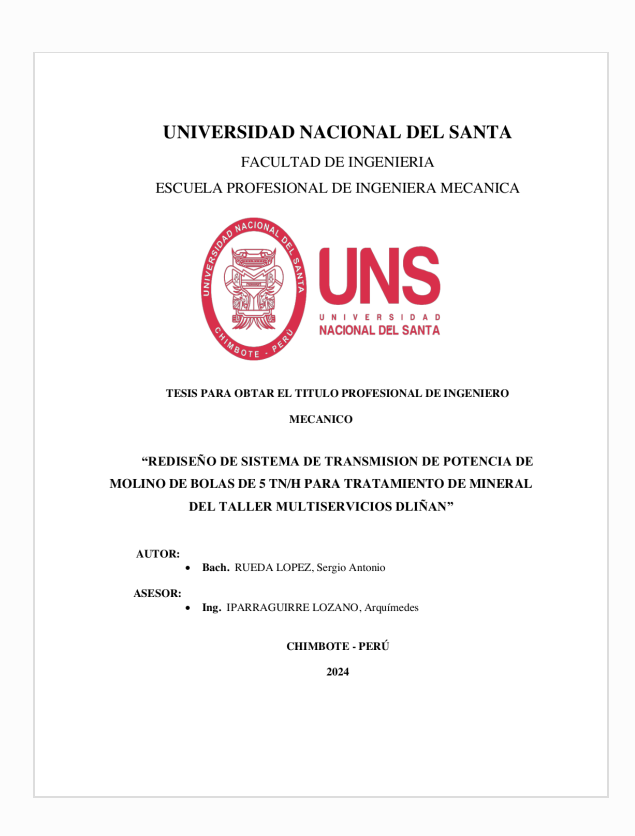
Total páginas: 128

Total de palabras: 11,350

Total de caracteres: 60,436

Fecha de entrega: 19-feb.-2025 12:09a. m. (UTC-0500)

Identificador de la entrega: 2592668259



REDISEÑO DE SISTEMA DE TRANSMISION DE POTENCIA DE MOLINO DE BOLAS DE 5 TN/H PARA TRATAMIENTO DE MINERAL DEL TALLER MULTISERVICIOS DI IÑAN

MINERAL DEL TALLER MULTISERVICIOS DLIÑAN				
INFORME DE ORIGINALIDAD				
1 INDICE	% E DE SIMILITUD	18% FUENTES DE INTERNET	0% PUBLICACIONES	5% TRABAJOS DEL ESTUDIANTE
FUENTE	S PRIMARIAS			
1	reposito	rio.uns.edu.pe		7%
2	livrosdea Fuente de Inter	amor.com.br		2%
3	repositor Fuente de Inter	rio.unap.edu.pe		2%
4	hdl.hand			1 %
5	eet460ra Fuente de Inter	faela.edu.ar		1 %
6	fdocume Fuente de Inter			<1%
7	archive.c			<1%
8	repositor Fuente de Inter	rio.utc.edu.ec		<1%
9	repositor	rio.utn.edu.ec		<1%

vdocumento.com
Fuente de Internet

DEDICATORIA

Dedicada especialmente a mi madre, a mi padre por su apoyo incondicional en todo momento, por su apoyo moral, quienes en todo momento me inspiraron a terminar el informe final de tesis.

También quiero dar una mención especial a mi abuela Irma Rodríguez quien gracias los valores y línea de pensamiento inculcados a mi corta edad, como la perseverancia, ponerse metas muy altas, ser buena persona y muchas cosas más, pero sobre todo el camino de la palabra de Dios. En consideración de su memoria termine la carrera de ingeniería y finalmente obteniendo la titulación.

AGRADECIMIENTO

Infinitamente agradecido con el Ing. Arquímedes Iparraguirre Lozano, quien en todo momento me dio soporte ante cualquier duda o inquietud que se presentó en el periodo de la investigación, así mismo recalcar el apoyo moral brindado por su persona antes las adversidades que se presentaron en el camino; las cuales gracias a su experiencia se pudieron resolver.

Agradecido con mis maestros de la Universidad Nacional del Santa quienes me brindaron educación de calidad y bastante competitiva. Lo cual me ayudo fácilmente a sobresalir en el mundo laboral y así desempeñar mis funciones asignadas como ingeniero de manera correcta y proactiva. Dejando en alto la reputación de nuestra institución EPIM.

Un agradecimiento especial al Ing. Segundo Contreras, quien fue mi guía y maestro en mi vida como Ingeniero Mecánico. Agradecido por la paciencia al momento de enseñarme a detalle de cómo actuar y los criterios a tener en la vida profesional. Su vasta experiencia de cuarenta años en el rubro de la ingeniería ha dejado en mí su legado. Dejando en mí su célebre frase, "siempre comparte todo tu conocimiento es el mejor aporte que le puedes dejar a la sociedad, escribe libros". Por todo eso agradecido infinitamente.

INDICE

DEDIC	CATORIAiv	
AGRA	ADECIMIENTOv	
	MENxi	
ABST	RACxi	V
I. IN	NTRODUCCION	1
1.1	ANTECEDENTES INTERNACIONALES	1
1.2	ANTECEDENTES NACIONALES	2
1.3	FORMULACION DEL PROBLEMA	4
1.4	Objetivos	5
1.	4.1 Objetivo general	5
1.	4.2 Objetivos Específicos	5
1.5	HIPOTESIS	5
1.6	JUSTIFICACIÓN DEL ESTUDIO	5
1.7	LIMITACIONES	5
II. M	IARCO TEÓRICO	7
2.1	Molienda	7
2.	1.1 Tipos de molienda	7
	2.1.1.1 Molienda en seco	7
	2.1.1.2 Molienda húmeda (la más usual)	8
2.2	MOLINO DE BOLAS	8
2	2.1 Características del molino	8
2	2.2 Partes principales del molino	8

2.3	METODOLOGÍA PARA DIMENSIONAMIENTO DE MOLINOS DE BOLAS	9
2.3.1	Cálculo del Índice de trabajo (Wi):	13
2.3.2	Velocidad crítica de molino	14
2.3.3	Cálculo de índice de trabajo corregido	14
2.3.4	Cálculo del consumo de energía especifica:	14
2.4	SISTEMA DE TRANSMISIÓN DE POTENCIA	15
2.4.1	Componentes del sistema de transmisión:	15
2.4.2	Motor eléctrico	15
2.4.3	Reductor de velocidad	16
2.4.4	Tipos de reductores	17
2.4	1.4.1 Procedimiento para selección de reductores	18
2.5	Transmisión por engranajes de dientes rectos	22
2.5.1	Nomenclatura de dientes de engranaje	22
2.5.2	Relación de transmisión de engranajes rectos	24
2.6	TRANSMISIÓN CON CORREAS O FAJAS Y POLEAS:	25
2.6.1	Fajas	25
2.6	5.1.1 Clasificación de las fajas	25
2.6	5.1.2 Clasificación de correas trapezoidales	25
2.6	5.1.3 Características de las correas trapezoidales	26
2.6.2	Poleas	27
2.6.3	Cálculo de Sistema de Transmisión por Fajas	29
2.6	5.3.1 Potencia transmitida	29
2.6	5.3.2 Selección del tipo de correa	31

2.6.3.1	Relación de transmisión de potencia (R)	31
2.6.3.2	Distancia entre ejes (E)	32
2.6.3.3	Longitud de la correa	32
2.6.3.4	Arco de contacto (A)	32
2.6.3.5	Velocidad lineal de la correa	32
2.6.3.6	Prestación base de faja	33
2.6.3.7	Potencia efectiva por correa	33
2.6.3.8	Cálculo del número de correas	33
2.7 Ejes	DE TRANSMISIÓN	33
2.7.1 Fá	órmulas de Diseño	33
2.7.2 Lú	mite de resistencia a la fatiga (S'e)	34
2.7.3 Fa	actores que modifican límite de resistencia a la fatiga	35
2.7.4 Fa	actor de concentración de esfuerzo por fatiga ($m{kf}$)	37
2.7.5 Se	nsibilidad a la muesca (q)	37
2.7.6 Ac	coplamientos	38
2.7.6.1	Carga del Acoplamiento	38
2.7.6.2	Carga de Arranque	39
2.7.6.3	Rango de temperaturas admisibles	39
2.8 Sele	CCIÓN DE RODAMIENTO	42
2.8.1 Ca	argas en Rodamientos	42
2.8.1.1	Carga Equivalente	42
2.8.1.2	Carga Combinada	
2.8.1.3	Capacidad de Carga	43

III.	MAT	ERIALES Y METODOS	45
3.	1 MA	TERIALES	45
3.	2 ME	TODOLOGÍA	45
3.	3 TIPO	O DE INVESTIGACIÓN	45
3.4	4 Des	SARROLLO Y CÁLCULOS	46
	3.4.1	Cálculo de parámetros de operación del sistema de transmisión	46
	3.4.2	Cálculo de potencia del sistema de transmisión del molino de bolas	47
	3.4.3 S	elección de reductor	53
	3.4.4	Cálculo de sistema de transmisión por engranajes rectos	60
	3.4.4.1	Número de dientes del engranaje piñón:	60
	3.4.4.2	2 Número de dientes del engrane:	60
	3.4.5 L	Diámetro de paso del piñón y engranaje:	60
	3.4.6 C	Cálculo del módulo de engrane	61
	3.4.6.1	Comprobando distancia entre centros:	61
	3.4.6.2	Pactor de forma:	61
	3.4.6.3	3 Calculando carga transmitida (ft):	62
	3.4.6.4	4 Carga dinámica para un tallado comercial fs :	62
	3.4.6.5	5 Factor concentración de esfuerzo:	62
	3.4.6.6	6 Cálculo del ancho de cara de diente de engrane (b):	62
	3.4.6.7	7 Cálculo por desgaste (Fd)	62
	3.4.7 L	Diseño de eje de piñón	65
	3.4.7.1	Determinación de Factores:	66
	3.4.7.2	2 Características del molino de holas:	67

	3.4.7.3	Cálculo del torque del engrane piñón	67
	3.4.7.4	Cálculo de momento flector	69
	3.4.7.5	Calculando el diámetro del eje por criterio de ASME	69
	3.4.8 Se	lección de rodamientos para el eje diseñado	70
	3.4.8.1	Vida útil de rodamiento	71
	3.4.8.2	Carga Radial Equivalente P	71
	3.4.8.3	Capacidad carga dinámica "C" de rodamiento	71
	3.4.8.4	Selección de Rodamiento	72
	3.4.8.5	Selección de manguito de fijación	73
	3.4.8.6	Montaje de rodamiento con manguito de fijación	74
	3.4.8.7	Selección de soporte chumacera para rodamiento	75
	3.4.8.8	Resumen de selección de rodamientos	76
3.5	SELE	CCIÓN DE ACOPLAMIENTOS	76
3.6	CÁLO	CULO DE SISTEMA DE TRANSMISIÓN POR FAJAS	79
	3.6.1 Cá	ilculo de potencia transmitida	79
	3.6.1.1	Resumen de Selección de fajas V de transmisión	85
IV.	RESUI	TADOS Y DISCUSIONES	86
V.	CONCLU	USIONES	88
VI.	REFE	RENCIAS	96

INDICE DE FIGURAS

Figura 1 Partes de molino de bola	9
Figura 2 Sistema de transmisión de molino de bolas	. 15
Figura 3 Motor eléctrico trifásico	. 16
Figura 4 Reductores de corona con tornillo sin fin	. 17
Figura 5 Tipos de reductores según montaje	. 22
Figura 6 Nomenclatura de engranaje	. 23
Figura 7 Nomenclatura de engranajes rectas	. 23
Figura 8 Sección de faja en V	. 25
Figura 9 Flexibilidad de correas dentadas	. 27
Figura 10 Montaje de faja en polea	. 27
Figura 11 Ajuste de distancia entre poleas	. 29
Figura 12 Transmisión simple por fajas en V	. 30
Figura 13 Selección de sección tipo de faja	. 31
Figura 14 Distancia entre centros de poleas fajas	. 32
Figura 15 Limite de resistencia a la fatiga vs resistencia a la tensión de ensayos	. 35
Figura 16 Tipos de cargas aplicados en rodamientos	. 43
Figura 17 Sistema de transmisión de molino con fajas	. 46
Figura 18 Reducción de 02 tapas	. 53
Figura 19 Molino de bolas con sistema de reductor y engranaje	. 93
Figura 20 Molino de bolas con sistema de poleas y engranaje	. 94
Figura 21 Modelo de máquina de molino de bolas realizado en SolidWorks	. 95

INDICE DE TABLAS

Tabla 1. Conversión de circuito cerrado a circuito abierto	10
Tabla 2 Valores de constante de proporcionalidad	13
Tabla 3 Índice trabajo de Bond	14
Tabla 4 Velocidad critica según diámetro del molino	14
Tabla 5 Reductores de engranajes	18
Tabla 6 Reductores de ejes paralelos	20
Tabla 7 Secciones de fajas en V estándar	26
Tabla 8 Diámetros de secciones de fajas	26
Tabla 9 Diámetro mínimo de poleas.	28
Tabla 10 Factor de servicio K	30
Tabla 11 Limite de resistencia a la fatiga para aceros	34
Tabla 12 Factores que modifican a límite de resistencia	36
Tabla 13 Valores de confiabilidad	37
Tabla 14 Factor de servicio Sz de arranque	39
Tabla 15 SB Factor de funcionamiento	40
Tabla 16 Torque nominal de acoplamiento TKN	41
Tabla 17 Duración nominal para rodamientos de diferentes clases de maquinas	44
Tabla 18 Calculo de potencia con valor iterativo	50
Tabla 19 Selección de potencia de motor eléctrico de molino	52
Tabla 20 Característica para selección de reductor de sistema transmisión	54
Tabla 21 Resumen de seleccion de reductor	59
Tabla 22 Selección de material de piñón y engranaje	61

Tabla 23 Selección de rodamiento	72
Tabla 24 Selección de manguito de fijación	73
Tabla 25 Montaje de rodamiento con manguito de fijación	74
Tabla 26 Selección de soporte de chumacera	75
Tabla 27 Selección de longitud de faja	81
Tabla 28 Selección de factor de corrección de longitud de faja.	82
Tabla 29 Selección de corrección de arco de contacto	83
Tabla 30 Selección de prestación base de faja	84

RESUMEN

La investigación titulada "Rediseño de Sistema de Transmisión de potencia de molino de bolas de 5 Ton/h para tratamiento de mineral del taller multiservicios Dliñan" tiene como finalidad mejorar el sistema de transmisión durante la producción. El presente informe contiene el procedimiento detallado ambientado para el uso en el sector minero. Se hizo uso de tablas y métodos para el cálculo de los diferentes parámetros que implica el diseño, siendo el más referencial, el método de bond, que lo conforman, para entender cómo funciona, posterior a esto, se procedió a emplear la teoría matemática-física y calcular las dimensiones del molino de Diámetro: 1.61 m y Longitud: 3.22 m, considerando los principios de resistencia de materiales para calcular el contra eje siendo de material: acero VCN - AISI 4340 H, de sistema de transmisión, siendo la velocidad crítica del molino de 25 rpm uno de los parámetros principales a la hora de diseñar. Cabe recalcar que hoy en día el uso de molino de bolas en el sector minero, requiere de mayor precisión y confiablidad en el diseño. Esta investigación permite conocer la potencia de diseño de 125 HP -1780 rpm, y selección de engranajes; Piñón:16 T -2, Engranaje recto (rueda dentada):141T-2 de materiales: Acero ASTM-35 y ASTM-50, haciendo un análisis técnico económico de dos sistemas de transmisión uno con reductor y el otro con sistema de poleas fajas tendrá una capacidad de 5 toneladas por hora a realizar los cálculos para obtener el dimensionamiento geométrico correcto del molino, así como también analizar los materiales a usar los cálculos para todo lo que comprende la transmisión del sistema.

Palabras claves: Molino de bolas, velocidad critica, potencia, sistema de transmisión

ABSTRACT

The research titled "Redesign of the Power Transmission System of a 5 Ton/h ball mill for

mineral treatment at the Dliñan multi-service workshop" aims to improve the transmission system

during production. This report contains the detailed procedure for the design of a ball mill set for

use in the mining sector. Tables and methods were used to calculate the different parameters

involved in the design, the most referential being the bond method. Likewise, the respective

description of the mechanisms and parts that make it up was made, to understand how it works,

After this, the mathematical-physical theory was used and the dimensions of the mill were

calculated: Diameter: 1.61 m and Length: 3.22 m, considering the principles of resistance of

materials to calculate the countershaft being made of material: VCN STEEL (Reduced For high

Torsion) (AISI 4340 H), Yield Limit (Sy): 685 N/mm2 of the transmission system, with the critical

speed of the mill being 25 rpm one of the main parameters when designing. It should be noted that

today the use of ball mills in the mining sector requires greater precision and reliability in the

design. This research allows us to know the design power of 125 HP -1780 rpm, and gear selection;

Pinion: 16 T -2, Spur gear (cogwheel): 141T-2 of materials: Steel ASTM-35 and ASTM-50, doing

an economic technical analysis of two transmission systems, one with a reducer and the other with

a belt pulley system, will have a capacity of 5 tons per hour to perform the calculations to obtain

the correct geometric sizing of the mill, as well as analyze the materials to use the calculations for

everything that comprises its transmission system.

Keywords: Ball mill, critical speed, power, transmision

I. INTRODUCCION

1.1 Antecedentes Internacionales

Arias Garcés & Villacrés Ibarra, (2020) informe trata sobre la Reingeniería en el diseño e implementación de un molino tipo bola para una Industria minera ubicada en Naranjal, donde se modificó algunas partes del molino para mejorar la capacidad de producción en menos horas laborables, diseñando un plan de mantenimiento específico para el molino y realizar el análisis económico del mismo.

Navarro Rivera (2020) en su proyecto segun la primera faena minera que opera tres concentradoras de manera simultánea, logrando procesar más de 400.000 toneladas por día. Uno de los insumos críticos de las concentradoras son las bolas de molienda, las cuales se utilizan en todos los procesos de molienda del mineral. Para el año fiscal 19 se destinó un presupuesto de \$111,5 MUSD en este insumo, pero finalmente se gastó \$93,3 MUSD; lo que representó el 56,1% de la dinámica de gastos en insumos de concentradoras para ese año. El proceso de carguío de bolas de molienda se realiza con una frecuencia diaria y actualmente el área operacional para realizar la reposición de bolas utiliza la tasa de desgaste de bolas; en gramos por toneladas para las bolas de 5,5 en molinos SAG y en kilowatts por toneladas para las bolas 3 en molinos de bolas.

Cajas Pérez (2024) El presente trabajo de integración curricular, titulado "Diseño de un molino de bolas con la finalidad de realizar pruebas de molienda del material mineralizado proveniente de la región sur del Ecuador", se enfoca en el desarrollo de un equipo de laboratorio adecuado para llevar a cabo pruebas de molienda con el material mineralizado de la región. Los objetivos del proyecto comprenden la definición de variables y parámetros pertinentes, la

construcción del molino conforme a estos criterios y la validación de su funcionamiento mediante pruebas con muestras reales. Para la validación del equipo, se llevaron a cabo pruebas en el laboratorio de la universidad UNL, utilizando tres muestras provenientes de distintas localidades (Chinapinza, Torata, Santa Isabel).

Carlos Eduardo (2020) Los objetivos del proyecto comprenden la definición de variables y parámetros pertinentes, la construcción del molino conforme a estos criterios y la validación de su funcionamiento mediante pruebas con muestras reales. Para la validación del equipo, se llevaron a cabo pruebas en el laboratorio de la Universidad Nacional de Loja, utilizando tres muestras provenientes de distintas localidades (Chinapinza, Torata, Santa Isabel), que fueron caracterizadas y se delimitaron sus propiedades índices. Posteriormente, las muestras fueron sometidas a trituración con un tamaño de partícula final (P80) de 3328 micras para realizar pruebas de molienda. En el inicio del proceso de molienda, se pesó el material y se introdujo en el molino de bolas junto con un gradiente determinado y un porcentaje de agua específico.

1.2 Antecedentes nacionales

Inga Chancasanampa, (2021) En su proyecto de investigación del proceso de molienda en una industria minera es importante, forma parte del último proceso de trituración de mineral existiendo diferentes tipos de molino en las industrias como: molino de barras y molino de bolas entre otros. En esta investigación el objetivo es mejorar la baja producción en la unidad minera analizando el molino de bolas del cual depende la cantidad de tonelaje diario por ser un equipo primario, esta área se convirtió en el cuello de botella por la deficiencia de tonelaje por lo cual se realizó un seguimiento eficaz a su disponibilidad. La disponibilidad de un equipo juega un rol

importante en la gestión del mantenimiento, al evaluar sus KPis dimos con el porcentaje de disponibilidad mecánica y mantenibilidad que manejaba la empresa,

Cucho Chambi, (2024). El presente estudio de investigación se enfoca en mejorar el rendimiento y la eficiencia operativa de un molino de bolas horizontal de 5 Ton/Hr en planta concentradora mediante enfoques de manufactura y selección de materiales. Este proyecto implica un proceso integral de diseño y optimización, que fusiona el cálculo dimensional y la simulación en 3D. Una parte fundamental de este proceso es la aplicación del Índice de Trabajo de Bond, una metodología reconocida en la industria para estimar con precisión la energía necesaria para la molienda de partículas de tamaño específico en un molino de bolas. Para llevar a cabo este proyecto, se ha seleccionado SolidWorks como plataforma principal de modelado, debido a su reputación en el ámbito de la ingeniería y su capacidad para realizar simulaciones detalladas en 3D.

Carbajal Veli, (2024) Se planteó evaluar el impacto de las vibraciones en los modos de falla de difícil detección del molino de bolas de la Cía. Minera Nexa Resources Atacocha S.A.A., en el 2023, con el fin de proporcionar recomendaciones y soluciones para mejorar la detección temprana y la gestión de riesgos en el sistema de molienda. En la metodología, el estudio se plasmó desde un plano descriptivo, no experimental y cuantitativo. Asimismo, se consideró como población a seis molinos de bolas de la Cía. Minera Nexa Resources Atacocha S.A.A., 2023 y como muestra al molino de bolas N.º 02. Se concluyó que existe un impacto negativo a partir de vibraciones anormales, que generan distintos modos de falla; ello conlleva a suscitar futuros planes de detección temprana y gestiones de riesgo en el sistema de molienda de la Cía. Minera Nexa Resources Atacocha S.A.A., en el 2023. Por lo que es importante realizar inspecciones constantes para lograr una mejor eficiencia en cuanto al análisis.

Gálvez De La Sota (2022) En su proyecto aplicado a la industria minera se puede encontrar una gran variedad de equipos que sirven para la disminución del tamaño de los minerales que se extraen del subsuelo. Uno de estos equipos es el molino de bolas que consiste en una superficie cilíndrica de acero que gira entre 4 y 20 revoluciones por minuto con mineral y bolas de acero en su interior. Esta acción produce la reducción del tamaño del mineral, pero también provoca el desgaste de su revestimiento interior. Lo que implica que las compañías programen varios paros al año para su inspección y mantenimiento correctivo. Por lo tanto, el presente trabajo de tesis tiene como objetivo final el diseño de un sistema de medición automático que pueda brindar una aproximación del perfil de desgaste que experimenta el revestimiento interior de los molinos mientras esté en funcionamiento. El sistema se diseña para el caso de un molino de bolas al cual ha sido sometido a un estudio de vibraciones de su carga en la zona de alimentación y descarga. Este cuenta con un sensor embebido en una pieza del revestimiento del molino compuesto principalmente de pistas conductoras.

1.3 Formulacion del problema

Los estudios de diseño mecánico que analizan los parámetros operativos de molinos de bolas del nuevo diseño para el sector minero informal tienen limitaciones que plantean las siguientes preguntas:

¿Cómo optimizar el rediseño del sistema de transmisión de potencia en un molino de bolas para procesamiento de minerales de 5 t/h?

1.4 Objetivos

1.4.1 Objetivo general

Rediseñar el sistema de transmisión de potencia de molino de bolas de 5 t/h para tratamiento de mineral del taller multiservicios Dliñan

1.4.2 Objetivos Específicos

- a. Determinar los parámetros de operación más importantes para determinar la capacidad efectiva de un molino de bolas de 5 t/h.
- Calcular y diseñar los componentes principales de accionamiento del molino de bolas
- c. Análisis técnico económico del rediseño del sistema de transmisión del molino de bolas.

1.5 Hipotesis

El sistema de transmisión de potencia se optimizará mediante un rediseño de sus componentes del molino de bolas de 5 t/h para tratamiento de minerales del taller multiservicios Dliñan

1.6 Justificación del Estudio

Se realizaron análisis teóricos de tensiones de los componentes del sistema, análisis tecno económico y diseño de componentes primarios y auxiliares, los cuales luego serán evaluados mediante análisis de elementos finitos.

La importancia de esta investigación es que cada vez hay más herramientas de diseño que facilitan el aprendizaje práctico. Es por ello que se ofrece el desarrollo de la construcción modular de sistemas de transmisión, donde se realiza la selección de materiales, el diseño de componentes primarios y auxiliares, para luego evaluar la correcta selección y dimensiones con el apoyo de software de diseño.

1.7 Limitaciones

- Se limita el diseño de sistema transmisión del molino, según la norma ASME-B29.1M-1993.
- La investigación no cuestionará la información proporcionada por el fabricante sobre la funcionalidad del dispositivo.

II. MARCO TEÓRICO

2.1 Molienda

El proceso de reducir el tamaño de un material utilizando una variedad de herramientas que se controlan mediante dispositivos que funcionan por impacto, compresión o abrasión hasta el tamaño de partícula final deseado

Durante este proceso de molienda se liberan minerales valiosos que pueden separarse de sus compañeros. Los tamaños pueden variar desde 20 mm F80 (20.000 micras) hasta aprox. Productos de 5 mm (5000 micras) a P80.

La extracción de minerales comienza con la trituración y finaliza con la trituración; Esto es muy importante porque de ello depende la cantidad de minerales valiosos a concentrar y la liberación. En esta etapa, las partes valiosas del corredor deben estar completamente despejadas antes de poder concentrarlas. Las operaciones de molienda generalmente se realizan en las etapas primarias de los molinos de barras y en las etapas secundarias de los molinos de bolas, cuanto más fina sea la molienda, mayor será la tasa de recuperación de valor. Por lo tanto, considerando el costo de la energía, así como el retorno neto en dólares del producto, la molienda óptima es la que proporciona el mayor beneficio.

2.1.1 Tipos de molienda

Se tiene de 2 tipos:

2.1.1.1 Molienda en seco

- Genera más finos.
- El desgaste es menor de los revestimientos; forros y bolas

2.1.1.2 Molienda húmeda (la más usual)

2.2 Molino de bolas

Trabaja por fricción e impacto para reducir de tamaño la materia prima en función de los medios de molienda característico del equipo.

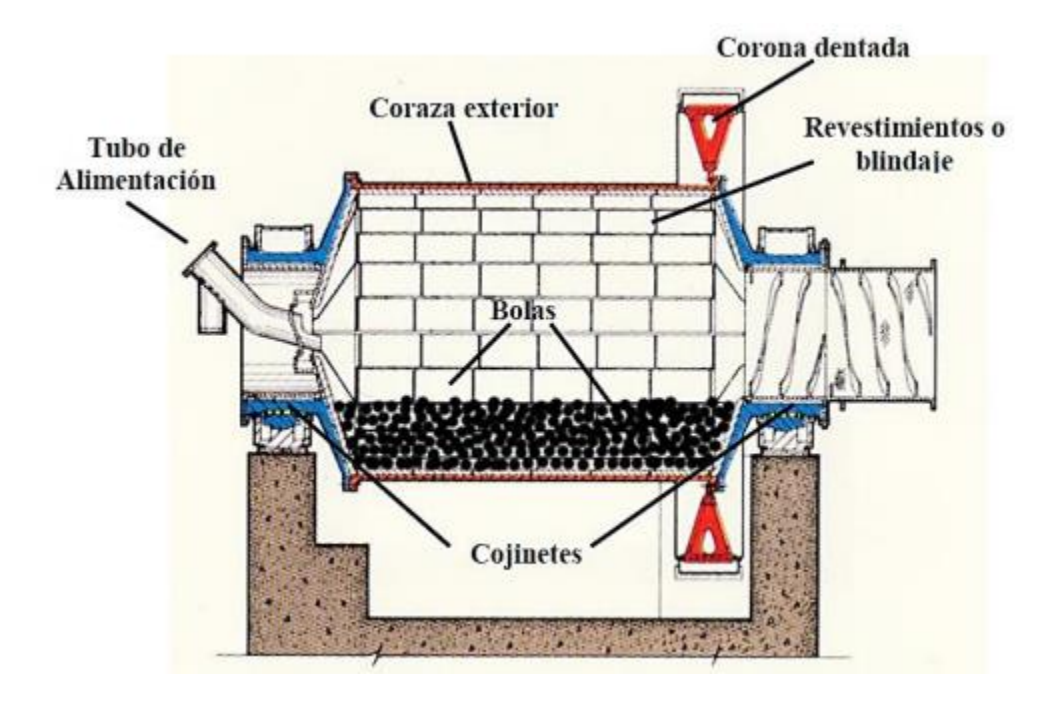
2.2.1 Características del molino

- Son utilizados ampliamente en la industria minera.
- Pueden ser usadas para pulverizar material seco y húmedo.
- Gira a una velocidad originando el choque del material

2.2.2 Partes principales del molino

- Chute de alimentación
- Cojinetes
- Cabezal
- Corona
- Cuerpo de molino
- Transmisión del equipo

Figura 1Partes de molino de bola



Nota. Dueñas Reyes & Vladimir Elias (2018)

2.3 Metodología para dimensionamiento de molinos de bolas.

Se tiene las siguientes etapas:

- 1) Calcular W_I del material a través de un test.
- 2) W_I calculado es para molino de bolas tipo descarga por rebalse húmedo y en circuito cerrado.
- 3) Para condiciones de operación estándar establecidas por bond no cumplan, se tendrá en cuenta los factores:
 - f_1 , trabajo en seco
 - f_2 , trabajo en circuito abierto
 - f_3 , Eficiencia según diámetro
 - f_4 , Alimentación gruesa

- f_5 , Molienda de finos, $P_{80} \le 75 \ \mu m$
- f_6 , Baja razón de reducción en molino
- a) f_1 : F. Bond estima que la misma área de lijado en húmedo requiere 1,3 veces más potencia que el lijado en húmedo. Por lo tanto, en esquemas industriales, si es molienda en seco se debe multiplicar WI por 1,3, mientras que si es molienda en húmedo simplemente se debe multiplicar WI por 1, es decir no habrá cambios.
- b) f_2 : Cuando se realiza un rectificado húmedo en un circuito abierto, la cantidad de energía adicional requerida dependerá del grado de control.

Tabla 1.Conversión de circuito cerrado a circuito abierto

Medida de Control de Producto	Facto f ₂
50	1.035
60	1.050
70	1.1
80	1.2
90	1.4
92	1.460
95	1.570
98	1.7

Nota: Austin G., L. & Concha A., F. (1994). "Diseño y Simulación de Circuitos de Molienda y Clasificación"

c) f_3 : diámetro interno de molino afecta la eficiencia.

Para D \leq 8 pies, el factor f_3 = 1, en condiciones no estándar, D \neq 8 pies.

Se tiene:

$$f_3 = \left(\frac{8}{D}\right)^{0.2} \tag{2.1}$$

D: diámetro interno de molino (pies)

Si D \geq 12,5 pies, la eficiencia, $f_3 = 0.914$.

Multiplicar el W_I (base) x f_3 , para D \neq 8 pies.

d) f_4 : para material que alimenta el molino es grueso.

$$f_4 = \frac{R_r + (W_I - 7) \frac{F_{80} - F_0}{F_0}}{R_r} \tag{2.2}$$

Donde:

 R_r : reducción del 80 % = F_{80}/P_{80}

*F*₈₀: tamaño 80 % de alimentación (μm)

P₈₀: tamaño 80 % del producto (μm)

 W_I : Work Index del material (KWh/ton. corta)

F₀: tamaño óptimo de alimentación (μm)

$$f_0 = 4000 * \sqrt{\frac{13}{W_I}} \tag{2.3}$$

e) f_5 : Cuando hay una sobre molienda de finos, es decir, el tamaño 80% se aplica f_5 de acuerdo a la siguiente ecuación:

$$f_5 = \frac{P_{80} + 10.3}{1.145 * P_{80}} \tag{2.4}$$

f) f_6 : la reducción de molino es baja < 6, se aplica el factor f_6 :,

$$f_6 = \frac{20(R_r - 1.35) + 2.60}{20(R_r - 1.35)} \tag{2.5}$$

4) El valor W_I (corregido) dado por la siguiente expresión:

$$W_I(corr) = W_I(base) * f_1 * f_2 * f_3 * f_4 * f_5 * f_6$$
 (2.6)

Donde: $W_I(corr)$: corregido de W_I (kwh/ton. corta)

5) La energía especifica consumida en la molienda, desde un tamaño 80%, F_{80} hasta tamaño de 80%:

$$W = W_I(corr) * \left(\frac{10}{\sqrt{P_{80}}} - \frac{10}{\sqrt{F_{80}}}\right)$$
 (2.7)

$$W_I(corr) = valor\ corregido\ de\ W_I(kwh/ton.corta)$$
 (2.8)

6) Cálculo de la potencia mecánica requerida

$$P_{M} = W(kwh/ton.corta) * C(ton.cortas/h)$$
 (2.9)

O bien:

$$P_M(HP) = 1.341 * P_M(kw) (2.10)$$

7) Cálculo la potencia eléctrica requerida

Si normalmente η=95%

$$P_E(KW) = \frac{P_M(KW)}{0.95} \tag{2.11}$$

$$P_E(HP) = \frac{P_M(HP)}{0.95} \tag{2.12}$$

8) Si $P_E(HP)$, para calcular las medidas del molino de bolas.

$$D = \left[\frac{P_E(HP)}{K_B * (\%V_P)^{0.461} * (\%C_S)^{1.505} * \frac{L}{D}} \right]^{\frac{1}{3.5}}$$
(2.13)

Si D > 20 pies, utilizar más de un molino, y recalcular el diámetro D

Tabla 2

Valores de constante de proporcionalidad

Tipo de molino de bolas	K_{B}
Rebalse, material húmedo	4,365.10 ⁻⁵
Material húmedo	4,912 .10 ⁻⁵
Material seco	5,456 .10 ⁻⁵

Nota: Austin G., L. & Concha A., F. (1994). "Diseño y Simulación de Circuitos de Molienda y Clasificación

9) Obtenido el valor D, la relación de largo interno (L/D), cuando D \neq 8 pies, recalcular.

$$f_3 = \left(\frac{8}{D}\right)^{0.2},$$

Mediante un proceso de cálculo iterativo, repetir las veces necesarias.

10) Con los valores obtenidos de L y D, se tomará de catálogo L y D recomendados de fabricante.

2.3.1 Cálculo del Índice de trabajo (W_i) :

Se elige según tabla presentada el índice, donde se selecciona el índice referente a mineral de oro, cuyo valor es:

$$W_i = 16.31 \, \frac{KW.h}{ton.c} \tag{2.14}$$

Tabla 3Índice trabajo de Bond

Material	Kwh/ton.c	Material	$W_i(KWh/ton.c)$
Todos materiales	15.19	Vidrio	3.3
Barita	6.86	Mineral oro	16.31
Basalto	22.45	Granito	15.8
Arcilla	7.81	Caliza	12.7
Carbón mineral	12.51		

Fuente: Prat (2010)

2.3.2 Velocidad crítica de molino

Tabla 4

Velocidad critica según diámetro del molino

Sistema Métrico	Sistema Ingles
$N_C = \frac{42.2}{\sqrt{D}}$	$N_C = \frac{76.6}{\sqrt{D}}$

Nota. Alcantara Valladares (2008)

2.3.3 Cálculo de índice de trabajo corregido.

Simplemente se debe multiplicar el índice de trabajo base por los factores de corrección:

$$W_{i_corr} = f_1. f_2. f_3. f_4. f_5. f_6. W_i$$
 (2.15)

2.3.4 Cálculo del consumo de energía especifica:

$$W = W_{i_corr} \left(\frac{10}{\sqrt{P_{80}}} - \frac{10}{\sqrt{F_{80}}} \right)$$
 (2.16)

2.4 Sistema de Transmisión de Potencia

Para transferir potencia de una fuente de energía a otro dispositivo o máquina, se requiere un mecanismo que consta de varios componentes llamado sistema de transmisión de energía.

Figura 2
Sistema de transmisión de molino de bolas



Nota. https://www.911metallurgist.com/metalurgia/molino-de-bolas/de (911Metallurgist, s.f.)

2.4.1 Componentes del sistema de transmisión:

- a) Motor eléctrico
- b) Reductor de velocidad
- c) Engranaje motriz
- d) Cremallera

2.4.2 Motor eléctrico

Siguiendo la norma europea UNE-EN 60529 sobre grados de protección, que equivale a la norma internacional de la International Electrotécnica Comisión (IEC) 60529, los motores eléctricos están catalogados según distintos grados de protección IP.

Los motores eléctricos con grado de protección IP 55 son motores cerrados y son los más recomendados para la industria minera.

Figura 3

Motor eléctrico trifásico



Nota. Catalogo de motores trifasicos WEG (2014)

2.4.3 Reductor de velocidad

Los reductores de velocidad están presentes prácticamente en cualquier máquina, estos dispositivos mecánicos se utilizan principalmente para multiplicar el par de torsión de una fuente de alimentación y así incrementar su capacidad de trabajo.

a) Características para uso industrial

- Potencia, velocidad, frecuencia y tensión.
- Ambiente de trabajo, grado de protección, corrosión y temperatura,
- Velocidad de entrada y salida de reductor.

b) Características de operación

• Trabajo horas/día.

- Carga aplicada: uniforme, con choque, continua, discontinua.
- Acople del motor reductor: directa, acoplamiento, correa.

c) Factor de potencia

La energía requerida de equipo accionada, multiplicarse por factor de servicio.

2.4.4 Tipos de reductores

a) Corona tornillo sin fin

Figura 4

Reductores de corona con tornillo sin fin



Nota: https://www.roydisa.es/archivos/3356

b) De engranajes

Según la posición de los engranajes de entrada y de salida.

Tabla 5Reductores de engranajes

Posicion de Eje	Descripcion	lmagen
Reductor coaxial	Donde la posición los engranajes de entrada de salida están alineados, se utilizan cuando se requiere transmitir el movimiento de un eje a otro paralelo ycercano. Son utilizados con éxito en numerosos sectores, desde el sector alimentario, industria fotovoltaica ysistemas de compuertas, a todas las aplicaciones de potencia fraccionada o mediana.	
Reductor ortogonales	Con engranajes ortogonales, los ejes están posicionados formando un ángulo de 90º. Los podemos encontrar en aquellas aplicaciones donde el reductor sinfín corona no puede dar el factor de servicio deseado, como por ejemplo ciertas cintas transportadoras donde la carga a transportar requieren un mayor esfuerzo, industria eléctrica, construcción, etc.	
Reductor de ejes paralelos	Reductor ortogonal con entrada y salida paralelas. Son reductores que se sirven de los motores para realizar la reducción de velocida d óptima, el eje del motor y del reductor están en planos paralelos.	
Reductores pendulares	El eje de salida va en trayectoria pendular a la entrada. Motorización de cintas transportadoras, así como para sistemas rotativos tipo elevadores de husillo, mezdadores, trituradores y todas aquellas maquinas donde sea posible un montaje pendular y donde sea necesaria la transmisión por correa entre motor y reductor.	
Reductores de velocidad planetarios	El reductor planetario está compuesto por tres elementos: un engranaje central y múltiples engranajes denominados satélites o planetas situados alrededor del eje central (de a quí le denominación de reductor planetario) y una corona interna. El eje de entrada se encuentra conectado con el engranaje central, el cual trasmite movimiento rotacional a los engranajes planetarios, estos a la vezrotan sobre la corona interna del reductor, transmitiendo movimiento al eje de salida del reductor.	

Nota:https://www.roydisa.es/archivos/3356

2.4.4.1 Procedimiento para selección de reductores

Paso 01: parámetros de ingreso

- Potencia (Pm).
- Rpm (N).

- Relación de transmisión (n).
- Aplicación (Molino, Agitador, etc.)
- Horas de operación por día
- Temperatura Ambiente.
- Posición de montaje
- Condiciones ambientales de trabajo (polvo, humedad, acido, etc.)
- Tipos de conexión en alta y baja velocidad (acople elastómero, hidráulico sprocket, engrane)
- OHL (carga en voladizo)

Paso 02: Selección de reductor

Seleccionar el más adecuado según la necesidad usando tabla 6.

Tabla 6Reductores de ejes paralelos

Mounting for Upright	Shaft Arrangement	Slow Speed Shaft	Option	Nominal Ratio
(Blank)		(Blank)	(Blank)	Right Angle Shaft
7	$\begin{array}{c} RL \rightarrow \\ \leftarrow RR \\ RB \rightarrow \\ \downarrow LL \rightarrow \\ \downarrow $	Solid Shaft	Without option	6.3 56 7.1 63 8 71 9 80 10 90 11.2 100 12.5 112 14 125 16 140 18 160 20 180 22.4 200
	← LB	T	With fan	25 224 28 250 31.5 280 35.5 315 40 355 45 400 50 450
W	RL→	700	В	Parallel Shaft
	⇒ ← RR	Hollow Shaft (Shrink Disk Type)		6.3 56 7.1 63 8 71 9 80
	RB→ ← LR	K	With backstop	10 90 11.2 100 12.5 112 14 125
	LI → LB	6	FB	16 140 18 160 20 180 22.4 200
Wall Mount (Upright Mounting)	BL→ W	Hollow Shaft (Key Type)		25 224 28 250 31.5 280 35.5 315
	→ BR BB→		1	40 355 45 400 50 450
			With fan & backstop	500

Nota: Tomado de Sumitomo Drive Tecnologies, Paramax 9000. (2020).

Paso 03: Factor servicio (FS)

- a) horas de trabajo de motor y tipo de Carga (Anexo A.2).
- b) Según horas de trabajo del equipo, para ello aplica, factor de servicio.

Paso 04: Potencia Equivalente (PE)

$$PE = Pm * FS \tag{2.17}$$

PE: Potencia equivalente.

Pm: Potencia de motor.

FS: Factor de seguridad.

Paso 05: Tamaño del Reductor

Ratio de reducción y potencia equivalente, (Anexo A.5) seleccionamos el tamaño del reductor, la potencia seleccionada ≥ potencia equivalente.

Paso 06: Capacidad térmica equivalente

Se considera si el Reductor debe tener ventilación forzada.

$$PT = Pt * Ta (2.18)$$

PT: Capacidad térmica equivalente.

Pt: Capacidad térmica de reductor

Ta: Corrección de temperatura.

Paso 07: Carga en Voladizo (OHL)

Es importante cuando están montados piñón, polea, engranaje, ejercen cargas radiales y axiales sobre el eje del reductor.

- Cf, Conexión de carga
- Fr, carga radial
- Fx, carga axial

$$Fre = Fr * FS * Cf \tag{2.19}$$

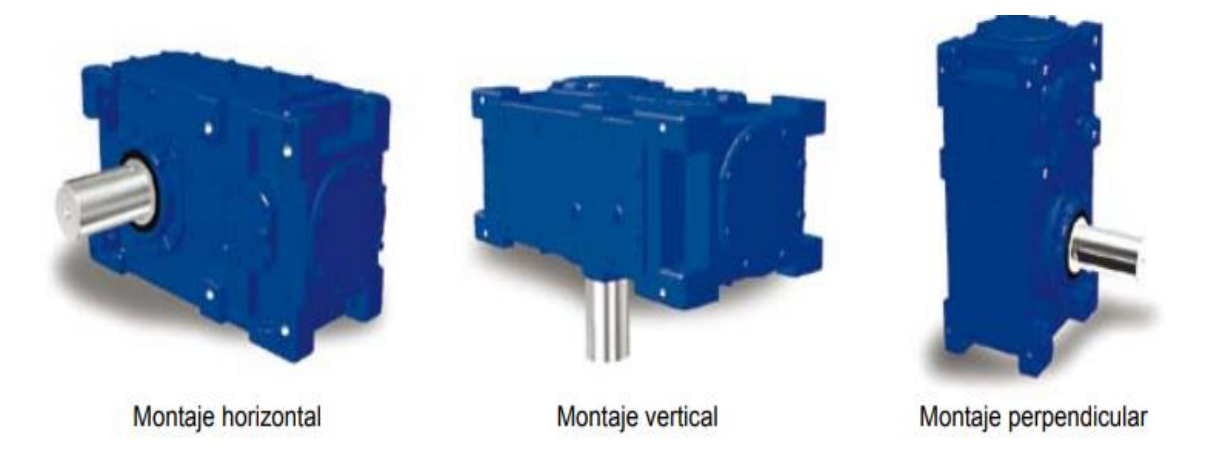
Carga Axial Equivalente (Fxe)

$$Fxe = Fx * FS * Cf \tag{2.20}$$

Verificar si

$$\frac{Fre}{Fra} + \frac{Fxe}{Fxa} \le 1 \tag{2.21}$$

Figura 5Tipos de reductores según montaje

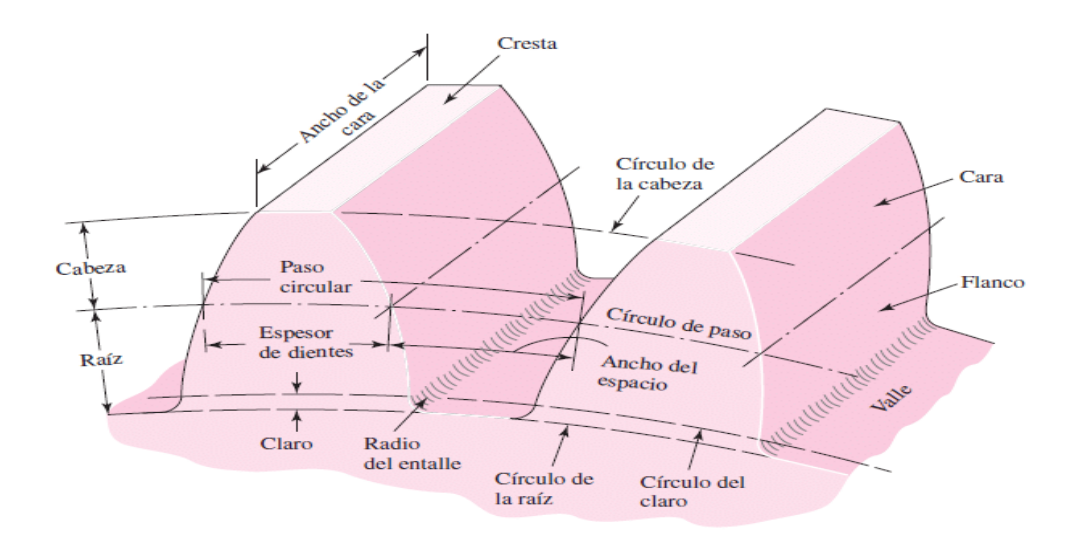


Nota. Reductor Paramax (2019),https://latam.sumitomodrive.com/es-419/product/paramax

2.5 Transmisión por engranajes de dientes rectos

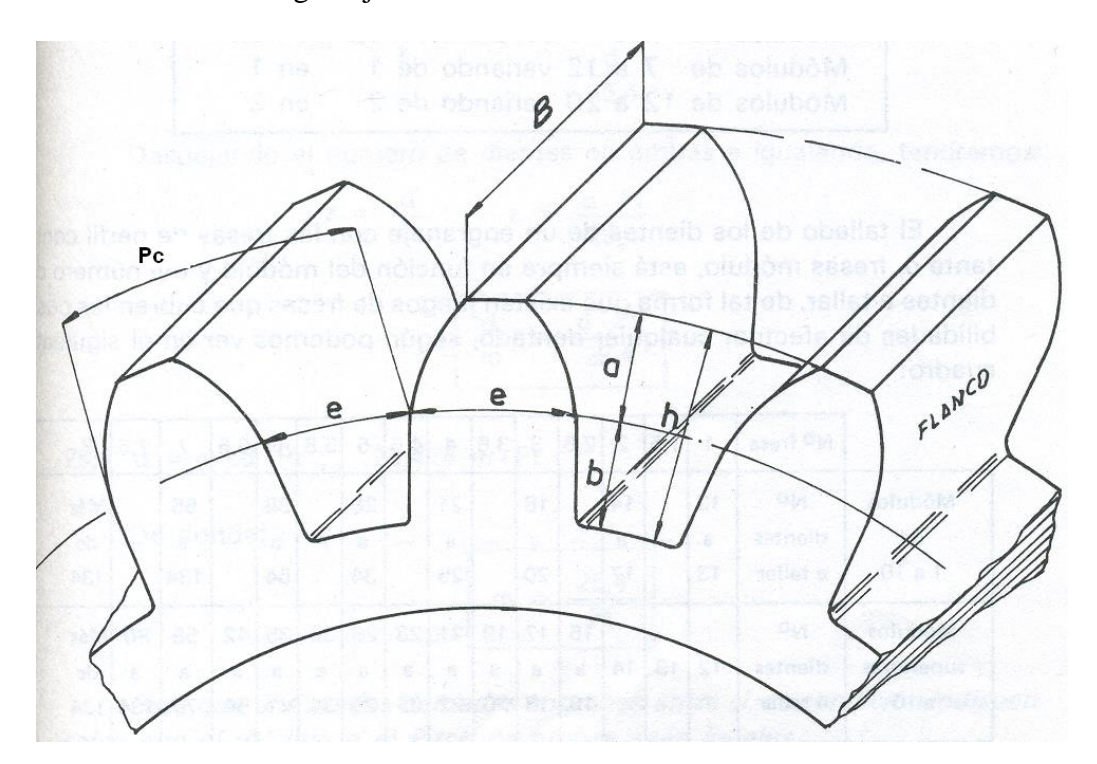
2.5.1 Nomenclatura de dientes de engranaje

Figura 6Nomenclatura de engranaje



Nota. Diseño en ingeniería mecánica de Shigley, por Budynas & Nisbett (2008)

Figura 7Nomenclatura de engranajes rectas



Nota. Diseño en ingeniería mecánica de Shigley, por Budynas & Nisbett (2008)

2.5.2 Relación de transmisión de engranajes rectos

$$P = \frac{Z}{d}$$
 Do = z. m (2.22)

$$m = \frac{d}{z}$$
 De = Do + 2m

$$p = \frac{\pi d}{N} = \pi m$$
 Di = De - 2.h

$$pxP = \pi$$
 h = 2, 1677.m

$$h_f = 1,167.$$
m $h_k =$ m

$$s = e = \frac{P}{2} = \frac{\pi}{2}$$
.m $B = (10 \text{ a } 15)$. m

P: Paso diametral

Z : Número de dientes

D: Diámetro paso (plg)

m: Módulo, (mm)

p: Paso circular

 D_o : Diámetro primitivo

 D_o : Diámetro exterior

 D_i : Diámetro interior

h: Altura del diente

 h_k = Altura de cabeza de diente

 h_f = Altura de pié de diente

e = espesor del diente

B = ancho del diente

2.6 Transmisión con correas o fajas y poleas:

2.6.1 Fajas

Elementos de transmisión flexible, que se adaptan a las poleas con ejes.

2.6.1.1 Clasificación de las fajas

a) Correas planas.

En desuso y sustituidas por las trapezoidales, alcanza < 5 m/s.

b) Correas trapezoidales

Tienen amplia aplicación en la industria.

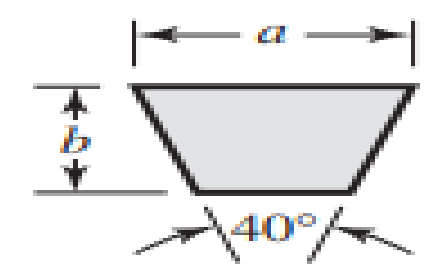
2.6.1.2 Clasificación de correas trapezoidales

Según norma ISO:

- a) Secciones Z, A, B, C, D y E.
- b) Secciones SPZ, SPA, SPB Y SPC.

Figura 8

Sección de faja en V



Nota. Shigley (2008)

donde,

- a: Ancho de cara superior
- b: Altura o espesor

Tabla 7Secciones de fajas en V estándar

Sección de la banda	Ancho <i>a,</i> pulg	Espesor b, pulg	Diámetro mínimo de polea, pulg	Intervalo de potencias (hp), una o más bandas
A	$\frac{1}{2}$	11 32	3.0	$\frac{1}{4}$ -10
В	$\frac{21}{32}$	$\frac{7}{16}$	5.4	1-25
C	$\frac{7}{8}$	$\frac{17}{32}$	9.0	15-100
D	$1\frac{1}{4}$	$\frac{3}{4}$	13.0	50-250
Е	$1\frac{1}{2}$	1	21.6	100 y mayores

Nota. Budynas & Nisbett (2008)

Tabla 8

Diámetros de secciones de fajas

Sección	Circunferencia, pulg
A	26, 31, 33, 35, 38, 42, 46, 48, 51, 53, 55, 57, 60, 62, 64, 66, 68, 71, 75, 78, 80, 85, 90, 96, 105, 112, 120, 128
В	35, 38, 42, 46, 48, 51, 53, 55, 57, 60, 62, 64, 65, 66, 68, 71, 75, 78, 79, 81, 83, 85, 90, 93, 97, 100, 103, 105, 112, 120, 128, 131, 136, 144, 158, 173, 180, 195, 210, 240, 270, 300
С	51, 60, 68, 75, 81, 85, 90, 96, 105, 112, 120, 128, 136, 144, 158, 162,173, 180, 195, 210, 240, 270, 300, 330, 360, 390, 420
D	120, 128, 144, 158, 162, 173, 180, 195, 210, 240, 270, 300, 330, 360,390, 420, 480, 540, 600, 660
Е	180, 195, 210, 240, 270, 300, 330, 360, 390, 420, 480, 540, 600, 660

Nota. Budynas & Nisbett (2012), Diseño de ingenieria mecanica de Shigley

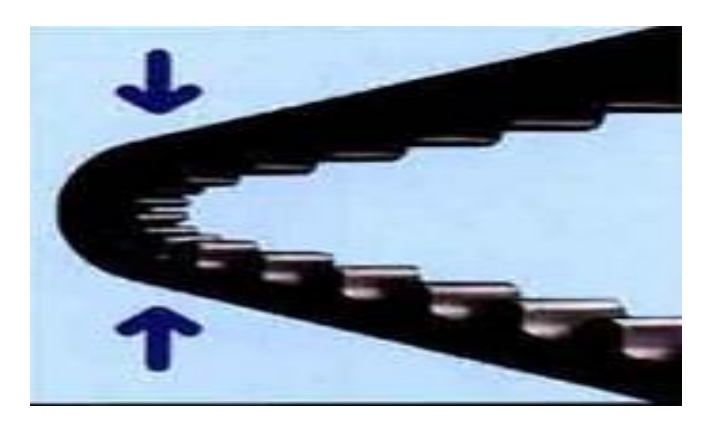
2.6.1.3 Características de las correas trapezoidales

- Grandes relaciones de velocidad hasta 1:20, lo que permite utilizar motores eléctricos
- Silencioso, ventaja bien apreciable en muchos casos.
- Resistencia a la humedad, al polvo, y acidas.
- Rendimiento máximo de 98 99%
- Las fajas en "V" no deben trabajar a velocidades superiores de 30 m/s.

c) Fajas dentadas o síncronas

Para elevados regímenes de potencia, transmisiones compactas

Figura 9Flexibilidad de correas dentadas

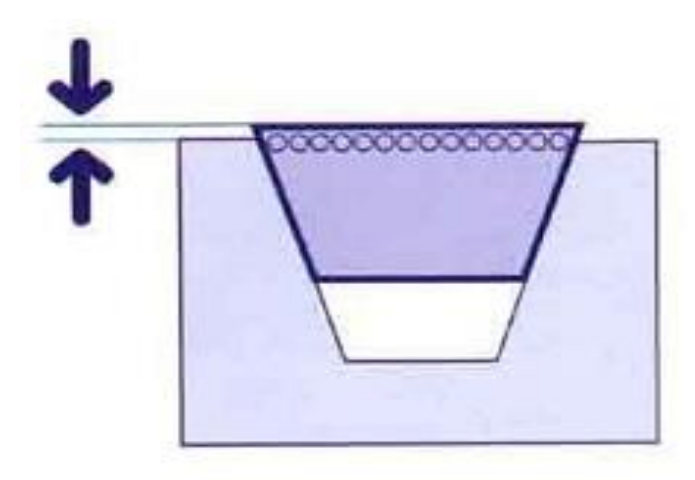


Nota. https://ingemecanica.com/tutorialsemanal/tutorialn206.html

2.6.2 Poleas

Influyen considerablemente en la eficiencia de transmisión y la vida útil de la faja.

Figura 10Montaje de faja en polea



Fuente: https://ingemecanica.com/tutorialsemanal/tutorialn206.html

❖ Diámetro mínimo de poleas

Tabla 9Diámetro mínimo de poleas.

Diámetro polea (mm)	z	А	В	С	D	E
60	٧					
63	R					
67	٧					
71	R	٧				È
75	٧	V				
80	R	٧				
90	٧	R				
95		V				
100	R	R			1	
106		٧				
112	٧	R	٧			
118		V	٧			
125	R	R	٧			
132		V	V			
140	٧	R	R			
150	٧	V	V			
160	R	R	R			
170			V			
180	٧	R	R	V		
200	R	R	R	R		
212				V		
224	٧	٧	٧	R		
236				V		
250	٧	R	R	R		
265				V		
280		٧	٧	R		
300		٧	٧	V		
315		R	R	R		
355		٧	٧	V	R	
375			٧	V	V	

 ${\it Nota.}\ https://ingemecanica.com/tutorialsemanal/tutorialn206.html$

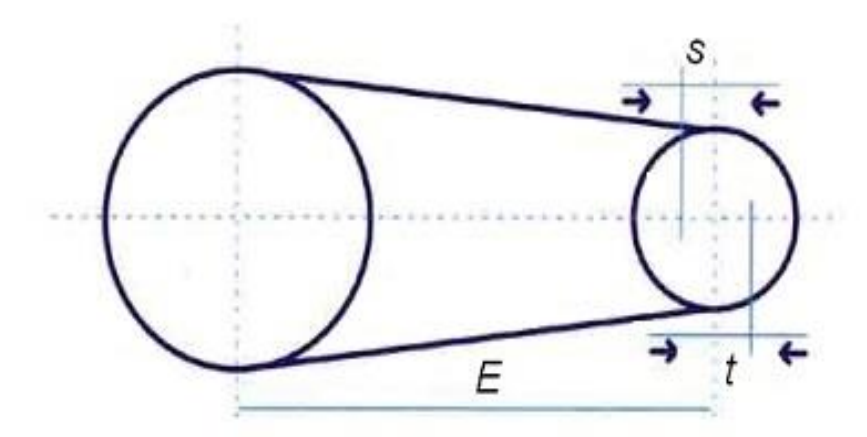
siendo,

V: válido de polea;

R: recomendado diámetro de polea

Figura 11

Ajuste de distancia entre poleas



Nota. https://ingemecanica.com/tutorialsemanal/tutorialn206.html

2.6.3 Cálculo de Sistema de Transmisión por Fajas.

2.6.3.1 Potencia transmitida

La potencia (P) que transmite el motor, este valor se afecta por un coeficiente corrección, como:

- Tipo motor motriz
- Máquina conducida
- Trabajo por día (h)

La potencia corregida (Pc)

$$Pc = P \times K \tag{2.23}$$

Pc: Potencia corregida

P: Potencia transmitida

K: Factor de corrección de potencia

Figura 12Transmisión simple por fajas en V



Nota. Catalogo de fajas, Optibelt (2017)

Factor de servicio K

Tabla 10

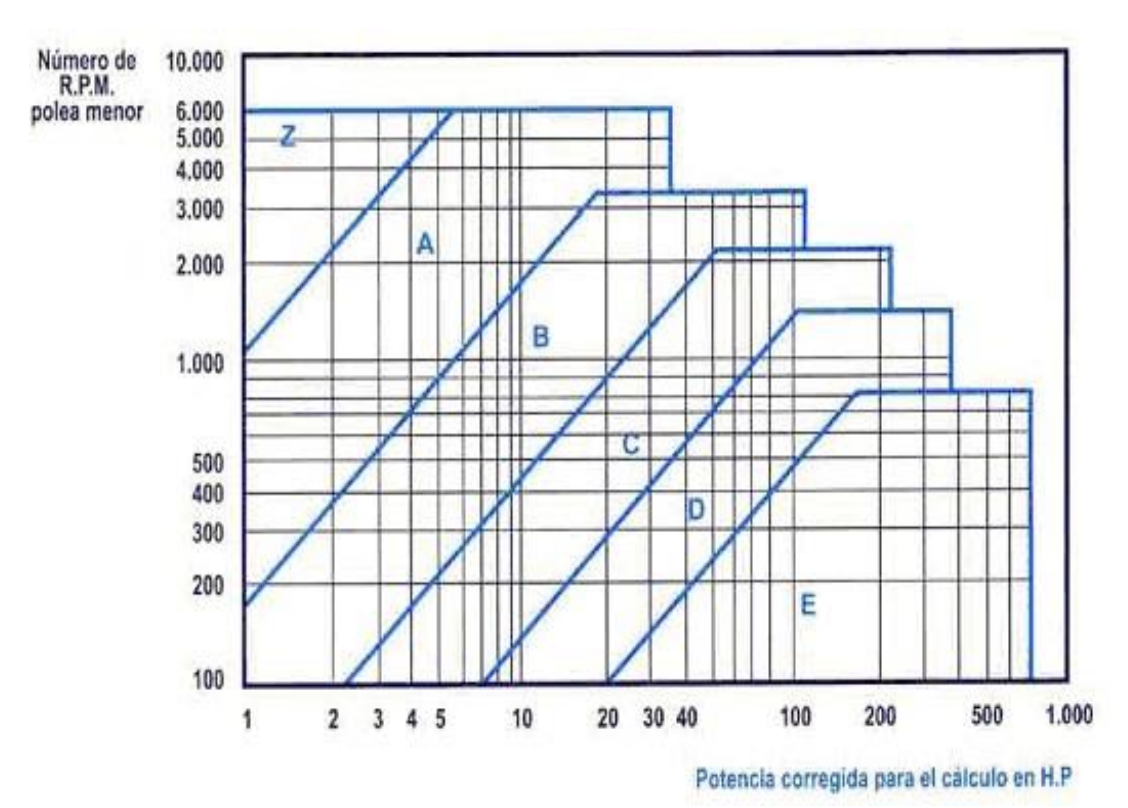
	cos con par 1,8 veces el síncronos y n de arranque que directo, o con anillo te continua	de corriente alt de arranque n par nominal), p nonofásicos con , motores trifásic arranque en estr colector; motore en derivación, y turbinas de n	ormal (hasta b. ej. motores fase auxiliar os con arran- ella-triángulo es de corrien- motores de	Los motores de corriente alterna y trifás cos con par de arranque elevado (superia a 1,8 veces el par nominal), p. ej. motore monofásicos con par de arranque elevado; motores de corriente continua en seri y combinación; motores de combustión turbinas de n < = 600 min ⁻¹ .				
Ejemplos de máquinas de trabajo		ctor de cargo ionamiento dia más de 10 hasta 16		Factor de carga c ₂ para funcionamiento diario (horas) hasta 10 más de 10 más de hasta 16 más de				
Transmisiones ligeras Bombas centrifugas y compresores, cintas transportadoras (para material ligero), ventiladores y bombas hasta 7,5 kW	1,1	1,1	1,2	1,1	1,2	1,3		
Transmisiones medias Cizallas, prensas, transportadoras de cadenas y de cinta (para material pesado), tamices vibratorios, generadores y dinamos, amasadoras, máquinas herramienta (tornos y esmeriladoras), lavadoras, impresoras, ventiladores y bombas de más de 7,5 kW.	1,1	1,2	1,3	1,2	1,3	1,4		
Transmisiones pesadas Molinos, compresores de pistón, transportadoras de carga pesada, expulsores (transportadoras helicoidales, de placas, de cangilones, de palas), ascensores, prensas de ladrillos, maquinaria textil, maquinaria de elaboración de papel, bombas de pistones, bombas draga, sierras alternativas, molinos de martillos.	1,2	1,3	1,4	1,4	1,5	1,6		
Transmisiones muy pesadas Molinos de carga pesada, trituradoras de piedra, calandrias, mezcladoras, tor- nos, grúas, dragas, maquinaria pesada para la madera.	1,3	1,4	1,5	1,5	1,6	1,8		

Nota. Catalogo de fajas, Optibelt (2017)

2.6.3.2 Selección del tipo de correa

Se selecciona de acuerdo a potencia a transmitir y rpm de polea menor.

Figura 13
Selección de sección tipo de faja



Nota. https://ingemecanica.com/tutorialsemanal/tutorialn206.html

2.6.3.1 Relación de transmisión de potencia (R)

$$R = \frac{N}{n} = \frac{D}{d} \tag{2.24}$$

R Relación de transmisión;

N rpm entrada;

n rpm salida;

D diámetro, polea mayor;

d diámetro, polea menor.

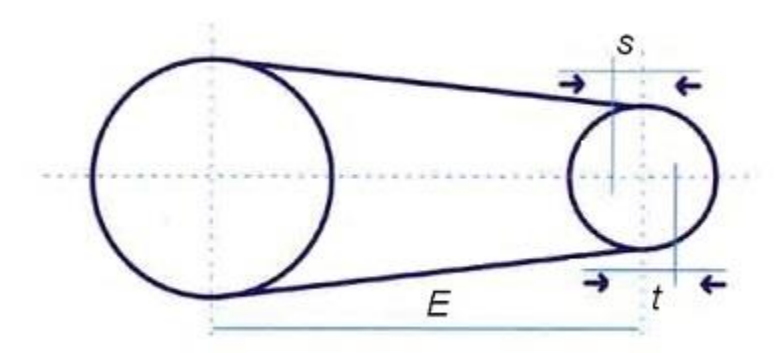
$$D = R \cdot d$$

Se comprueba y se elige el mayor mínimo requerido

2.6.3.2 Distancia entre ejes (E)

Figura 14

Distancia entre centros de poleas fajas



Nota. Correas de transmisión diseño y cálculo, Ingemecanica (2019)

❖ Si relación R está entre 1 y 3:

$$E \ge \frac{(R+1)*d}{2} + d \tag{2.25}$$

Si $R \ge 3$:

Para este caso $E \ge D$

2.6.3.3 Longitud de la correa

$$L_P = 2E + \frac{\pi}{2}(D+d) + \frac{(D-d)^2}{4E}$$
 (2.26)

2.6.3.4 Arco de contacto (A)

$$A = 180 - 57 \, \frac{(D-d)}{E} \tag{2.27}$$

2.6.3.5 Velocidad lineal de la correa

$$V_t = \frac{\pi * d * N}{60 * 1000} \tag{2.28}$$

donde,

 V_t velocidad lineal (m/s)

2.6.3.6 Prestación base de faja

La prestación base (Pb) que transmite una correa, están en tablas según fabricante

2.6.3.7 Potencia efectiva por correa

La potencia efectiva por correa (Pe) se calcula a partir de la potencia base (Pb) afectada de los coeficientes correctores por longitud de correa (Fcl) y por arco de contacto (FcA)

$$Pe = Pb \times F_{Cl} \times Fca$$

2.6.3.8 Cálculo del número de correas

$$N^O de correas = \frac{P_C}{P_e}$$
 (2.29)

2.7 Ejes de Transmisión

Para diseño de ejes de transmisión se aplica Norma ANSI/ASME B106.1M-1985.

Los factores de modificación de la fatiga para corregir pulido y muescas según de factores de servicio: Estado de la superficie, el tamaño, la confiabilidad, la temperatura, el ciclo de trabajo, el estrés por fatiga, la concentración y efectos diversos.

2.7.1 Fórmulas de Diseño

Para el análisis de árboles de sección circular sólida y esté sometida sólo a un par de torsión y a un momento flector constantes, se puede utilizar la norma ANSI/ASME B106.1M

Para ejes solidos;

$$d = \sqrt[3]{(32FS/\pi) \sqrt{\left(\frac{K_f M}{S_e}\right)^2 + \frac{3}{4}\left(\frac{T}{S_y}\right)^2}}$$
(2.30)

Donde el límite de resistencia corregido del eje es:

$$S_e = k_{a*}k_{b*}k_{c*}k_{d*}k_{e*}k_{f*}k_{a*}S'_e$$
 (2.31)

 S'_e límite de fatiga no corregido del material del eje obtenido a partir de probetas de ejes giratorios. Para S'_e , Anexo 04.

Para Ejes Huecos;

$$d = \left(\frac{1}{\sqrt[3]{1 - K^4}}\right) * \sqrt{\left(\frac{32FS}{\pi}\right) * \sqrt{\left(\frac{M}{S_f}\right)^2 + \frac{3}{4}\left(\frac{T}{S_Y}\right)^{\wedge} 2}}$$
 (2.32)

Relación de eje hueco:

$$K = d_i/d$$

2.7.2 Límite de resistencia a la fatiga (S'_e)

Figura 14, se estimará límite de resistencia a la fatiga para aceros

Tabla 11

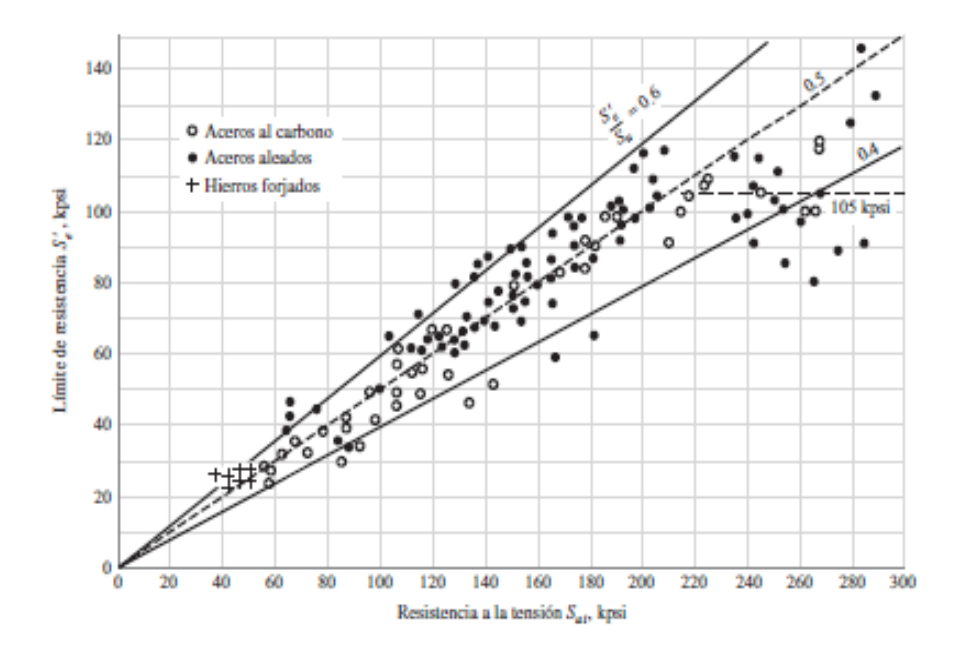
Limite de resistencia a la fatiga para aceros

$$S'_{e} = \begin{cases} 0.5 \, S_{ut} \; ; \; S_{ut} & \leq 200 \, kpsi (1400 MPa) \\ 100 \, kpsi \; ; & S_{ut} > 200 \, kpsi \\ 700 \, kpsi & > 1400 \, MPa \end{cases}$$

Donde.

 S_{ut} ; resistencia a la tensión mínima

Figura 15Limite de resistencia a la fatiga vs resistencia a la tensión de ensayos



Nota. Budynas & Nisbett (2008)

2.7.3 Factores que modifican límite de resistencia a la fatiga

- Material: Estructura.
- Manufactura: Tratamiento térmico, mecanizado, acabado superficial.
- Ambiente: Corrosión, temperatura.
- Diseño: Medidas, velocidad, esfuerzos concentrados, rozamiento,

Para determinar el límite de resistencia a la fatiga, considerar, la ecuación:

$$S_e = k_a k_b k_c k_d k_e k_f S'_e$$

Dónde:

 k_a : Factor que modifica condición superficial.

 k_b : Factor que modifica el tamaño.

 k_c : Modificación de carga.

 k_d : Cambio de temperatura.

 k_e : Confiabilidad.

 k_f : Modificación de efectos varios.

Se': Límite resistencia a fatiga en probeta.

Se: Límite resistencia a fatiga crítica de máquina.

\triangleright Factor de superficie k_a

$$k_a = aS_{ut}^{\ b} \tag{2.33}$$

Dónde S_{ut} ; resistencia mínima a tensión, valores a y b según tipo de acabado superficial.

Tabla 12

Factores que modifican a límite de resistencia

\triangleright Factor de tamaño k_b

Para flexión y torsión puede expresarse:

$$k_b = \begin{cases} 0.11d^{-0.107}; & 0.11 \le d \le 2 \ pulg \\ 0.91d^{-0.157}; & 2 \le d \le 10 \ pulg \\ 1.24^{-0.17}; & 2.79 \le d \le 51 \ mm \\ 1.51d^{-0.157} : 51 < d < 254 \ mm \end{cases}$$

Para una sección hueca o sólida, se calculará el diámetro efectivo según:

$$d_e = 0.370d (2.34)$$

 \triangleright Factor de modificación de carga k_c .

$$k_c = \begin{cases} 1 & flexion \\ 0.85 & axial \\ 0.59 & torsion \end{cases}$$

 \triangleright Factor de temperatura k_d .

$$k_d = 0.975 + 0.432(10^{-3})T_F - 0.115(10^{-5})T_F^2 + 0.104(10^{-8})T_F^3 - 0.595(10^{-12})T_F^4.$$

donde $70 \le T_F \le 1000^{\circ}$ F.

\triangleright Factor de confiabilidad k_e

$$k_e = 1 - 0.08z_a$$

Tabla 13

Valores de confiabilidad

Confiabilidad	Variación de transformación z_a	Factor de confiabilidad k_e				
50	0	1				
90	1.288	0.897				
95	1.645	0.868				
99	2.326	0.814				
99.9	3.091	0.753				
99.99	3.719	0.702				

Nota. Budynas & Nisbett (2008), Diseño de ingenieria mecanica de Shigley

2.7.4 Factor de concentración de esfuerzo por fatiga (k_f)

$$k_f = \frac{esfuerzo\ m\'aximo\ en\ la\ pieza\ de\ prueba\ con\ muesca}{esfuerzo\ en\ la\ pieza\ de\ prueba\ sin\ muesca}$$

$$K_f = 1 + q(K_t - 1) (2.35)$$

La sensibilidad a la muesca "q" de materiales se utiliza para relacionar el factor de reducción de resistencia a la fatiga kf con el factor de concentración de esfuerzos teórico (estático) Kt.

2.7.5 Sensibilidad a la muesca (q)

En ejes rotatorios donde existen cambios de sección se presentan la distribución del esfuerzo haciendo que estas localicen en una sola área.

$$\sigma_{max} = k_f . \sigma_0$$

la sensibilidad a la muesca queda definida por:

$$q = \frac{k_f - 1}{k_t - 1} \tag{2.36}$$

Con valores experimentales limitados, pero hay algunos disponibles para el acero y el aluminio

La ecuación de Neuber:

$$k_f = 1 + \frac{k_t - 1}{1 + \sqrt{\frac{a}{r}}} = 1 + \frac{k_t - 1}{1 + \frac{\sqrt{a}}{\sqrt{r}}}$$
 (2.37)

Donde:

 \sqrt{a} ; constante de Neuber, constante del material

r; radio de muesca.

2.7.6 Acoplamientos

Tiene que estar dimensionado de manera que la cargada permitida exceda durante el funcionamiento.

2.7.6.1 Carga del Acoplamiento

Se tienen las siguientes relaciones

$$TKN \ge TNS$$

$$TNS = TN * SZ * SB$$

$$TN(Nm) = 9550 * \frac{Pd}{n}$$

Donde:

TKN: Par nominal de acoplamiento.

TN: Par de transmisión.

TNS: Torque según valores de funcionamiento.

Sz: Factor de arranque.

SB: Factor de Funcionamiento

2.7.6.2 Carga de Arranque

El torque de arranque admisible no debe exceder dos veces torque nominal de acoplamiento.

2.7.6.3 Rango de temperaturas admisibles

El rango de temperatura - 20 °C a 80 °C.

Tabla 14Factor de servicio Sz de arranque

Frecuencia de arranque/h	10	25	50	
S _Z	1,0	1,2	1,4	

Nota: Catálogo de Acoplamientos de Dientes, GEAREX, (2008).

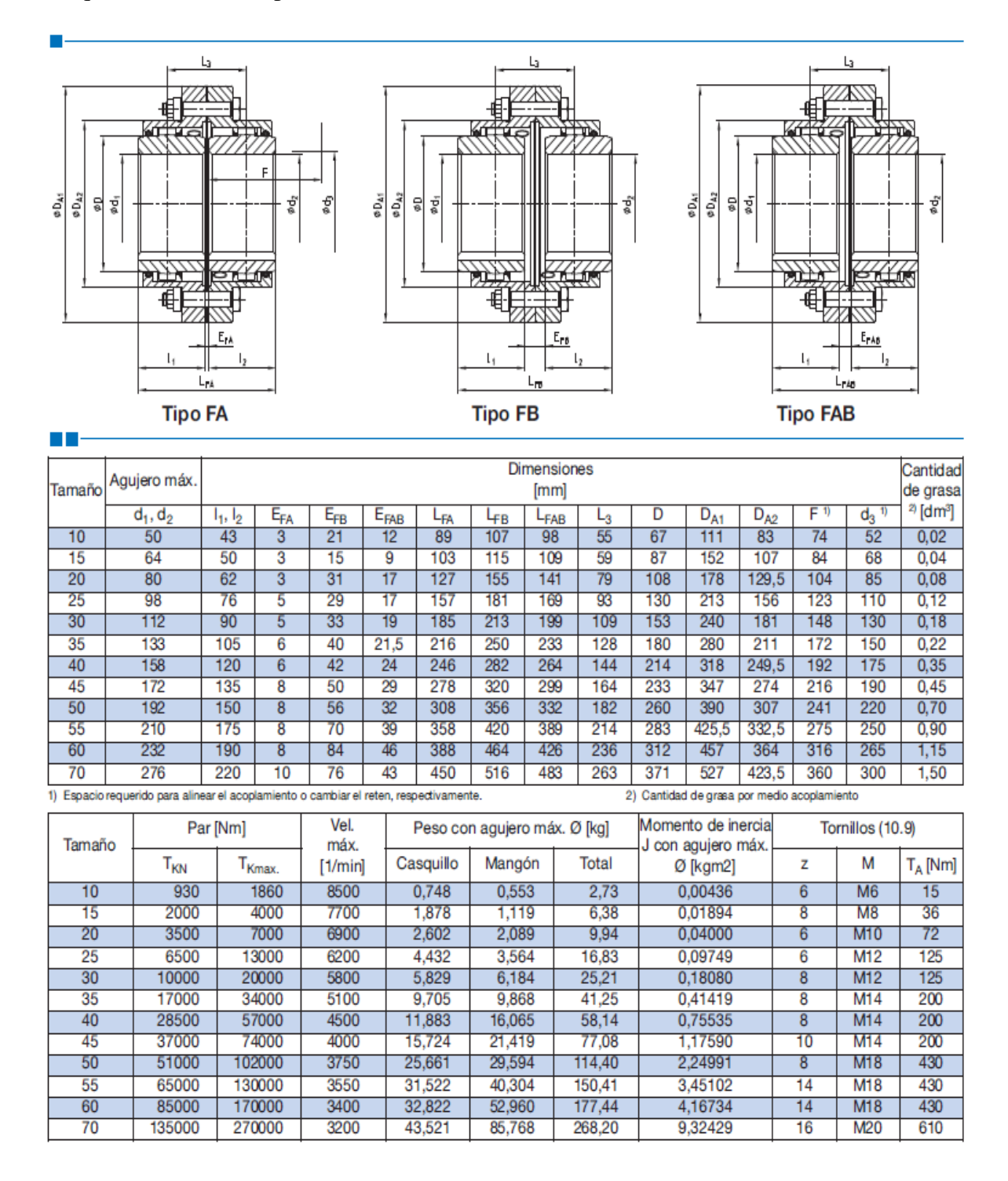
Tabla 15 S_B Factor de funcionamiento

Clase de carga	Características de funcionamiento	Máquinas	Factor de fun- cionamiento
Suave	Funcionamiento perma- nente sin sobrecarga o golpes de carga. Baja frecuencia de conexión.	Generadores eléctricos Bombas radiales Ventiladores ligeros	1,00
Ligera	Funcionamiento constante con pequeña sobrecarga y con golpe de cargas muy poco frecuentes y cortos.	Compresores radiales Bombas de pistones Grandes ventiladores (funcionamiento con cargas pesadas) Mezcladores de líquidos Mezcladores de sólidos Maquinaria textil Máquina herramienta Cintas transportadoras Elevadores	1,25
Medía	Funcionamiento intermitente con pequeños choques y sobrecargas medias.	Compresores de piston, grúas Bobinado de motores, calandras de caucho y nylon Calandras Transmisión de laminadores Tren de laminación en frio no reversible	1,50
Pesadas	Funcionamiento con cargas elevadas y frecuentes picos. Carga frecuente reversible. Alto grado de seguridad.	Grúas Puente para la industria de acero Mezcladores de caucho y nylon Grúas (funcionamiento con carga pesada) Rectificadoras de Madera, transmisión marina Equipos para transporte de personas Ventiladores de minería Mesas de rodillos Trenes de laminación en frío reversibles Tren de laminación en caliente	2,00
Muy pesada	Carga extrema y sobrecargas con frecuentes y bruscos cambios de giro.	Transmisión de laminadores reversibles Funcionamiento con carga pesada en la industria del acero Máquinas de corte Rectificadoras Sierras y cortadores Machacadoras	2,50

Nota: Catálogo de Acoplamientos de dientes, GEAREX, (2008).

Tabla 16

Torque nominal de acoplamiento TKN



Nota: Catálogo de Acoplamientos de Dientes, GEAREX, (2008).

2.8 Selección de Rodamiento

Los rodamientos tienen características particulares según ciertas aplicaciones de acuerdo al trabajo.

2.8.1 Cargas en Rodamientos

2.8.1.1 Carga Equivalente

La capacidad de carga dinámica C, para rodamientos radiales se supone carga netamente radial, cuando son rodamientos axiales, la carga axial aplicada al centro del rodamiento. Está carga imaginaria se denomina carga equivalente.

2.8.1.2 Carga Combinada

La carga equivalente esta por la ecuación:

$$P = XFr + YFa \tag{2.38}$$

P: Carga equivalente.

Fr: Carga radial constante real.

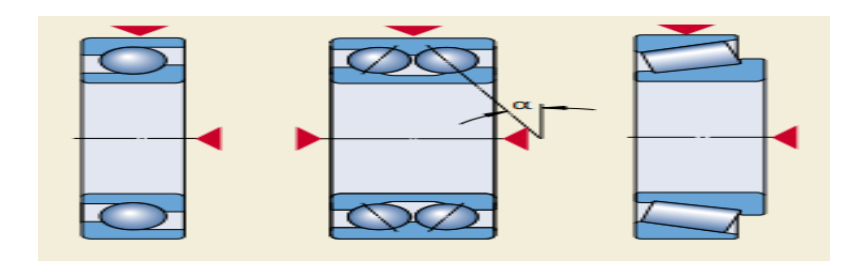
Fa: Carga axial constante real.

X: Coeficiente radial del rodamiento.

Y: Coeficiente axial del rodamiento.

Figura 16

Tipos de cargas aplicados en rodamientos



Nota: SKF (2015), Catalogo general de rodamientos

Para rodamiento axial de rodillos a rótula, se tiene la ecuación:

$$P = Fa + 1.2Fr \tag{2.39}$$

2.8.1.3 Capacidad de Carga

• Relación entre Carga y Duración de los Rodamientos

$$L = \left(\frac{c}{p}\right)^{p}$$

$$C = P * (L)^{\frac{1}{p}}$$
(2.40)

L: Duración nominal (millones de revoluciones).

C: Capacidad de carga básica dinámica de rodamiento (N).

P: Carga equivalente sobre rodamiento (N).

C/P: Seguridad de Carga.

Para determinar el exponente "p":

p: 3, para rodamientos de bolas.

P: 10/3, para rodamientos de rodillos.

Vida útil en horas de funcionamiento, según fórmula:

$$Lh = \frac{1000000}{60*n} * \left(\frac{c}{P}\right)^p \tag{2.41}$$

 L_h : vida útil (horas de funcionamiento).

n: Velocidad (rpm).

Tabla 17Duración nominal para rodamientos de diferentes clases de maquinas

Valores orientativos de la vida especificada de los diferentes tipos de máquinas Tipo de máquina	Vida especificada Horas de funcionamiento				
Electrodomésticos, máquinas agrícolas, instrumentos, equipos técnicos de uso médico	300 3 000				
Máquinas operan intermitentemente o en breves períodos: herramientas eléctricas portátiles,	3000 8 000				
Máquinas utilizadas intermitentemente o durante breves períodos donde se requiere una alta confiabilidad de funcionamiento:	8 000 12 000				
ascensores, grúas 8 horas de trabajo diario para máquinas, transmisiones por engranajes de uso general, motores eléctricos para uso industrial,	10 000 25 000				
trituradoras giratorias 8 horas de trabajo diario para maquinas diario: ventiladores, cintas transportadoras, equipos de impresión, separadores y	20 000 30 000				
centrifugadoras 24 horas de trabajo continuo para maquinas: unidades de engranajes para laminadoras, compresores.	40 000 50 000				
Maquinaria para energía eólica, los rodamientos del eje principal,	30 000 100 000				
Maquinas eléctricas de gran tamaño, plantas de generación de energía, bombas para minas, ventiladores para minas	100 000 200 000				

Nota: Tomado de SKF (2015) Catalogó general de Rodamientos.

III. MATERIALES Y METODOS

3.1 Materiales

Según el análisis y evaluación se realizó los siguientes estudios:

- Revisión de catálogos y manuales técnicos de materiales y del equipo.
- Tesis y bibliografía relacionadas al proyecto
- Computadora.
- Recurso de la Web.
- Normas internacionales y otras referencias bibliográficas.

3.2 Metodología

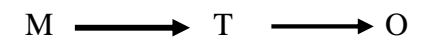
la metodología del diseño se subdividió en 3 aspectos fundamentales:

- Metodología para determinar la capacidad promedio del equipo y el análisis estructural.
- Diseño estructural del equipo según normas
- Diseño mecánico de componentes principales.

3.3 Tipo de Investigación

La investigación es de tipo:

- Cuantitativa según tipo de datos empleados,
- Descriptivo según el nivel de análisis
- Aplicativo según su propósito.



Donde M es el equipo estudiado, T es el diseño realizado y O es la información relevante y de interés acogida.

3.4 Desarrollo y Cálculos

3.4.1 Cálculo de parámetros de operación del sistema de transmisión

Datos correspondientes del molino de bolas en Marcha:

Equipo:

• Capacidad: 5000 Kg/h

Horas de trabajo: 10 h/día.

• El material de trabajo es "Mineral de oro".

Figura 17Sistema de transmisión de molino con fajas



Nota: Propia

3.4.2 Cálculo de potencia del sistema de transmisión del molino de bolas

El cálculo del diámetro y longitud internos del tambor, así como de la potencia del motor y la velocidad de operación del molino se calculan mediante un proceso iterativo, para ello se harán las siguientes consideraciones respecto de los parámetros de trabajo de molino a bolas:

- Ll material de trabajo es "Mineral de oro".
- Molienda húmeda en circuito cerrado.
- ❖ Capacidad de trabajo de 5 T/h.
- Tamaño del material de alimentación: $F_{80} = 12\,500 \,\mu m$
- ❖ Tamaño del producto de salida: $P_{80} = 180 \ \mu m$
- ❖ Volumen de carga del 45%.
- ❖ Velocidad de trabajo del 75% de la velocidad critica.
- Relación entre longitud y diámetro $\frac{L}{D} = 2$
- 1) Determinación del "Índice de trabajo (W_i)

De la Tabla 1: Índices de trabajo de Bond típicos, tenemos

$$W_i = 16.31 \, \frac{KW.h}{tc}$$

- 2) Molino de bolas tendrá molienda húmeda en circuito cerrado
- 3) Factores de corrección:
- **❖** Factor: "*f*₁"

Se considera que el molino es para trabajo de molienda húmeda, con lo cual:

$$f_1 = 1$$

❖ Factor: "*f*₂"

Se considera que el molino trabaja en circuito cerrado, con lo cual:

$$f_2 = 1$$

 \Leftrightarrow Factor: " f_3 ".

Bond sugiere $f_3 = 1$, para primera iteración, si $D \neq 8$ pies, recalcular

❖ Factor: "**f**₄"

Para el cálculo de este factor se emplea la siguiente ecuación

$$f_4 = \frac{R_r + (W_i - 7) \left[\frac{F_{80} - 4000 \sqrt{\frac{13}{W_i}}}{4000 \sqrt{\frac{13}{W_i}}} \right]}{R_r}$$

$$F_{80} = 12\,500\,\mu m$$

$$P_{80} = 180 \ \mu m$$

$$W_i = 16.31 \; \frac{KW.\,h}{tc}$$

$$R_r = \frac{F_{80}}{P_{80}} = \frac{12500}{180} = 69.44$$

$$f_0 = 4000 * \sqrt{\frac{13}{W_I}} = 3699.22$$

Reemplazando en $f_4 = 1.281$

• Factor " f_5 ": tamaño 80% pasante del producto es mayor a 75 micrones (200 mallas) siendo = 1

Como se cumple la siguiente relación:

$$P_{80} > 75 \ \mu m$$

Entonces:

$$f_5 = 1$$

$$R_r = 69.44$$

Como se cumple que:

$$R_r \ge 6$$

Entonces:

$$f_6 = 1$$

4) El valor W_I (corregido), según ecuación 12:

$$W_I(corr) = W_I(base) * f_1 * f_2 * f_3 * f_4 * f_5 * f_6$$

 W_I (base) = 15.2 (KW/ton. corta)

$$W_I(corr)$$
=15.2*1*1*1*1.281*1*1 = 19.47 (kwh/ton. corta)

5) Consumo de energía especifica según Ec.13.

$$W = W_I(corr) * \left(\frac{10}{\sqrt{P_{80}}} - \frac{10}{\sqrt{F_{80}}}\right)$$

Tenemos: W (corr) = 19.47 (kwh/ton. corta).

 P_{80} , $F_{80} = 180,12500$.

$$W = 19.47 * \left(\frac{10}{\sqrt{180}} - \frac{10}{\sqrt{12500}}\right)$$

$$W = 14.88 \frac{kWh}{ton}.corta$$

- 6) La capacidad deseada del circuito cerrado de molienda será $C=5\ Tn/hr$ (ton. corta/hora).
- 7) La potencia mecánica:

$$P_M = W(kwh/ton.corta) * C(ton.cortas/h)$$

$$P_{M} = 14.88(kwh/ton.corta)*5(ton.cortas/h)$$

$$P_M = 74.88 \, KW$$

$$P_M(HP) = 1.341 * 74.88$$

$$P_M(HP) = 100.75 HP$$

8) La potencia eléctrica.

Considerando una eficiencia de 85%, tenemos;

$$P_E(HP) = \frac{P_M(HP)}{0.95} = \frac{100.75}{0.85} = 118.6 \, HP$$

9) Cálculo del diámetro D, según la Ec 2.13 será:

Como el molino es de rebalse y molienda húmeda, entonces:

$$K_B = 4.365 \times 10^{-5}$$

El cálculo del diámetro se realiza mediante la siguiente ecuación:

$$D(pies) = \left[\frac{P_E(HP)}{(4.365x10^{-5})(45)^{0.461}(75)^{1.505}(2)}\right]^{\frac{1}{3.5}}$$

$$V_P = 45\%$$

%
$$Cs = 75\%$$
 $L/D = 2$

Se realizan las iteraciones hasta que el valor de diámetro converja, ósea que la diferencia entre los valores consecutivos sea menor que el 1%.

Tabla 18

Calculo de potencia con valor iterativo

i	D(m)	f_3	$P_E(HP)$	D(pies)	D(m)	error
1	2.4384	1.00	111.1	5.251	1.600	_
2	1.600	1.09	120.9	5.378	1.639	2.44 %
3	1.639	1.08	120.3	5.371	1.637	0.12 %
4	1.637	1.08	120.3	5.371	1.637	≅ 0 %

Nota. Propio

De las iteraciones anteriores, se tiene que el diámetro interno del tambor en el molino será de:

$$D = 1.61 m$$

10) Cálculo de la longitud del molino:

$$L = 2D$$

$$L = 3.22 m$$

11) Velocidad critica del molino (n_c)

$$n_c = \left(\frac{42.3}{\sqrt{D}}\right) = \left(\frac{42.3}{\sqrt{1.61}}\right)$$

$$n_c \cong 33 \ rpm$$

En conclusión, la velocidad crítica es 33 rpm.

Cálculo de velocidad de trabajo:

$$n_t \text{ (rpm)} = 0.75.\text{nc}$$

$$n_t(\text{rpm}) = 0.75 (33) = 25 \text{ rpm}$$

> Selección de la potencia de motor:

Sabemos que la potencia mínima para el motor es: $P_E = 118.6 \ HP$

Para la selección del motor usamos el catálogo de motores trifásicos WEG de alta

Eficiencia y confiabilidad para la industria modelo W 22

Potencia: 125 HP - 4 polos, 60 Hz

Velocidad: 1780 rpm

Protección: IP 55

Tabla 19
Selección de potencia de motor eléctrico de molino

			Par	Corri	iente	Par	Dor		Tiempo	o máx.		Nivel de				4	60 V			
Pote	ncia	Carcasa	nominal	con	rotor	de	Par máximo	Inercia J	con rotor	trabado	Peso	Nivel de ruido			% de	e la pote	ncia non	ninal		Corriente
		UalCasa	Tn (Nm)	trabac	lo II/In	arranque	Tm/Tn	(kgm²)	(8		(kg)	dB (A)	RPM		ndimien			r de pot	encia	nominal
HP	kW			Letra	la/In	Ta/Tn	IIIV III		Caliente	Frío		ub (A)		50	75	100	50	75	100	In (A)
VI polos																				
- 1	0,75	143/5T	6,11	K	6,2	2,6	3,0	0,0067	28	62	24,0	49,0	1150	77,0	82,0	82,5	0,45	0,57	0,66	1,73
1,5	1,1	182/4T	9,01	M	7,8	3,2	4,0	0,0206	16	35	31,9	52,0	1170	84,0	86,5	87,5	0,45	0,54	0,62	2,54
2	1,5	182/4T	12,0	L	7,5	3,0	3,5	0,0262	31	68	39,7	52,0	1170	86,5	87,5	88,5	0,46	0,58	0,66	3,22
3	2,2	213/5T	17,9	K	7,0	2,0	2,8	0,0504	58	128	55,0	55,0	1175	86,5	88,5	89,5	0,50	0,63	0,70	4,41
5	3,7	213/5T	30,0	J	6,8	1,7	2,6	0,0620	57	125	73,5	55,0	1170	88,5	89,5	89,5	0,58	0,70	0,76	6,83
7,5	5,5	254/6T	44,8	H	6,8	2,5	3,0	0,1652	30	66	119	59,0	1175	89,5	90,2	91,0	0,63	0,74	0,80	9,48
10	7,5	254/6T	59,8	H	6,5	2,3	2,8	0,1867	26	57	131	59,0	1175	90,2	91,0	91,0	0,63	0,74	0,80	12,9
15 20	11 15	284/6T 284/6T	89,7 120	G G	6,4 6.2	2,3	2,7	0,3310	20 16	44 35	172 193	59,0	1175 1175	91,0	91,7	91,7	0,69	0,80	0,84	17,9
25	18.5	324/6T	149	G	6.2	2,3 2,1	2,6 2.6	0,3861	26	57	254	59,0 62,0	1180	91,0 91,7	91,7 93.0	91,7 93,0	0,70 0.65	0,80	0,85	24,2 30,4
30	22	324/6T	179	G	6.2	2.3	2,6	0,4643	21	46	285	62,0	1180	91,7	93.0	93.0	0,65	0,77	0,82	36.2
40	30	364/5T	237	G	6.4	2.0	2.4	1,22	21	46	378	66.0	1185	93.6	93.6	94.1	0.73	0,76	0.86	46.5
50	37	364/5T	298	G	6.4	2.0	2.4	1,36	18	40	394	66.0	1180	93.6	94.1	94.1	0,73	0.83	0,86	40,5 57.4
60	45	404/5T	356	Н	7.1	2.0	2.3	1.55	20	44	470	68.0	1185	94.1	94.5	94.5	0.74	0.82	0.86	69.5
75	55	404/5T	446	G	6.4	2.0	2,3	1.69	17	37	494	68.0	1180	94.1	94.5	94.5	0.74	0.83	0,86	84.9
100	75	444/5T	593	G	6,2	2,2	2,6	3,68	20	44	715	69,0	1185	94,5	95,0	95,0	0,68	0,78	0,82	121
125	90	444/5T	741	G	6,4	2,1	2,4	4,37	19	42	794	69,0	1185	95,0	95,4	95,0	0,70	0,79	0,83	143
150	110	445/7T	889	G	6,2	2,4	2,6	5,63	20	44	926	69,0	1185	95,0	95,4	95,8	0,67	0,78	0,82	176
200	150	447/9T	1181	G	6,6	2,3	2,4	6,09	15	33	1019	70,0	1190	95,0	95,4	95,8	0,68	0,79	0,83	237
250	185	447/9T	1482	G	6,1	2,4	2,4	6,09	12	26	1151	70,0	1185	95,0	95,4	95,8	0,68	0,79	0,83	292
300	220	447/9T	1771	J	7,7	2,7	3,0	6,09	10	22	1185	70,0	1190	95,4	95,8	95,8	0,63	0,75	0,81	356
350	260	586/7T	2066	G	6.0	2.0	2.1	13.8	29	64	1716	77.0	1190	95.4	95.8	95.8	0.67	0.77	0.81	421

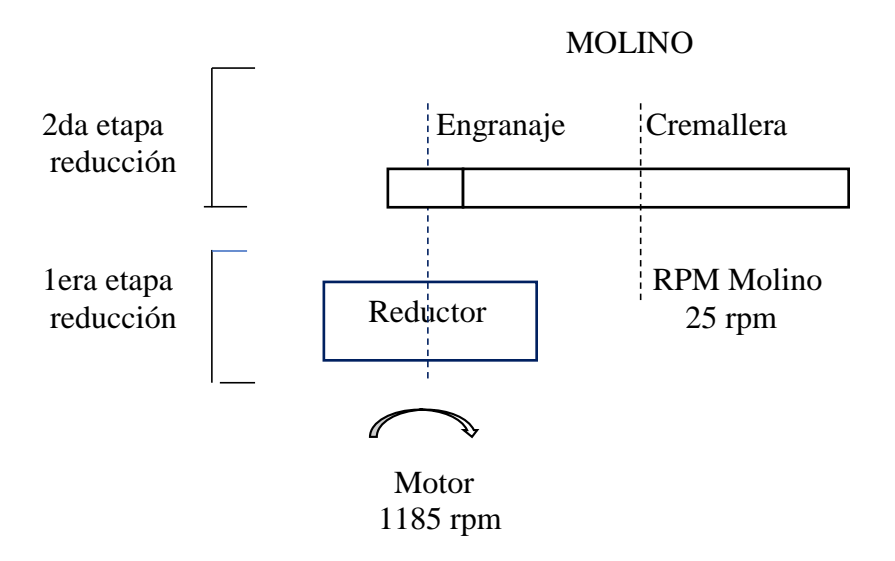
Nota. Catalogo de motores electricos, WEG (2014)

❖ 1era alternativa

Según datos preliminares para cálculo de las RPM del Motor de 1185 rpm y los rpm de trabajo del equipo; 25 rpm, según figura, se obtiene una relación de reducción de 47.4: 1, se utilizará una doble etapa de reducción con el fin obtener una ratio de reducción < 7

- 1era etapa: Reducción de transmisión de ejes paralelos
- 2da etapa: Reducción por engranaje Cremallera.

Figura 18Reducción de 02 tapas



Cálculo de las relaciones de transmisiones por etapas; 1era y 2da etapa:

$$i_1 = \frac{1185}{223} = 5.31$$

$$i_2 = \frac{223}{25} = 8.92$$

3.4.3 Selección de reductor

Para determinar la selección del reductor se tendrá en cuenta los parámetros mencionados según catálogo de Paramax 9000:

Paso 1: Identificación de datos de entrada

Tabla 20Característica para selección de reductor de sistema transmisión

Características para selección de reductor	Datos
Potencia del motor (Pm)	125 HP = 90 KW
Velocidad motriz	1185 rpm
Velocidad salida reductor	223 rpm
Uso de molino de bolas	F.S: 2(anexo 5)
Temperatura de ambiente	30°C
Accesorio en eje de velocidad baja	Engrane piñón
Forma de reductor	Ejes paralelos
Arreglo de flecha	LR
Montaje	Horizontal
Horas de Operación	10 h

Nota. Propia

Paso 2. Determinar el Factor de servicio del molino de bolas

Factor de servicio SF

Mágui	na imp	Horas	de d	ope	ració	n (diarias)				
	па ітр	uisaua		3 h		10) h	24 h		
GRÚAS										
Clasificación de la grúa	Elevación	Movimiento transversal	Movimiento de traslación	Movimiento de rotación	Elevi de p	ción uma		asificación s grúas		
Grupo□	1,00	1,	,50	1,25	1.	Ю		ısa en		
Grupo□	1,25		1,50		1,	ю	B88	rma JIS :1-1976,		
Grupo□	1,50		1,75	1,		'Non		na de		
Grupo□	1,75		2,00		1,	ю	estru	lo para la ctura s grúas'.		
TRANSPORTA										
Cargados o alim	nentados	uniformen	nente	1.00		4	00	1.25		
Carga pesada				.,00		٠,	-	1,20		
Alimentados no	uniforme	mente		1,00		1.	25	1,50		
Alternativos o ag	gitadores			1,50		1,	75	2,00		
ELEVADORES	5									
Elevadores				1.50		1.	50	1,50		
Escaleras mecá	nicas			1.25		1.	25	1.25		
LAMINADORA	SDE	METAL	ES							
Carro y accionam			LO	1,50		1.	50	1,50		
banco de estirado		Jipai de								
Mesa de salida										
No reversible	es			1,50		٠,	50	1,50		
Accionan	nientos de	grupo					00			
Accionan	nientos ind	dividuales		2,00				2,00		
Reversibles				2,00			00	2,00		
Empujadores de p	olanchas			1,50		1,	50	1,50		
Cizallas				2,00		2,	00	2,00		
Trefilado de alami				1,25		1,	25	1,25		
Bobinadora de ala	ambre			1,25		1,	50	1,50		
MAQUINARIA PAF	RA EL PE	ROCESAN	MIENTO DI	E BANDA	S M	ΕTÁ	LICA	6		
Bridles				1,50		1,	50	1,50		
Coilers & uncoile	ers			1,00		1,	25	1,50		
Edge trimmers	_			1,00		1.	25	1,50		
Flatteners				1,25		1.	25	1,50		
Loopers (Accum	nulators)			1,50			50	2,00		
Pinch rolls		1.	25	1,50						
Scrap choppers	Scrap choppers 2.00									
Shears										
Slitters			00 25	2,00 1,50						
MOLINOS, TIPO ROTATIVO										
De bolas y de ba		IAIIVO	•			_				
Les nomne de ce				2.00		2.	00	2,00		

Paso 3: Cálculo de la potencia equivalente (PE):

 $PE = Pm \times F.S$

PE = (90) (2) = 180 KW

Paso 4: Selección de tamaño de reductor:

Datos de Entrada:

- ❖ Velocidad salida = 223 rpm
- ❖ Velocidad entrada = 1185 rpm

Relación de Reducción $(i_1) = 1185/223 = 5.31$

❖ PE = 180 KW

Anexo A.4, tabla de Reductores Paramax 9000 con PE = 180 KW y la relación de transmisión $i_1 = 5.31$

Encontramos una capacidad mecánica = 187 KW

Siendo 187 KW > 180 KW

Por lo tanto, se selecciona al siguiente tamaño del reductor: PARAMAX 9040

PARAMAX® 9000

SELECCIÓN Ejes paralelos - Doble reducción Relación nominal de reducción 6,3 ▶ 8

POTENCIA NOMINAL MECÁNICA (kW) ----

		(Velocidad del						1	Tamañ	o del r	educto	r					
nominal de reducción		eje de baja velocidad	9015	9025	9030	9035	9040	945	9050	9055	9060	9065	9070	9075	9080	9085	9090
	Relación exac	ta de reducción	6,257	6,193	6,314		6,049		6,470		6,188		6,246		6,429		6,609
	1800	286	76	122	179		257		350		603		900		1430		1950
	1500	238	64	102	149		223	4	305		530		792		1250		1710
6,3	1200	190	51	82	120		187		256		448		677		1050		1450
	1000	159	43	68	100		162		222		388		588		884		1240
	900	143	39	62	91		148		203		355		538		798		1120
	750	119	32	51	76		125		174		302		462		668		943
	Relación exac	ta de reducción	7,237	7,067	6,806		6,903		7,366		7,210		6,998		7,090		7,190
	1800	254	62	100	161		241		349		559		900		1350		1830
	1500	211	52	83	135		201		293		469		757		1130		1610
7,1	1200	169	42	67	108		162		235		377		610		914		1320
	1000	141	35	56	90		136		197		316		511		766		1100
	900	127	31	50	82		122		178		285		461		691		999
	750	106	26,5	42	68		102		149		238		386		579		836
	Relación exac	ta de reducción	7,889	7,616	8,118	7,869	7,778	7,691	7,956	8,062	7,875	7,759	8,033	7,733	8,167	7,835	8,111
	1800	225	61	99	140	187	219	257	311	350	517	603	781	900	1230	1430	1660
	1500	188	51	83	117	156	190	223	271	305	455	530	687	792	1030	1250	1450
8	1200	150	41	67	94	126	154	187	227	256	378	448	571	677	836	1070	1200
	1000	125	34	56	78	105	129	162	195	222	317	388	478	588	700	932	1020
	900	113	31	50	71	95	116	148	176	203	286	355	432	538	632	841	923
	750	94	25,9	42	59	79	97	127	147	174	239	304	361	462	529	704	773
		Horizontal	C-144	C-146	C-146	C-146	C-146	C-146	C-146	C-148							
Tabla	as de	Vertical	C-170	C-172	C-172	C-172	C-172	C-172	C-172	C-174							
dimen	siones	Perpen- dicular	C-188	C-190	C-190	C-190	C-190	C-190	C-190								

PASO 5: Capacidad Térmica

- Tabla de ejes paralelos: Anexo A.5
- Montaje horizontal
- Temperatura ambiente 30°

POTENCIA NOMINAL TÉRMICA (kW) -

Relación	Velocidad del	Cantidad de							Tamañ	o del r	educto	r					
reducción	velocidad	enfriamiento	9015	9025	9030	9035	9040	9 45	9050	9055	9060	9065	9070	9075	9080	9085	9090
	1800	ĩ	40 111	51 132	57 143	73 193	88 216	108 265	103 250	127 308	147 415	174 491	184 479	225 531	214 510	263 709	340 1048
Doble reducción	1500	î	39 97	50 117	58 130	75 176	89 195	110 240	106 228	131 282	151 378	180 452	192 446	238 500	232 492	284 679	360 986
Horizontal	1200	i	38 83	49 101	58 115	75 156	88 171	110 213	106 202	131 251	151 337	182 405	196 404	245 456	240 452	296 629	370 901
6,3	1000	î	36 71	47 86	100	136	148	108 185	104 176	130 220	149 294	180 355	195 356	245 405	241 402	299 562	371 799
8	900	i	35 66	46 81	55 94	73 128	85 139	107 176	103 166	128 208	147 277	178 336	193 337	243 385	240 382	298 537	369 761
	750	î	33 57	44 70	53 82	70 113	81 122	103 154	99 146	124 183	142 245	173 298	188 300	239 343	235 342	293 481	362 680

$$P_T = P_t * T_a$$

De tabla A.6.

Temperatura ambiente	Factor de corrección de temperatura					
°C	Sin ventilador	Con ventilador				
20	1,00	1,00				
30	0,85	0,87				
40	0,70	0,73				
50	0,55	0,60				

> Capacidad térmica sin ventilador

$$P_T = 88 * 0.85 = 74.8 \, KW < 90 \, KW$$

> Capacidad térmica con ventilador

 $P_T = 171 * 0.87 = 148 \, KW > 90 \, KW$ (añadir ventilador para cumplir condición térmica)

Paso 6: Evaluar cargas en voladizo (OHL)

\triangleright Carga radial equivalente en el eje del reductor (F_{re})

El eje del reductor, soportara una carga radial del engranaje piñón:

$$F_{re} = \frac{126000x HPx Cfx F.S}{Dx N}$$

Donde:

HP = 125 HP

Cf: 1.25 (Anexo A.3, Reductores Paramax)

F.S: 2

D:8 plg (diámetro de paso del engranaje piñón)

N: 223 rpm (velocidad de baja de eje)

Factor de esfuerzo radial

Ele	mento de esfuerzo radial	Factor de esfuerzo radial
Rue	eda dentada (hilera única)	1
Rue	eda dentada (hilera doble)	1,25
	Engranajes	1,25
Ι.	Correa en V	1,5
	Correa plana	2,5

PASO 7: Calculo de cargas equivalentes

$$\frac{F_{re}}{F_{ra}} + \frac{F_{xe}}{F_{xa}} < 1$$

$$F_{re} = \frac{126000x\ 125x\ 1.25x\ 2}{8\ x\ 223}$$

$$F_{re} = 22,071.2 \ Lbs = 10,032 \ Kgf = 98,380 \ N$$

Cálculo de la carga radial admisible (F_{ra})

Del anexo A.7, de catálogo Paramax 9000, encontramos para el modelo 9040 y la velocidad de salida del reductor 223 rpm; F_{ra} : 29.9 KN

Para comprobar si el reductor es el ideal seleccionado, debemos comprobar:

$$\frac{F_{re}}{F_{ra}} + \frac{F_{xe}}{F_{xa}} < 1$$

 $F_{xe} = 0$ (piñon de dientes rectos, no hay carga axial)

$$\frac{98,413}{29,900} + \frac{0}{23100} = 3.34 < 1$$
 (condición no cumple)

Este resultado nos indica que debemos considerar un reductor más grande que pueda soportar la carga radial calculada.

$$F_{re} = 22,071.2 \ Lbs = 10,032 \ Kgf = 98,380 \ N$$

Consideramos de tabla de anexo A.7: el tamaño de reductor 9085

 $F_{ra}: 100.1 \mathrm{KN}$ (Carga Radial)

 F_{xa} : 23.5 KN (Carga Axial)

$$\frac{98,380}{100,100} + \frac{0}{23500} = 0.98 < 1$$
 (Conforme)

Si, cumple las condiciones de operación el reductor Paramax 9085, siendo el seleccionado el modelo P-H-D-9085-P-2-LR-8

Tabla 21Resumen de seleccion de reductor

Tamaño de reductor	9085
Capacidad mecánica	187 KW
Relación de reducción	7.98
Velocidad de entrada	1780 RPM
Posición= Horizontal	Н
Arreglo de Ejes	LR
Configuración	Ejes paralelos P
Carcaza	Bipartida D
Etapa de Reducción	2

Nota. propia

3.4.4 Cálculo de sistema de transmisión por engranajes rectos

- **Datos de motor:**
- Velocidad del motor: 1185 RPM
- Potencia de salida: 125 HP
- **Datos de reductor:**
- Potencia entrada: 125 HP
- Velocidad salida: 223 RPM
- Reducción nominal de reductor = 8
- Velocidad del molino = 25 RPM
- Asumiendo paso diametral = 2
- \triangleright Asumiendo distancia entre centros 39.37 plg = 1 m

El número de dientes totales del sistema de engrane del molino:

$$Z = 2CP$$

$$Z = 2 (39.37) (2) = 157 dientes$$

3.4.4.1 Número de dientes del engranaje piñón:

$$i_2 = \frac{N_{reductor}}{N_{m\acute{a}quina}} = \frac{223}{25} = 8.92$$

$$Z_P = \frac{Z}{i_2 + 1} = \frac{157}{8.92 + 1} = 16 \text{ dientes}$$

3.4.4.2 Número de dientes del engrane:

$$Z_e = N - Z_P = 157 - 16 = 141 \ dientes$$

3.4.5 Diámetro de paso del piñón y engranaje:

$$Dp_p = \frac{Z_p}{P} = \frac{16}{2} = 8 \ plg = 0.2032 \ \text{m}$$

$$Dp_e = \frac{Z_e}{P} = \frac{141}{2} = 70.5 \ plg = 1.791 \ m$$

3.4.6 Cálculo del módulo de engrane

$$m = \frac{d}{Z} = \frac{8}{16} = 0.5 \ plg = 12.7 \ mm$$

3.4.6.1 Comprobando distancia entre centros:

$$C = \frac{Dp_e + Dp_p}{2} = \frac{70.5 + 8}{2} = 39.25 \ plg$$

3.4.6.2 Factor de forma:

Factor de Lewis Y, según ángulo normal de presión de 20°.

• Factor de forma de piñón para 16 dientes:

$$Y = 0.296$$

• Factor de forma de engrane para 141 dientes:

$$Y = 0.458$$

Definiendo materiales para engranajes

Tabla 22Selección de material de piñón y engranaje

PIEZA	MATERIAL	So	BHN
Piñón	ASTM 35	12000	212
Engrane	ASTM 50	15000	223

Nota. Budynas & Nisbett (2008)

Determinando el más débil:

Piñón =
$$S_0 * Y = 12000 * 0.296 = 3552 \text{ psi}$$

Engrane =
$$S_0 * Y = 15000 * 0.458 = 6870 \text{ psi}$$

Calculando velocidad lineal:

$$v = \frac{\pi D n}{12} = \frac{\pi x 8'' x 223}{12} = 466.8 rpm$$

3.4.6.3 Calculando carga transmitida (f_t):

$$ft = \frac{33000 \, x \, n}{v} = \frac{33000 \, x \, 223}{466.8} = 15756.7 \, lb$$

3.4.6.4 Carga dinámica para un tallado comercial (f_s) :

$$f_s = \left(\frac{600+v}{600}\right) ft = \left(\frac{600+466.7}{600}\right) 15756.7 = 28,012.7 \ lb$$

3.4.6.5 Factor concentración de esfuerzo:

$$k_f = 1.2$$
 (molino de bolas)

3.4.6.6 Cálculo del ancho de cara de diente de engrane (b):

Como
$$b = 10m = 10(0.5 plg) = 5 plg$$

3.4.6.7 Cálculo por desgaste (F_d)

Se determina F_d :

$$F_{\rm S} > {\rm N} F_{\rm d}$$

Donde;

N: factor de seguridad para esfuerzos a flexión.

$$F_d = Ft + \frac{0.05v(Bc + ft)}{0.05v + (Bc + ft)^{0.5}} = 15756.7 + \frac{0.05(466.7)[(5)(39.25) + 15756.7]}{0.05(466.7) + [(5)(39.25) + 15756.7]^{0.5}}$$

$$F_d = 18,344.2 lb$$

$$N = \frac{Fs}{Fd} = \frac{28,012.7}{18,344.2} = 1.549$$

• Cálculo de fuerza límite de desgaste f_w :

$$S_{es} = 400 \text{ BHN} - 10000 = 400(212) - 10000 = 74800 \text{ psi}$$

$$k = \frac{Ses^2 sen 20^{\circ}}{1.4} \left(\frac{1}{Ee} + \frac{1}{Ep} \right) = \frac{74800^2 0.342}{1.4} \left(\frac{2}{29 \times 10^6} \right) = 94.261 \ lb/plg^2$$

Donde:

 $E_p = E_e$ = Modulo de elasticidad del material de acero del engranaje y piñón:

 $29x10^6 \ psi$

$$Q = \frac{2Ne}{Np + Ne} = \frac{2(141)}{16 + 141} = 1.696$$

$$F_w = {\rm DbkQ} = (8~{\rm plg})~(5plg)(94.261~{}^{lb}/_{plg^2})~(~1.696) = 18{,}763~{\rm lb}$$

 $F_w > F_d$, vemos entonces que el cálculo es satisfactorio.

• Cálculo de geometría de engranes.

❖ Para el Piñón:

$$D_{PP} = 8 \text{ plg.}$$

$$Z = 16$$
 dientes

$$Pc = \frac{\pi d}{Z} = \frac{\pi(8)}{16} = 1.571$$

$$Pd = \frac{Z}{d} = \frac{16}{8} = 2$$

Especificaciones de dientes AGMA de profundidad total.

Ángulo de precisión $\phi = 20^{\circ}$ o 25°

Altura de cabeza (a) =
$$\frac{1.000}{Pd} = \frac{1.000}{2} = 0.5$$

Altura de la raíz (b) =
$$\frac{1.250}{Pd} = \frac{1.250}{2} = 0.625$$

Profundidad de trabajo =
$$\frac{2.000}{Pd} = \frac{2.000}{2} = 1.0$$

Profundidad total = 2.250/Pd = 2.250/2 = 1.125

Espesor circular del diente = 1.571/Pd = 1.571/2 = 0.7855

Radio del filete – cremallera básica = 0.300/Pd = 0.300/2 = 0.150

Holgura básica mínima = 0.250/Pd = 0.250/2 = 0.125

Ancho mínimo en la cresta superior = 0.250/Pd = 0.250/2 = 0.125

Holgura (dientes rasurados o rectificados) = 0.350/Pd = 0.350/2 = 0.175

Altura total del diente h = a + b = 0.5 + 0.625 = 1.125

Altura de trabajo = a + b - c = 0.5 + 0.625 - 0.125 = 1.0 plg

$$d_p = \frac{z}{Pd} = \frac{16}{2} = 8 \text{ pulg}$$

Diámetro exterior $D_e = dp + 2a = 8 + 2(0.5) = 9.0 \text{ plg}$

Paso base $P_b = \text{Pc cos}(\phi) = 1.571 \text{ (cos}20^\circ) = 1.476 \text{ plg}$

❖ Para el Engranaje:

$$d = 70.5 plg$$

Z = 141 dientes

Paso circular

$$Pc = \pi d/Z = \pi (70.5)/141 = 1.571$$

Paso diametral

$$Pd = Z/d = 141/70.5 = 2$$

Pd < 20 Paso fino

Especificaciones de dientes AGMA de profundidad total.

❖ Ángulo de precisión $\phi = 20^{\circ}$ o 25°

Altura de la cabeza
$$a = \frac{1.000}{Pd} = \frac{1.000}{2} = 0.5$$

Altura de la raíz b =
$$\frac{1.250}{Pd} = \frac{1.250}{2} = 0.625$$

Profundidad de trabajo =
$$\frac{2.000}{Pd} = \frac{2.000}{2} = 1.0$$

Profundidad total = 2.250/Pd = 2.250/2 = 1.125

Espesor circular del diente = 1.571/Pd = 1.571/2 = 0.7855

Radio del filete – cremallera básica = 0.300/Pd = 0.300/2 = 0.150

Holgura básica mínima = 0.250/Pd = 0.250/2 = 0.125

Ancho mínimo en la cresta superior = 0.250/Pd = 0.250/2 = 0.125

Altura total del diente = a + b = 0.5 + 0.625 = 1.125

Altura de trabajo = a + b - c = 0.5 + 0.625 - 0.125 = 1.0 plg

$$d_p = \frac{Z}{Pd} = \frac{141}{2} = 70.5$$
 pulg

Diámetro exterior $D_{ex} = d_p + 2a = 70.5 + 2(0.5) = 71.5 \text{ plg}$

Paso base Pb = Pc $\cos(\phi) = 1.571 (\cos 20^{\circ}) = 1.476$

Para el Piñón y el Engrane:

Radio de paso:

$$r_e = \frac{d_p}{2} = 70.5/2 = 35.25$$

$$r_p = \frac{d_p}{2} = 8/2 = 4$$

Distancia nominal entre centros

$$C = r_e + r_p = 35.25 + 4 = 39.25 \text{ plg}$$

Razón de contacto

$$Z = \sqrt{(re+a)^2 - (re*\cos\varphi)^2} + \sqrt{(rp+a)^2 - (rp*\cos\varphi)^2} - Csen\varphi$$

$$Z = \sqrt{(35.25 + 0.5)^2 - (35.25\cos 20^\circ)^2} + \sqrt{(4 + 0.5)^2 - (4\cos 20^\circ)^2} - 39.25 sen 20^\circ$$

Z=2.5 plg

$$m_p = 2.5/\text{Pb} = 2.5/2 = 1.25$$

3.4.7 Diseño de eje de piñón

Según; ASME B106.1M los datos de entrada.

> Datos del material

Según anexo C.2, tenemos las siguientes características de material.

a) Material: ACERO VCN - AISI 4340 H

b) Características Mecánicas:

Límite de Fluencia (Sy), 685 N/mm²

Resistencia ultima a tracción (Sut) = 800 -1080 N/mm²

Dureza: 248 Brinell

3.4.7.1 Determinación de Factores:

- a. Factor de Seguridad (FS) = 2
- b. Factor de acabado superficial (k_a) :

Para mecanizado de eje, Sut =800 -1080 N/mm2 (100-160 mm), tenemos:

Considerando: S_{ut} = 800 N/ mm² = 800 MPa

$$k_a = aS_{ut}^{\ \ b} = 4.51(800)^{-0.265}$$

$$k_a = 0.76$$

c. Factor de tamaño k_b :

De tabla 12, considerando la fórmula para; $100 \le d \le 160 \ mm$

$$1.51d^{-0.157}$$
; $51 < d \le 254 mm$

$$k_b = 0.7$$

d. Factor de modificación de carga k_c .

Considerando torsión para el contra eje

$$k_{c.} = 0.59$$

e. Factor de temperatura k_d :

$$k_d = 1$$

f. Factor de confiabilidad k_e :

Para una confiabilidad 99 %, de Tabla 13, tenemos

$$k_e=0.814$$

g. Factor de concentración de esfuerzo por fatiga k_f

Según Anexo C.2 para ejes solidos de acero, Dureza de 248 BHN y Anexo B.7 para Chaveta Perfilada. tenemos $k_f=1.8$.

De tabla 11, tenemos $0.5 S_{ut}$: $S_{ut} \le 200 kpsi(1400MPa)$

 $S'_e=0.5~S_{ut}$, consideramos $S_{ut}=800~-1080~\mathrm{N/mm^2}$ (1080MPa) (100-160 mm), tomando como máximo valor 1080 N/mm2(1080 MPa), tenemos:

$$S'_e = 0.5(1080 MPa) = 540 MPa = 78,320 Psi$$

$$S_e = k_{a*}k_{b*}k_{c*}k_{d*}k_{e*}k_fS'_e$$

$$S_e = (0.76)(0.7)(0.59)(1)(0.814)(1)(78,320) = 20,010 \text{ Psi}$$

3.4.7.2 Características del molino de bolas:

Potencia: 125 HP

Velocidad de entrada: n = 223 RPM

Piñón 16 T, 20°

3.4.7.3 Cálculo del torque del engrane piñón

Con: P:125 HP y n: 223 rpm, tenemos:

Material: ACERO VCN (AISI 4340 H)

 $Sut = 1080 \text{ N/mm}^2 (156 \text{ Ksi})$

 $Sy = 685 \text{ N/mm}^2 (99 \text{ Ksi})$

Cálculo de momento torsor (T)

$$T = 63000 \frac{P}{n} = 63000 \left(\frac{125}{223}\right)$$

$$T = 35,313.6 \text{ lb } \cdot \text{plg}$$

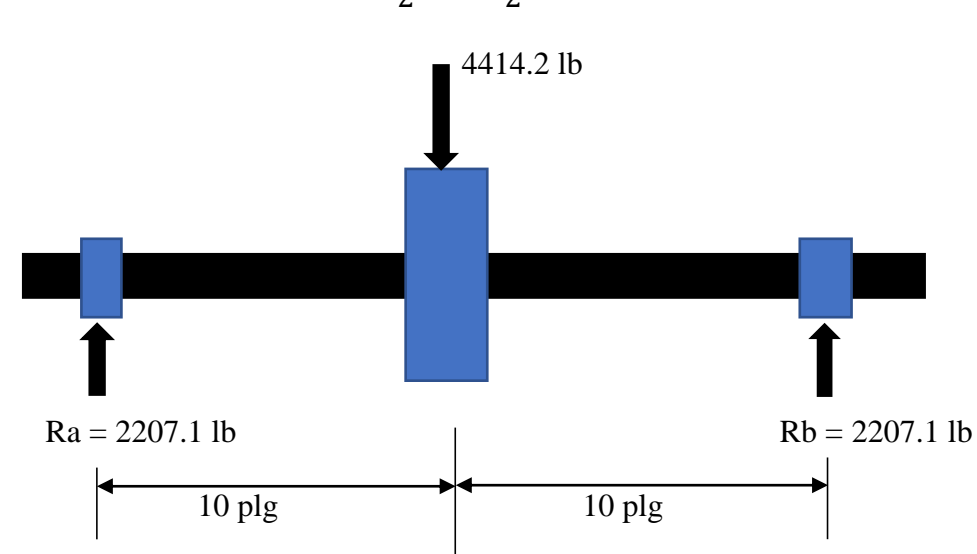
$$T = Fd_p$$
 $d_p = 8 \text{ plg}$

$$T = F_t \cdot r$$

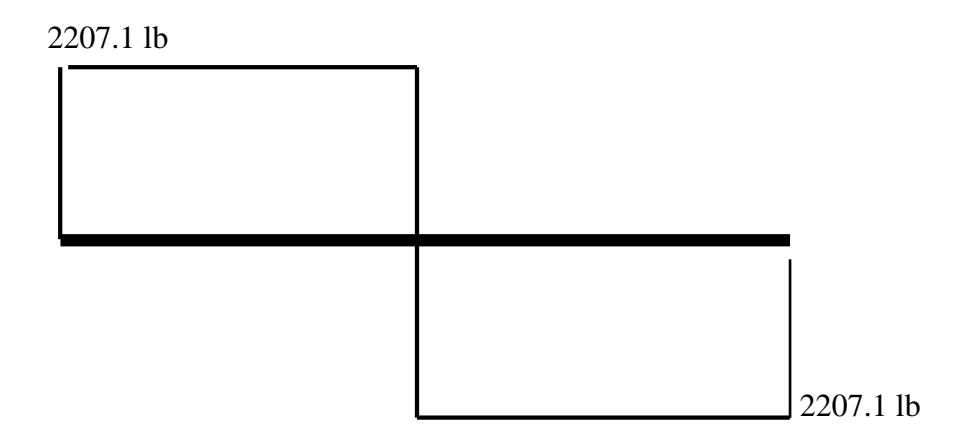
$$F_t = \frac{T}{r} = \frac{35,313.6}{4} = 8,828.4 \text{ lb}$$

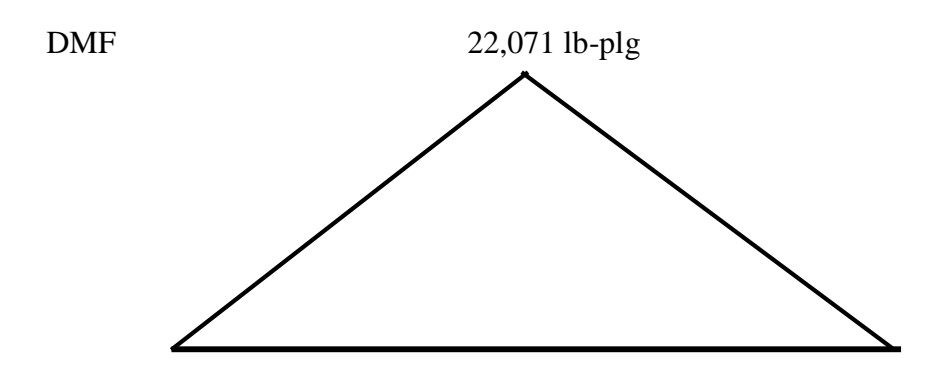
Analizando las cargas en el eje

$$R_A = R_B = \frac{F_t}{2} = \frac{8,828.4}{2} = 4414.2 \text{ lb}$$



DFC:





3.4.7.4 Cálculo de momento flector

$$M_f = 22,071 \text{ lb-plg}$$

3.4.7.5 Calculando el diámetro del eje por criterio de ASME.

Material Acero VCN (AISI 4340 H)

$$S_y = 99 \, ksi$$

$$S_e=20,010$$
 psi

 $T = 35,313.6 \text{ lb } \cdot \text{plg}$

$$M_f = 22,071 \text{ lb. plg}$$

De anexo B7 para ejes solidos de acero, para una chaveta perfilada, $K_f = 1.6$.

Según las condiciones se utiliza diseño de árboles de transmisión ANSI/ASME B106.1M

$$d = \sqrt[3]{(32FS/\pi) \sqrt{\left(\frac{K_f M}{S_e}\right)^2 + \frac{3}{4}\left(\frac{T}{Sy}\right)^2}}$$

$$d = \sqrt[3]{32(2)/\pi} \sqrt{\left(\frac{1.6 * 22,071}{20,010}\right)^2 + \frac{3}{4} \left(\frac{35,313}{99000}\right)^2}$$

 $d = 3.68 \, \text{plg}$

Conclusión de selección de eje

Se considera el criterio de ASME (d = 3.6 plg), encontrándose en el mercado eje de 4 plg Las características del eje son:

- Material: ACERO VCN (AISI 4340 H).
- Límite de Fluencia (Sy): 685 N/mm2
- Diámetro de eje: 4 plg
- Factor de Seguridad: 2
- Momento flector máximo: 22,071 lb. plg
- Torque aplicado: 35,313.6 lb plg
- Longitud de Eje: 20 plg

3.4.8 Selección de rodamientos para el eje diseñado.

Se tiene el tipo de rodamientos a utilizar, en base al diámetro y al tipo de aplicación, será un rodamiento de rodillos a rotula por amplio uso y aplicación absorbe en forma eficiente el desalineamiento.

Datos de entrada:

- Diámetro de Eje: 4 plg (100 mm)
- Carga Radial (Fr) = 2,207.1 lb, el valor más alto de las reacciones).
- Carga Axial (Fa) = 0
- RPM = 223 rpm.

Para eje de 4 plg (100 mm) tenemos manguito de fijación, para un diámetro "d" 100 mm y Rodamiento de rodillos a rotula

3.4.8.1 Vida útil de rodamiento

Según tabla 17, tenemos un valor de $L_h = 50~000~\mathrm{h}$ (máximo).

3.4.8.2 Carga Radial Equivalente P.

Como tenemos que la carga axial Fa = 0, reemplazando en la ecuación:

$$P = XFr + Y(0)$$

Luego la carga radial equivalente, P = X Fr.

Según Anexo D.6, para la condición Fa/Fr, donde 0/Fr=0<e, obtenemos un valor de X=1, por lo tanto, la carga radial equivalente P=2,207.1 lbf $(9,794\ N)$

$$P = XFr = (1) * 9,794 N$$

3.4.8.3 Capacidad carga dinámica "C" de rodamiento.

De la fórmula de vida de horas de funcionamiento a millones de revoluciones.

$$L = \left(\frac{C}{P}\right)^{p}$$

$$Lh = \frac{1000000}{60 * n} * \left(\frac{C}{P}\right)^{p}$$

$$L = Lh * n * \frac{60}{1000000} = 50000 * 223 * \frac{60}{1000000} = 670.1$$

L = 670.1 millones de revoluciones

con el valor del exponente p = 10/3 para rodamiento de rodillos,

$$C = P * (L)^{\frac{1}{p}} = 9,794 * (670.1)^{\frac{1}{\frac{10}{3}}} = 66,599.2 N$$

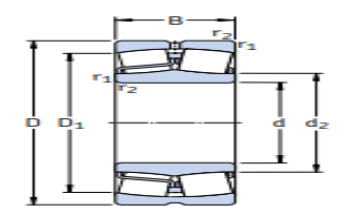
$C = 68, 6 \, kN$

3.4.8.4 Selección de Rodamiento

Con C = 68.6 kN como referencia y tabla tenemos el rodamiento 23022 CCK/W33.

Tabla 23Selección de rodamiento

Rodamientos de rodillos a rótula d **75 - 110** mm





	nsione ipales	s	Capacid carga b		Carga límite de fatiga		ades d Velocidad límite	Masa	Designaciones Rodamiento con aguiero	agujero
d	D	В	C	C ₀	P _u	rencia	unite		cilíndrico	cónico
mm			kN		kN	rpm		kg	-	
75	115	40	173	232	28,5	3 800	5 300	1,55	* 24015 CC/W33	* 24015 CCK30/W3
	130	31	212	240	26,5	4 800	6 300	1,70	* 22215 E	* 22215 EK
	160	37	285	325	34,5	4 000	5 600	3,75	* 21315 E	* 21315 EK
	160	55	440	475	48	3 200	4 300	5,55	* 22315 E	* 22315 EK
80	140	33	236	270	29	4 300	6 000	2,10	* 22216 E	* 22216 EK
	170	39	325	375	39	3 800	5 300	4,45	* 21316 E	* 21316 EK
	170	58	490	540	54	3 000	4 000	6,60	* 22316 E	* 22316 EK
85	150	36	285	325	34,5	4 000	5 600	2,65	* 22217 E	* 22217 EK
	180	41	325	375	39	3 800	5 300	5,20	* 21317 E	* 21317 EK
	180	60	550	620	61	2 800	3 800	7,65	* 22317 E	* 22317 EK
90	160	40	325	375	39	3 800	5 300	3,40	* 22218 E	* 22218 EK
	160	52,4	355	440	48	2 800	3 800	4,65	* 23218 CC/W33	* 23218 CCK/W33
	190	43	380	450	46,5	3 600	4 800	6,10	* 21318 E	* 21318 EK
	190	64	610	695	67	2 600	3 600	9,05	* 22318 E	* 22318 EK
95	170	43	380	450	46,5	3 600	4 800	4,15	* 22219 E	* 22219 EK
	200	45	425	490	49	3 400	4 500	7,05	* 21319 E	* 21319 EK
	200	67	670	765	73,5	2 600	3 400	10,5	* 22319 E	* 22319 EK
100	150	50	285	415	45,5	2 800	4 000	3,15	* 24020 CC/W33	* 24020 CCK30/W3
	165	52	365	490	53	3 000	4 000	4,55	* 23120 CC/W33	* 23120 CCK/W33
	165	65	455	640	68	2 400	3 200	5,65	* 24120 CC/W33	* 24120 CCK30/W3
	180	46	425	490	49	3 400	4 500	4,90	* 22220 E	* 22220 EK
	180	60,3	475	600	63	2 400	3 400	6,85	* 23220 CC/W33	* 23220 CCK/W33
	215	47	425	490	49	3 400	4 500	8,60	* 21320 E	* 21320 EK
	215	73	815	950	88	2 400	3 000	13,5	* 22320 E	* 22320 EK
110	170	45	310	440	46,5	3 400	4 300	3,80	* 23022 CC/W33	* 23022 CCK/W33

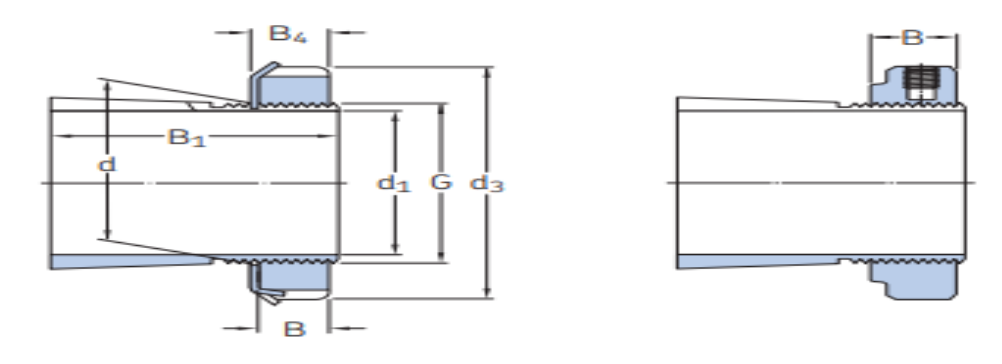
Nota: Catálogo Rodamientos SKF, (2020).

3.4.8.5 Selección de manguito de fijación

Tabla 24

Selección de manguito de fijación

Manguitos de fijación para ejes métricos d₁ 17 – 180 mm



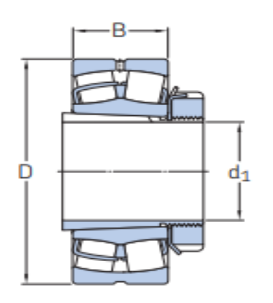
Dime	nsiones	princi	pales								Masa	Conjur		Productos i	incluidos	Tuerca
l ₁	d	d ₃	B ₁	В	B ₄	B ₅	G	G ₂	G_3	Α		mangi de fija		tuerca de fijación	dispositivo de fijación	hidráulica asociada
nm											kg	-				
10	110	145	63	19	21	_	M 110x2	_	_	_	1.8	► H 222	ŀ	(M 22	MB 22	HMV 22F
10	110 110	145 145	63 77	19 19	21 21	_	M 110x2 M 110x2	_	_	_	1.8 2,05	► H 222 ► H 322		(M 22 (M 22	MB 22 MB 22	HMV 22F HMV 22 E
100			63 77 77		21 21 -			_ _ _	<u>-</u>	_ _ _	- 1.1		ŀ			

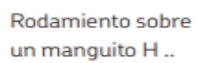
Nota: Catálogo Rodamientos SKF, (2020).

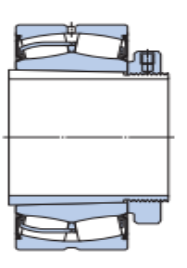
3.4.8.6 Montaje de rodamiento con manguito de fijación

Tabla 25Montaje de rodamiento con manguito de fijación

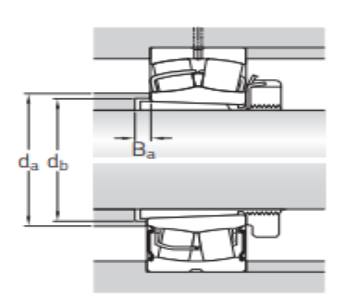
9.2 Rodamientos de rodillos a rótula sobre un manguito de fijación d₁ 20 – 100 mm







Rodamiento sellado sobre un manguito H .. E

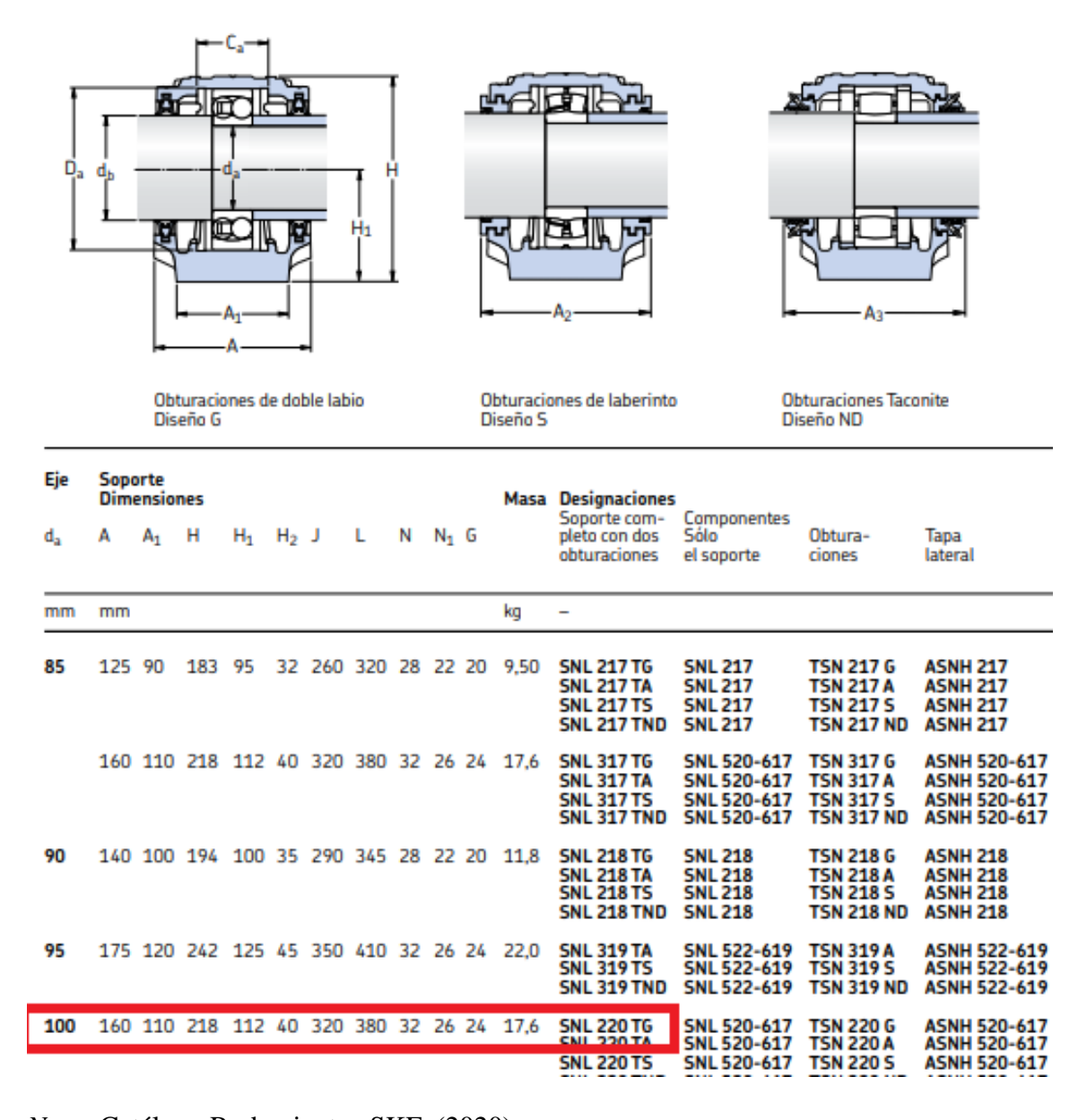


Dimensiones principales				ones de re de acuerd		Masa Rodamiento	Designaciones Rodamiento ¹⁾	Manguito ²)
d ₁	D	В	d _a máx.	d _b mín.	B _a min.	+ manguito		
mm			mm			kg	-	
90	165	52	115	107	6	6,15	► 23120 CCK/W33	H 3120
	180	46	118	108	8	6,4	► 22220 EK	H 320
	180	55	114	108	22,5	7,4	BS2-2220-2RS5K/VT143	H 2320 E
	180	60,3	117	110	19	8,75	► 23220 CCK/W33	H 2320
	215	47	118	108	7	10,5	21320 EK	H 320
	215	73	130	110	7	15	► 22320 EK	H 2320
100	170	45	125	118	14	5,75	► 23022 CCK/W33	H 322
	180	56	122	65	9	7,7	23122-2C55K/V1143	H 3122 E
	180	56	126	117	7	7,7	► 23122 CCK/W33	H 3122

Nota: Catálogo Rodamientos SKF, (2020).

3.4.8.7 Selección de soporte chumacera para rodamiento

Tabla 26Selección de soporte de chumacera



Nota: Catálogo Rodamientos SKF, (2020).

3.4.8.8 Resumen de selección de rodamientos

- Rodamientos: Rodillos a rotula 23022 CCK/W33.
- Carga dinámica = 310 kN.
- Manguito de Fijación = H 322
- Soporte o Chumacera: SNL 220 TG

3.5 Selección de acoplamientos.

Datos:

- Diámetro del eje del motor = dp = 73.025 mm
- Diámetro del eje del reductor = dm = 57.15 mm
- Diámetro del eje = $de = 101.6 \, mm$
- Velocidad del motor = 1780 *rpm*
- Potencia del motor = 125 HP = 93.2 KW
- Velocidad del reductor = 230 rpm
- Potencia del reductor = 120 HP = 89.5 KW
- Determinar par nominal y factores de servicio F_1 , F_2 y F_3 entre el motor y reductor.

$$T_n = \left(\frac{P_n}{n}\right) x9549 \ Nm$$

$$T_n = \left(\frac{93.2}{1180}\right) x9549 \ Nm$$

$$T_n = 0.77 \, KN$$

✓ Selección de factores de servicio:

$$F_1 = 2.5$$

$$F_2 = 1.3$$

$$F_3 = 1.25$$

✓ Determinar par máximo

$$T_m = T_n x (F_1 + F_2 + F_3)$$

$$T_m = 0.77x(2.5 + 1.3 + 1.25)$$

$$T_m = 3.89 \, KNm$$

Selección: Acoplamiento tipo PM 6

Cumple las condiciones:

$$T_{km} = 6 \, KNm$$

$$T_m < T_{km}$$

$$3.89 < 6 \, KNm$$

n < Velocidad máxima del acoplamiento

$$1150 < 4480 \ rpm$$

Determinar par nominal y los factores de servicio F_1 , F_2 y F_3 entre reductor y eje motriz.

$$T_n = \left(\frac{P_n}{n}\right) x9549 \ Nm$$

$$T_n = \left(\frac{89.5}{230}\right) x9549 Nm$$

$$T_n = 3.7 KN$$

factores de servicio:

$$F_1 = 2.5$$

 $F_2 = 1.3$
 $F_3 = 1.25$

Determinar par máximo

$$T_m = T_n x (F_1 + F_2 + F_3)$$

$$T_m = 3.7x (2.5 + 1.3 + 1.25)$$

$$T_m = 18.7 KNm$$

Selección: Acoplamiento tipo PM 27

Cumple las condiciones:

$$T_{km} = 27 \text{ KNm}$$

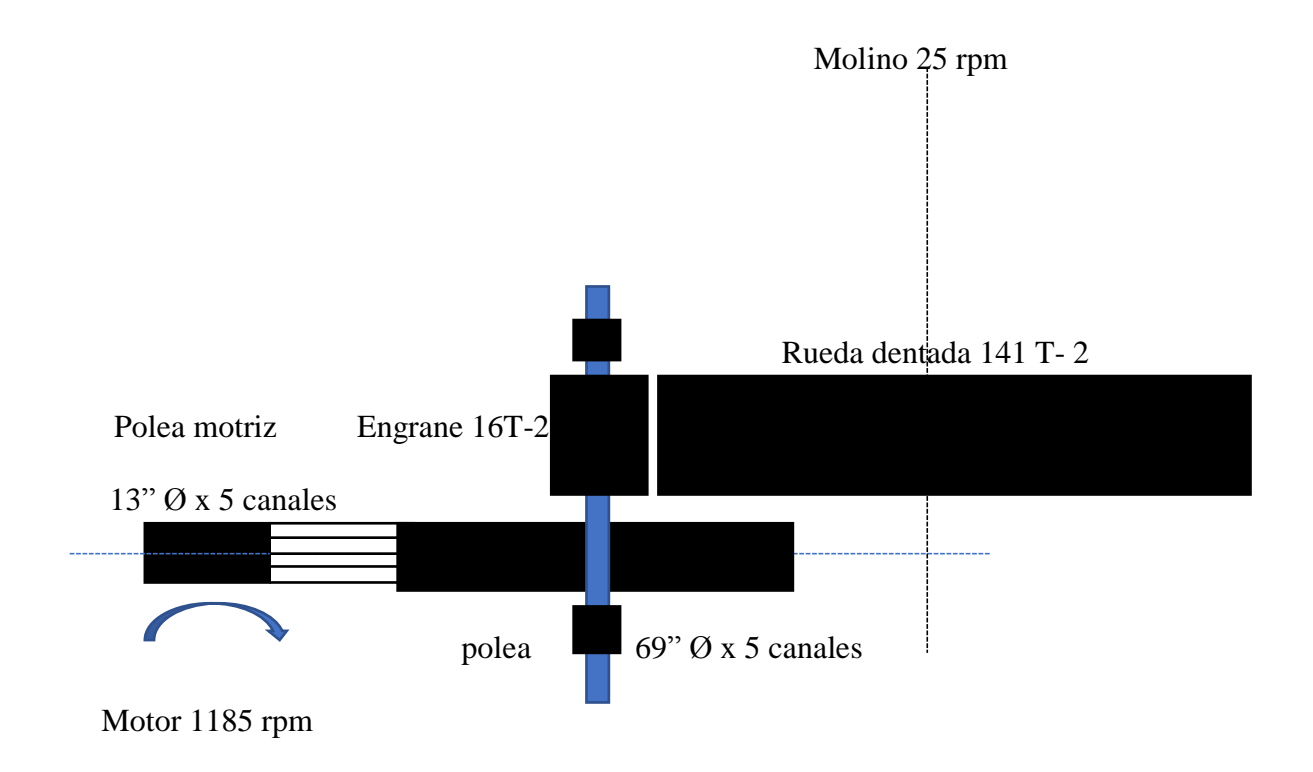
$$T_m < T_{km}$$

$$18.7 < 27 \text{ KNm}$$

n < Velocidad máxima del acoplamiento

$$230 < 2650 \ rpm$$
 $dmin < dm < dmax$
 $57.15 < 143$
 $dmin < de < dmax$
 $92 < 105 < 143$
 $16.37 \ mm \le S \le 21.83 \ mm$

3.6 Cálculo de Sistema de Transmisión por Fajas.



3.6.1 Cálculo de potencia transmitida

La potencia desarrollada por el motor (P) es punto de partida, pero a este valor se afecta por un coeficiente corrector en función de diversos factores:

• Maquina conductora:

✓ Motor eléctrico; 125 HP y velocidad 1185 rpm.

• Maquina conducida:

✓ Molino de bolas, velocidad 25 RPM

✓ Capacidad: 5 t/h

✓ Mineral a procesar: oro

✓ Horas de servicio: 10 h

❖ Potencia corregida (Pc); potencia transmitida utilizada en el diseño:

$$Pc = P \, \cdot \, K$$

$$Pc = 125 (1.3) = 162 HP (120 KW)$$

donde

Pc: Potencia corregida;

P: Potencia transmitida del motor conductor;

K: 1.3 (tabla 10, pg. 29)

Selección del tipo de correa

Con Pc = 175 HP y velocidad de 1185 seleccionamos el tipo de faja:

Tipo de faja "D" (fig. 13, pg. 30)

Relación de transmisión de potencia (R)

se calcula de acuerdo a la siguiente expresión:

$$R = \frac{N}{n} = \frac{1185}{223} = 5.31$$

❖ Diámetros de poleas

Consideramos de tabla 9, pg. 27 para un tipo de faja D se recomienda una polea de:

$$d=13 plg$$

$$d = R \cdot D$$
 $D = 13(5.3) = 69 \text{ plg}$

❖ Distancia entre ejes

$$E \ge \frac{(5.31+1).13}{2} + 13$$

$$E = 41 plg(1,041 \text{ mm})$$

❖ Longitud de la correa.

$$L_P = 2(25) + \frac{\pi}{2}(13 + 69) + \frac{(69 - 13)^2}{4(25)}$$

$$L_P = 210 \ plg(5,334 \ mm)$$

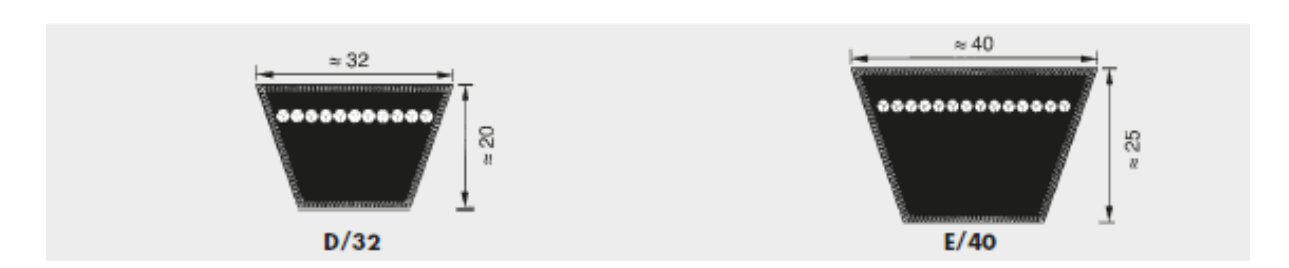
De tabla 27, se selecciona correa de perfil "D" con longitud nominal 5,375 mm (D 208)

Tabla 27

Selección de longitud de faja

DIN 2215/ISO 4184





	Perfil D/32			Perfil E/40	
N" correa	Desarrollo de referencia ISO L _d (mm)	Desarrollo interior L _l	N° correa	Desarrollo de referencia ISO L _d (mm)	Desarrollo interior L _i
D 79 D 98 D 104 D 110 D 118 D 120 D 124 D 128 D 135 D 136 D 140 D 144 D 148 D 154 D 158 D 167 D 167 D 173 D 177 D 180 D 187 D 195 D 197 D 208 D 210 D 220	2075 2575 2775 2875 3075 3123 3225 3326 3425 3500 3529 3625 3733 3825 4000 4075 4190 4325 4469 4575 4647 4825 5028 5075 5375 5409 5675	2000 2500 2650 2800 3000 3048 3150 3251 3350 3425 3454 3550 3658 3750 3925 4000 4115 4250 4394 4500 4572 4750 4953 5000 5334 5600	E 118 E 158 E 197 E 220 E 236 E 248 E 280 E 295 E 315 E 354 E 394 E 441 E 492	3080 4080 5080 5680 6080 6380 7180 7580 8080 9080 10080 11280 12580	3000 4000 5000 5600 6000 6300 7100 7500 8000 9000 10000 11200 12500

Nota. Catalogo de fajas Optibelt (2017)

❖ Factor de corrección del largo de la correa (Fcl)

Se accede a tabla que proporciona el factor de corrección por longitud (F_{cl}) .

Para la longitud seleccionada resulta $F_{cl} = 0.96$

Tabla 28Selección de factor de corrección de longitud de faja.

	Perfil	D/32		Perfil	E/40
3225 3425 3625 3825 4075 4325 4575 4825 5075 5075 6075 6075 6775 7175	0,86 0,87 0,88 0,89 0,91 0,92 0,93 0,94 0,95 0,96 0,98 0,99 1,00 1,01 1,03	10075 10675 11275 11875 12575 13275 14075 15075 16075	1,10 1,11 1,13 1,14 1,15 1,16 1,18 1,19 1,21	4830 5080 5380 5680 6080 6380 6780 7180 7580 8080 8580 9080 9580 10080 10680	0,92 0,93 0,94 0,95 0,96 0,97 0,99 1,00 1,01 1,03 1,04 1,05 1,06 1,07

Nota. Catalogo de fajas Optibelt (2017)

❖ Arco de contacto (A)

$$A = 180 - 57 \frac{(69 - 13)}{41}$$
$$A = 103^{\circ}$$

❖ Factor de corrección del arco de contacto (FcA)

Se accede a la tabla que proporciona el factor de corrección del arco de contacto (F_{cA}). para el arco de contacto sobre la polea menor de 103° resulta $F_{cA}=0.91$.

Tabla 29Selección de corrección de arco de contacto

Tabla

ddg - ddk anom	$\beta \approx$	c ₁
0 0,05 0,10 0,15 0,20 0,25 0,30 0,35 0,40 0,45	180° 177° 174° 171° 168° 165° 160° 156° 156°	1,00 1,00 1,00 1,00 0,99 0,99 0,99 0,99
0,50 0,55 0,60 0,65 0,70	150° 147° 144° 141° 139°	0,98 0,98 0,98 0,97 0,97
0,75 0,80 0,85 0,90 0,95	136° 133° 130° 126° 123°	0,97 0,96 0,96 0,96 0,95
1,00 1,05 1,10 1,15 1,20	119° 115° 112° 109° 106°	0,94 0,94 0,93 0,93 0,92
1,25 1,30	103°	0,91 0,91
1,35	96°	0,90

Nota. Catalogo de fajas Optibelt (2017), p. 68

❖ Velocidad lineal de la correa

$$V_t = \frac{\pi. (330.4 \text{ mm}). (1185 \text{ rpm})}{60x \ 1000}$$

$$V_t = 20. \text{m/s}$$

El valor obtenido para la velocidad lineal es menor de 30 m/s.

Prestación base de la correa

Según tabla 30, para acceder a la información de la potencia base de la correa, habrá que entrar la velocidad de 1185 rpm y diámetro de la polea menor: 13 plg (330.4 mm).

Tabla 30Selección de prestación base de faja

S	(s)	nį				0	iámetro	de refere	encia de	la polea	pequeña	d _{dk} (mm	1)				Increme (kW	nto por	orrea p	ara
Poleas	(s/m) ^	(min ⁻¹)	315	355	375	400	425	450	500	560	630	670	710	750	800	900	1.01	1.06 hasta 1.26	1.27 : hasta 1.57	> 1.57
	(§)	700 950 1450	15.30 18.50 21.43	19.17 23.20 26.56	21.05 25.45 28.81	23.36 28.15 31.31	25.62 30.75 33.45	27.82 33.23 35.22	32.05 37.80	36.82 42.59	41.91 47.12	44.59	47.08	49.38	51.98	56.17	0.23 0.31 0.47	1.14 1.54 2.36	1.82 2.47 3.77	2.05 2.78 4.24
		20 40	0.80 1.46 2.08 2.66	0.96	1.04 1.93 2.75 3.54	1.14 2.12 3.03 3.90	1.24 2.31 3.31 4.26	1.34 2.50 3.58 4.61	1.54 2.87 4.13	1.78 3.32 4.77 6.17	2.05 3.84 5.52 7.14	2.21 4.13 5.95 7.69	2.36 4.42 6.37	2.51 4.71 6.79	2.71 5.07 7.31	3.08 5.79 8.34 10.80	0.01	0.03	0.05	0.06 0.12
		60 80 100 120	3.22	2.53 3.25 3.94 4.61	3.54 4.29 5.03	4.74 5.55	4.26 5.18 6.07	5.61	4.13 5.32 6.48 7.61	6.17 7.51 8.82	8.70	7.69 9.38 11.02	6.37 8.24 10.05	6.79 8.78 10.71 12.59	11.54	10.80 13.18 15.49	0.02 0.03 0.03 0.04	0.10 0.13 0.16 0.19	0.16 0.21 0.26 0.31	0.18 0.23 0.29 0.35
		140 160 180	4.28 4.79 5.29 5.77	5.26 5.89 6.51 7.11	5.74 6.43 7.11	6.34 7.11 7.87	6.94 7.78 8.61	6.58 7.53 8.45 9.36	8.71 9.78 10.83	10.10 11.35 12.57	10.23 11.71 13.16 14.58	12.62 14.19 15.72	13.52 15.20 16.84	14.42 16.21 17.96	13.56 15.53 17.46 19.34	17.73 19.93 22.06	0.05 0.05 0.06	0.23 0.26 0.29	0.36 0.42 0.47	0.41 0.47 0.53
		200 220 240	6.24	7.71 8.29	7.78 8.43 9.07	9.33 10.04	9.43 10.22 11.01	10.24 11.11 11.97	11.86 12.87 13.86	13.77 14.95 16.10	15.97 17.34 18.68	17.22 18.69 20.12	18.45 20.02 21.56	19.67 21.34 22.98	21.18 22.97 24.73	24.15 26.18 28.16	0.06 0.07 0.08	0.32 0.36 0.39	0.52 0.57 0.62	0.58 0.64 0.70
		260 280 300	6.70 7.16 7.60 8.04	8.86 9.42 9.97	9.70 10.31 10.92	10.74 11.43 12.10	11.78 12.53 13.27	12.80 13.63 14.44	14.84 15.79 16.73	17.24 18.35 19.44	19.99 21.27 22.53	21.53 22.91 24.27	20.02 21.56 23.06 24.54 25.98	24.58 26.14 27.67	26.44 28.11 29.74	30.09 31.96 33.78	0.08 0.09 0.10	0.42 0.45 0.49	0.68 0.73 0.78	0.76 0.82 0.88
		320 340 360 380	8.47 8.89 9.30 9.71	10.51 11.04 11.56 12.07	11.51 12.10 12.68 13.24	12.77 13.42 14.06 14.69	14.00 14.72 15.43 16.12	15.23 16.01 16.78 17.54	17.66 18.56 19.46 20.33	20.51 21.56 22.59 23.60	23.77 24.97 26.16 27.31	25.59 26.88 28.15 29.38	27.39 28.76 30.10 31.41	29.16 30.61 32.02 33.40	31.33 32.87 34.37 35.83	35.55 37.26 38.90 40.49	0.10 0.11 0.12 0.12	0.52 0.55 0.58 0.62	0.83 0.88 0.94 0.99	0.94 0.99 1.05 1.11
		400 420	10.11	12.58 13.08	13.80 14.35	15.31	16.80	18.28 19.01	21.19 22.03 22.86 23.67	24.59 25.56	28.44 29.55 30.62	30.59	32.68 33.92 35.12 36.29	34.74	37.24 38.60	42.02 43.48	0.13	0.65 0.68 0.71 0.75	1.04	1.17 1.23 1.29 1.34
	10	440 460 480 500	10.88 11.26 11.63 12.00	13.56 14.04 14.52 14.98	14.89 15.41 15.93 16.45	16.52 17.11 17.69 18.25	18.13 18.78 19.42 20.04	19.73 20.43 21.12 21.80	23.67 24.46 25.24	26.51 27.44 28.34 29.23	31.67 32.69 33.69	32.90 34.01 35.09 36.13	36.29 37.41 38.50	37.29 38.50 39.67 40.80	39.91 41.18 42.39 43.55	44.88 46.21 47.47 48.66	0.14 0.15 0.16 0.16	0.75 0.78 0.81	1.14 1.20 1.25 1.30	1.34 1.40 1.46
		520 540 560	12.36 12.71 13.06	15.44 15.88 16.32	16.95 17.44 17.92	18.81 19.36 19.90	20.65 21.25 21.84	22.46 23.11 23.75	26.00 26.74 27.47	30.09 30.93 31.75	34.65 35.58 36.49	37.14 38.12 39.06	39.55 40.56 41.53	41.88 42.91 43.90	44.66 45.71 46.71	49.78 50.82 51.78	0.17 0.18 0.18	0.84 0.88 0.91	1.35 1.40 1.46	1.52 1.58 1.64
Φ		580 600 620	13.40 13.73 14.06	16.75 17.18 17.59	18.40 18.86	20.42 20.94 21.45	22.42 22.98 23.53	24.37 24.98 25.58	28.18 28.87 29.54	32.55 33.32 34.07	37.36 38.20 39.01	39.96 40.83 41.66	42.46 43.34 44.18	44.84 45.73 46.56	47.64 48.52 49.34	52.67 53.47 54.19	0.19 0.19 0.20	0.94 0.97 1.01	1.51 1.56 1.61	1.69 1.75 1.81
estáticamente	15	640 660 680	14.38 14.69 15.00	18.00 18.40 18.79	19.32 19.77 20.20 20.63	21.94 22.43 22.90	24.07 24.60 25.11	26.16 26.73 27.28	30.20 30.83 31.45	34.79 35.49 36.17	39.79 40.53 41.24	42.45 43.20 43.92	44.98 45.72 46.43	47.35 48.08 48.76	50.10 50.79 51.42	54.82 55.36 55.81	0.21 0.21 0.22	1.04 1.07 1.10	1.66 1.72 1.77	1.87 1.93 1.99
as estát		700 720 740	15.30 15.59 15.88	19.17 19.54 19.90	21.05 21.46 21.86 22.25	23.36 23.81 24.25	25.62 26.11 26.58	27.82 28.34 28.85	32.05 32.63 33.19	36.82 37.44 38.04	41.91 42.55 43.16	44.59 45.22 45.80 46.35	47.08 47.68 48.24 48.74	49.38 49.95 50.45	51.98 52.47 52.89	56.17 56.44 56.61	0.23 0.23 0.24	1.14 1.17 1.20	1.82 1.87 1.92	2.05 2.10 2.16
Equilibradas		760 780 800	16.16 16.44 16.71	20.26 20.61 20.95	22.63 23.00	24.68 25.10 25.50	26.11 26.58 27.04 27.49 27.93	29.34 29.82 30.28	33.73 34.25 34.75	38.61 39.15 39.66	43.72 44.25 44.74	46.35 46.84 47.30	49.19 49.59	50.90 51.29 51.61	53.24 53.52 53.73	56.67 56.64 56.50	0.25 0.25 0.26	1.17 1.20 1.23 1.27 1.30	1.98 2.03 2.08	2.22 2.28 2.34
		820 840 860	16.97 17.22 17.47	21.28 21.60 21.91	23.36 23.71 24.05	25.90 26.28 26.65	28.35 28.76 29.16	30.73 31.16 31.57	35.23 35.68 36.12	40.15 40.61 41.04	45.19 45.60 45.97	47.70 48.06 48.38	49.94 50.22 50.46	51.87 52.07 52.20			0.27 0.27 0.28	1.33 1.36 1.40	2.13 2.18 2.24	2.40 2.45 2.51
		980 900 920 940	17.71 17.95 18.18 18.40	22.21 22.51 22.79 23.07	24.38 24.70 25.00 25.30	27.00 27.35 27.68 28.00	29.54 29.90 30.25 30.59	31.97 32.35 32.71 33.06	36.53 36.92 37.29 37.64	41.44 41.81 42.14 42.45	46.30 46.59 46.84 47.04	48.64 48.85 49.01	50.63 50.74	52.26 52.25			0.29 0.29 0.30 0.31	1.43 1.46 1.49	2.24 2.29 2.34 2.39	2.57 2.63 2.69 2.75
		940 960 980 1000	18.40 18.61 18.82 19.02	23.07 23.33 23.59 23.83	25.30 25.59 25.86 26.13	28.00 28.31 28.60 28.88	30.59 30.91 31.21 31.50	33.06 33.39 33.70 33.99	37.64 37.96 38.26 38.53	42.45 42.72 42.97 43.18	47.04 47.19 47.31 47.37	49.12 49.18 49.18 49.13					0.31 0.31 0.32 0.32	1.49 1.53 1.56 1.59 1.62	2.39 2.44 2.50 2.55 2.60	2.75 2.81 2.86 2.92
		1020 1040	19.21 19.39	24.07 24.30	26.38	29.15 29.40	31.78 32.04	34.26 34.52	38.78 39.01	43.35 43.49	47.39 47.36	49.13					0.33 0.34	1.66	2.65 2.70 2.76 2.81 2.86	2.98 3.04 3.10
		1060 1080 1100	19.57 19.74 19.90	24.51 24.72 24.92	26.85 27.07 27.27	29.64 29.87 30.08	32.28 32.50 32.71	34.76 34.97 35.17	39.21 39.38 39.53	43.60 43.67 43.71	47.29 47.16 46.99						0.34 0.35 0.36	1.72 1.75 1.79	2.81	3.16 3.21
		1120 1140 1140 1180	20.06 20.20 20.24 20.47	25.10 25.28 25.44 25.59	27.47 27.65 27.92 27.98	30.28 30.46 20.42 30.78	32.91 33.08 33.38	35.35 35.51 35.77	39.66 39.75 39.86	43.71 43.67 43.40 43.49							0.36 0.37 0.38	1.82 1.85 1.92	2.91 2.96 3.02 3.07	3.27 3.33 2.20 3.45
	20	1220	20.47	25.87	28.25	31.04	33.61	35.94 35.94	39.86	43.34							0.39	1.93	3.17	3.56

Nota. Catalogo de fajas Optibelt (2017)

 $P_b = 29$ KW, resultante de sumarle a la prestación base de la correa de perfil "D" (25.6 KW) la prestación adicional por relación de transmisión (3.45 KW)

\diamond Potencia efectiva por correa (P_e)

La potencia efectiva por correa (P_e) se calcula a partir de la potencia base (P_b) afectada de los coeficientes correctores por longitud de correa (F_{cl}) y por arco de contacto (F_{cA}). De esta forma la expresión que proporciona la potencia efectiva es la siguiente:

$$P_e = P_b * F_{cl} * F_{cA}$$

$$P_e = 29 *0.96 * 0.91 = 10.66 = 26 \text{ KW}$$

Cálculo del número de correas

El cálculo del número de correas necesaria para mover la transmisión es inmediato y resulta de dividir la potencia corregida (Pc) que constituye el total de la potencia a transmitir, entre la potencia efectiva (Pe) por correa. Es decir, que:

$$N^{\mathbf{0}}$$
 correas = $\frac{P_C}{P_e} = \frac{120 \text{ KW}}{26} = 4.6 \text{ fajas} = 5 \text{ Fajas}$

3.6.1.1 Resumen de Selección de fajas V de transmisión

Como resultado tenemos:

- Tipo de faja: D 208
- N° de fajas = 5
- Diámetro de polea motriz: 13" Ø x 5 canales
- Diámetro de polea conductora: 69" Ø x 5 canales.
- Material de poleas: Hierro fundido

IV. RESULTADOS Y DISCUSIONES

Resultados

- a) Los parámetros de operación más importantes para determinar la capacidad efectiva de un molino de bolas, siendo la velocidad de rotación de 23 rpm, que puede variar según las condiciones del producto a procesar, la potencia en función de la carga 125 HP – 1780 rpm con características de 4 polos, 60 Hz, protección: IP 55, para proteger al motor.
- b) Según los resultados obtenidos de los componentes principales de accionamiento del molino de bolas, obtenemos sus capacidades de los componentes principales de accionamiento del molino:
- ✓ El motor eléctrico debe estar protegido con un grado de protección IPP 55 a fin de garantizar la producción ante una eventualidad de lluvia por ser el centro molienda un sistema abierto
- ✓ El sistema de poleas fajas por el sistema de reductor tiene más solidez para los mantenimientos que se realizan en plena producción a fin de no tener mucho tiempo muertos que afectan la producción, este sistema de reductor de engranajes tiene los costos de los repuestos elevados como rodajes, engranajes helicoidales y aceite para el Carter, la velocidad critica del molino 33 rpm, siendo una velocidad que puede ser variable de acuerdo a las características de la producción.
- ✓ También se tiene en cuenta los rodamientos en los ajustes de las chumaceras para tener un correcto alineamiento a fin de no tener vibraciones en el sistema de transmisión esto genera una estabilidad económica para la empresa.

- ✓ El sistema de engranajes de dientes rectos debe ser de un material ASTM -50 y debe estar correctamente alineados y lubricados para mover el tambor del molino para una velocidad critica de 33 rpm, esto genera estabilidad en el ambiente de trabajo y no tener paradas imprevistas ante que puedan afectar la producción.
- c) Para un análisis técnico y económico del rediseño del sistema de transmisión de un molino de bolas, se analiza según:
- ✓ Para un diseño de un sistema de transmisión con reductor de velocidad implica mayor inversión económica, tanto técnicamente como operacional, lo cual se debe tener mayor control en cuanto al mantenimiento del reductor siento alto el costo de mantenimiento, como alineamiento, desmontaje y montaje de dicho sistema
- ✓ Para un diseño de un sistema poleas fajas implica partir todo el sistema de transmisión en dos etapas, con el fin de reducir la velocidad de entrada a una velocidad adecuada para el nuevo sistema de transmisión, pero el costo de equipos y mantenimiento resulta mejor ahorro de economía en cuanto al mantenimiento en general.

V. CONCLUSIONES

- a. Se determinó los parámetros de operación más importantes para determinar la capacidad efectiva de un molino de bolas de 5 t/h.
 - Potencia del motor: 125 HP 4 polos, 60 Hz

Velocidad: 1780 rpm

Protección: IP 55

Marca WEG

- Velocidad del molino: 25 RPM
- b. Se determinó y diseño los componentes mecánicos principales, auxiliares y de accionamiento de un molino de bolas.

• Seleccionó un reductor:

Marca: Reductor Paramax

Modelo: P - H - D - 9085 - P - 2 - LR - 8

Relación reducción 8/1

Selección de eje o flecha:

Material: ACERO VCN (Bonificado Para alta Torsión) (AISI 4340 H).

Límite de Fluencia (Sy): 685 N/mm2

Diámetro de eje: 4 plg

Selección de Rodamientos:

Rodamientos: Rodillos a rotula 23022 CCK/W33 - SKF

• Selección de engranajes

Piñón:

Número de dientes: 16

Paso diametral: 2 dientes/pulgada

Ancho de cara: 5 plg

Material: Acero ASTM-35

Engranaje recto (rueda dentada)

Número de dientes: 141

Paso diametral: 2 dientes/pulgada

Ancho de cara: 5 plg

Material: Acero ASTM-50

• Selección de Eje o flecha:

Material: ACERO VCN (Bonificado Para alta Torsión) (AISI 4340 H).

Límite de Fluencia (Sy): 685 N/mm2

Diámetro de eje: 4 plg

Largo: 22 pulgadas

• Selección de Rodamientos:

Marca: SKF

Rodamientos: Rodillos a rotula 23022 CCK/W33.

Carga dinámica = 310 kN.

Manguito de Fijación = H 322

Soporte o Chumacera: SNL 220 TG

Acoplamiento Motor-Reductor:

Marca RENOLD

Tipo: PM6

Acoplamiento Reductor-Eje:

Marca: RENOLD

Tipo: PM21

Selección poleas - fajas

- Tipo de faja: D 208
- N° de fajas = 5
- Diámetro de polea motriz: 13" Ø x 5 canales
- Diámetro de polea conductora: 69" Ø x 5 canales.
- Material de poleas: Hierro fundido
- c. Análisis técnico y económico del rediseño del sistema de transmisión de un molino de bolas.

ANÁLISIS 1: Sistema transmisión con reductor de velocidad

ELEMENTOS MECANICOS	Costo (S/.)
Motor eléctrico de 125 HP -1780 rpm	57,000
Acople de dientes GEAREX - PM6	1200
Reductor Paramax	72,000
Modelo: P – H - D - 9085 - P - 2 - LR – 8	
Acople de dientes GEAREX - PM7	1200
Eje acero VCN (AISI 4340 H) 4" Ø x 22"	790
Chumaceras de pie completas c/rodamientos	1,640
Engranaje recto (piñón) 16 T - 2	4,800
Engranaje recto (rueda dentada) 141 T -2	24,600
Costo total	S/. 163, 230

ANÁLISIS 2: Sistema de transmisión con poleas y fajas

ELEMENTOS MECANICOS	Costo (S/.)	
Motor eléctrico de 125 HP -1780 rpm	57,000	
Polea hierro fundido motriz 13" Ø x 5 canales	420	
Polea conducida 48" Ø x 9 canales	3,360	
Eje ACERO VCN (Bonificado AISI 4340 H)	790	
Acople de dientes GEAREX - PM7	1,200	
Chumaceras de pie completas c/rodamientos	1,600	
Engranaje recto (piñón) 16 T - 2	1,800	
Engranaje recto (rueda dentada) 141 T -2	14,600	
Costo total	S/.79,610	

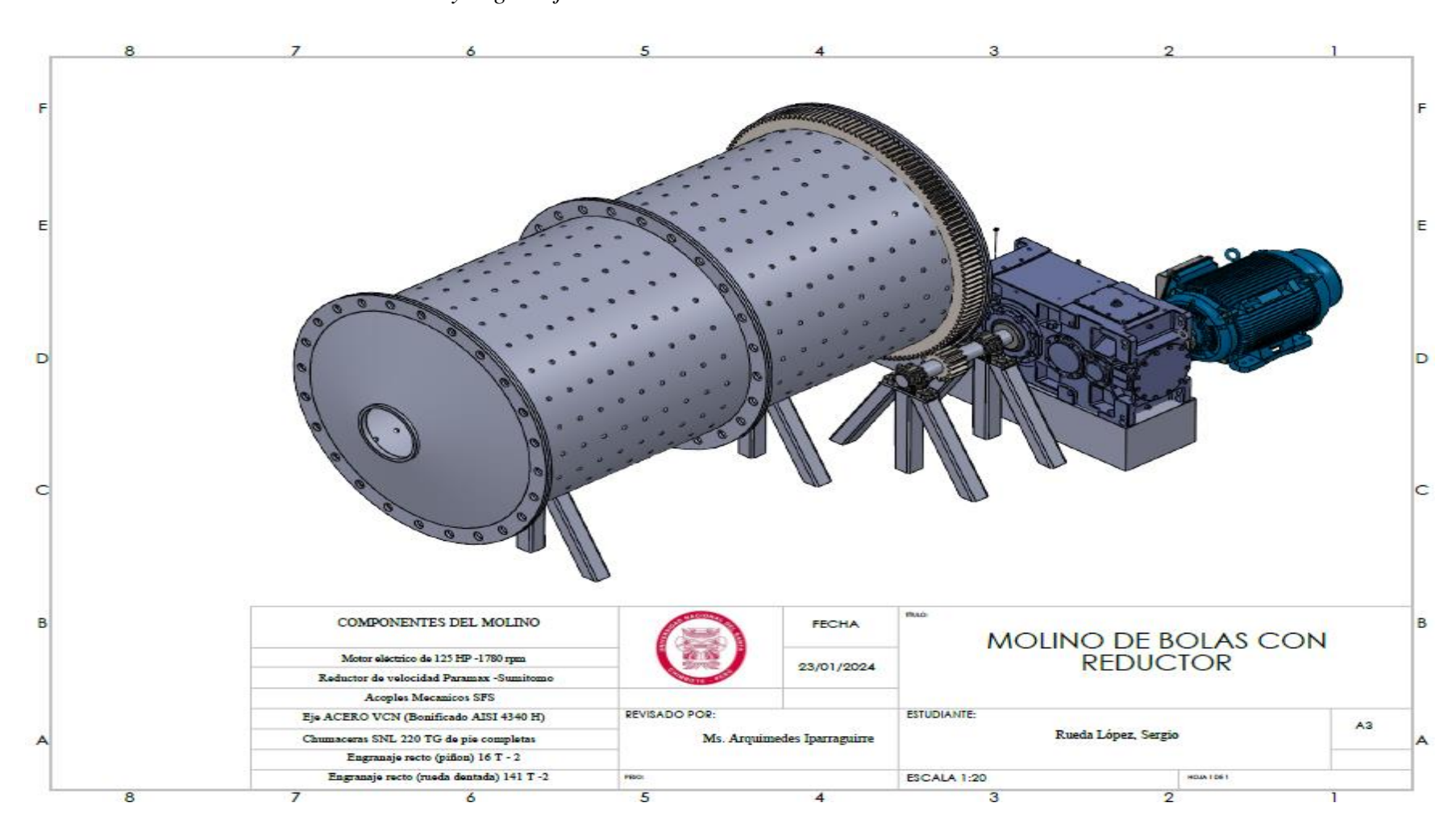
Se concluye según los análisis 1 y 2 que la alternativa 2 tiene mayor aceptación tanto técnicamente como económicamente, por lo sgte:

- Análisis 1: El mantenimiento del reductor es costoso en cuanto a los repuestos,
 aceite lubricante, el montaje y alineamiento
- Análisis 2: los costos de poleas tanto en material y montaje son más versátiles y están más disponibles ante una falla en operación.

DISEÑO DEL MOLINO DE BOLAS HORIZONTAL EN SOLIDWORKS

Figura 19

Molino de bolas con sistema de reductor y engranaje



Nota. propio

Figura 20 *Molino de bolas con sistema de poleas y engranaje*

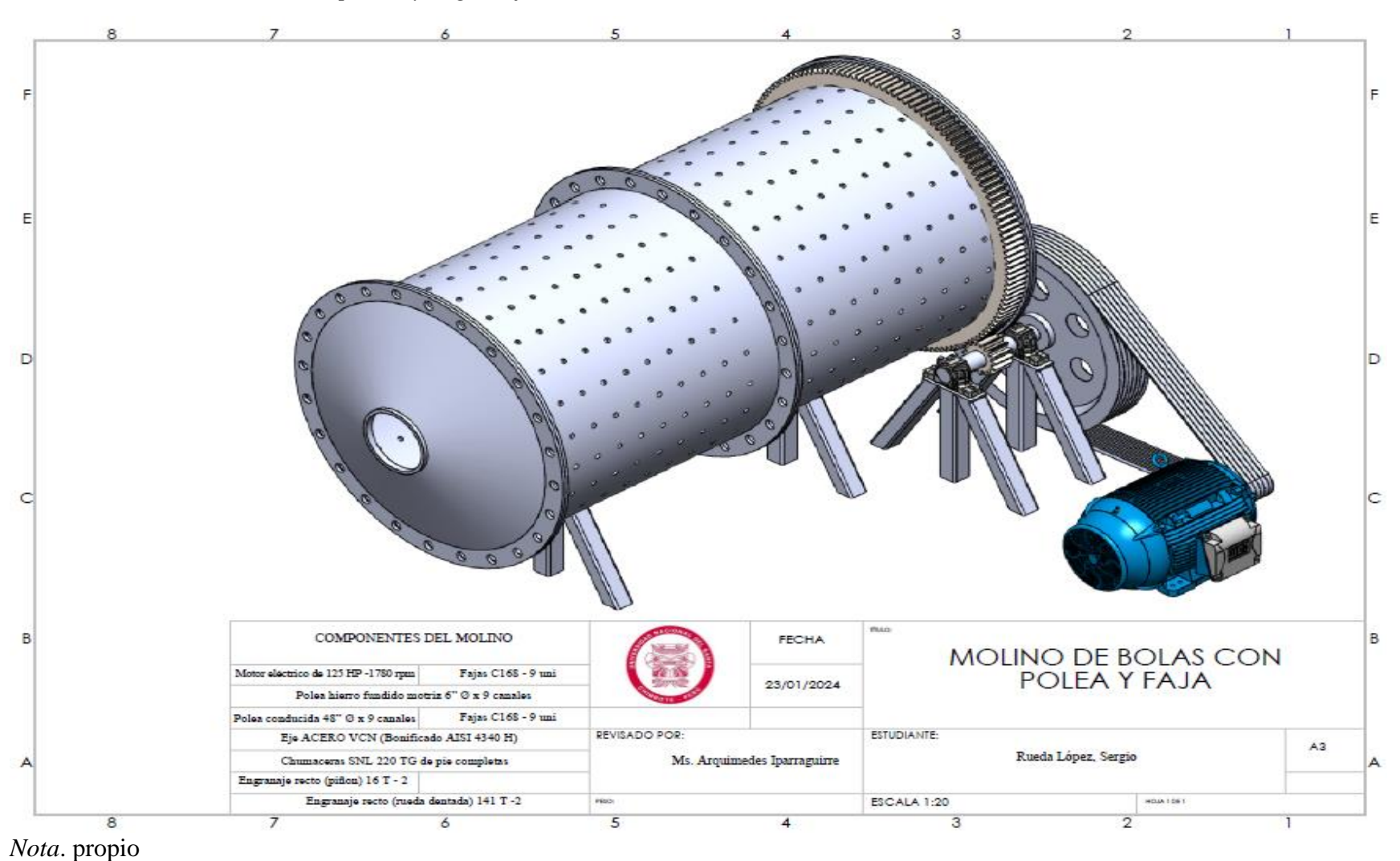
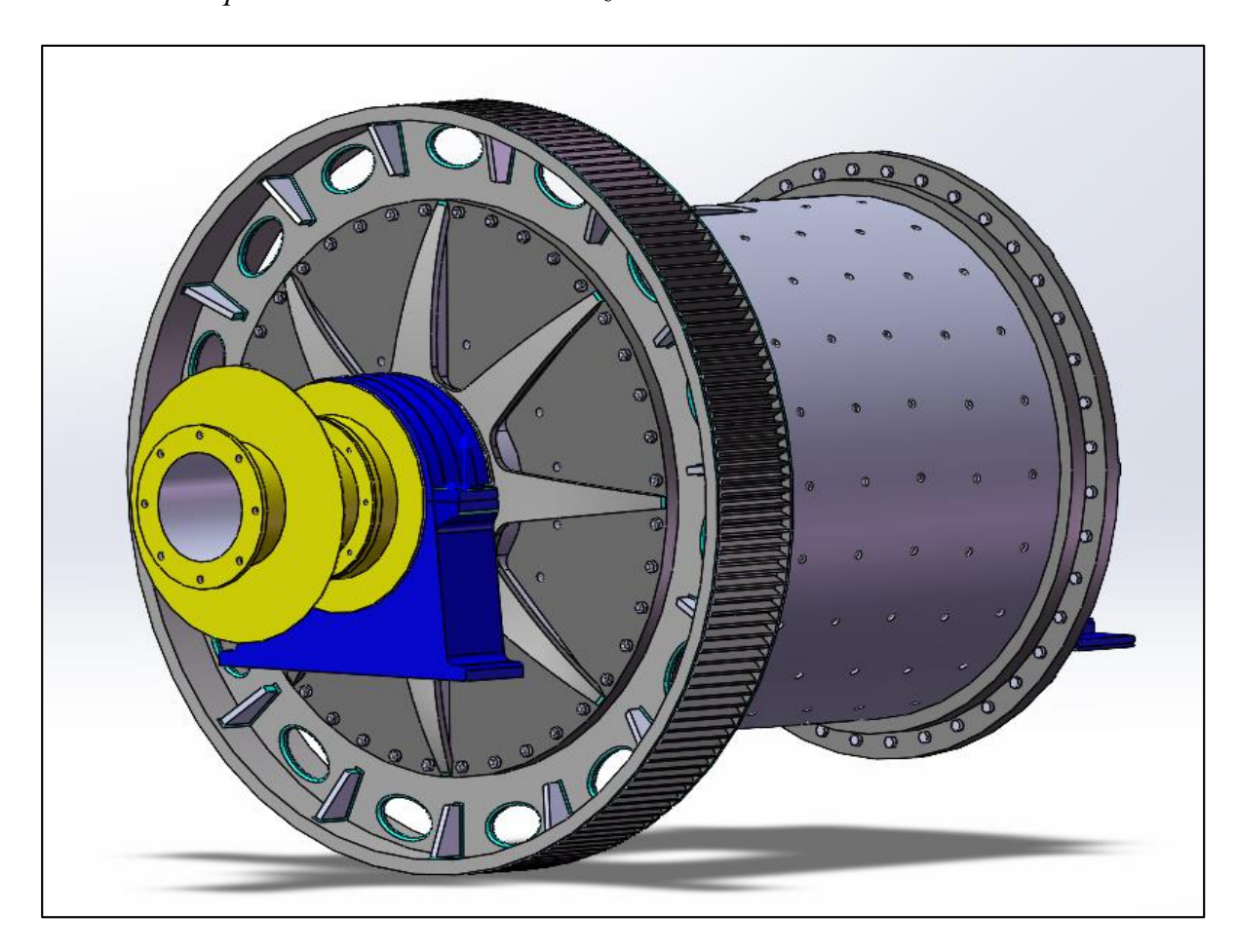


Figura 21Modelo de máquina de molino de bolas realizado en SolidWorks



Nota. propio

VI. REFERENCIAS

- 911Metallurgist. (s.f.). https://www.911metallurgist.com/metallurgia/molino-de-bolas.
- Arias Garcés, L. A., & Villacrés Ibarra, J. A. (2020). Reingeniería en el diseño e implementación de un molino tipo bola para una Industria minera ubicada en Naranjal. Universidad Politécnica Salesiana. Ecuador: Repositorio Universidad Politécnica Salesiana. Obtenido de https://dspace.ups.edu.ec/handle/123456789/19335
- Barmex. (s.f.). https://e-barmex.com.mx/catalogos/bandas-y-poleas-de-transmision-de-poleas/martin-sprocket/engranes.pdf.
- Barros Campos, C. M. (2020). Evaluación económica del repotenciamiento de molinos de bolas línea 3, planta concentradora Compañía Minera Doña Inés de Collahuasi. Repositorio academico de universidad de Chile, Chile. Obtenido de URI: https://repositorio.uchile.cl/handle/2250/175234
- Bohler. (2020). *Aceros Especiales*. Obtenido de https://www.acerosbohler.com/app/uploads/sites/101/2020/05/B%C3%B6hler-mecanizado-fino.pdf
- Budynas, R., & Nisbett, J. (2008). *Diseño de Maquinas de Shigley* (Novena Edicion ed.).

 Mexico: McGraw-Hill Educacion.
- Cajas Pérez, S. I. (2024). Diseño de un molino de bolas con la finalidad de realizar pruebas de molienda del material mineralizado proveniente de la región sur del Ecuador.

 Universidad Nacional de Loja. Loja Ecuador: repositorio de Universidad Nacional de Loja. Obtenido de https://dspace.unl.edu.ec/jspui/handle/123456789/30097
- Carbajal Veli, P. A. (2024). Análisis de los modos de falla de difícil de detección causados por la afectación de las vibraciones en el molino de la cía, minera Nexa Resources Atacocha

- S.A. A. en el año 2023. Universidad Continental, Ingenieria. Huancayo: Repositorio Institucional Continental. Obtenido de https://repositorio.continental.edu.pe/bitstream/20.500.12394/15446/1/IV_FIN_109_TE_Carbajal_Veli_2024.pdf
- Carlos Eduardo , O. R. (2020). *Molienda de bolas en húmedo y en seco con eje excentrico externo*. Universidad Nacional Autonoma de Mexico , Mexico. Obtenido de https://www.perplexity.ai/search/tesis-de-molino-de-bolas-en-me-7pps_8S9RR6zL5ji0nkHcQ?0=i
- Cucho Chambi, J. A. (2024). Mejora de rendimiento operativo de un molino de bolas horizontal de 7 Tn/Hr mediante selección de materiales y procesos de manufactura. Universidad Nacional de San Agustin, Ingenieria. Arequipa: Repositorio Institucional. Obtenido de https://hdl.handle.net/20.500.12773/19168
- Gálvez De La Sota, D. L. (2022). Diseño de un sistema de medición automático del desgaste del perfil del revestimiento de un molino de bolas. Pontificia Universidad Católica del Perú, Ingenieria. Lima: Repositorio de Pontificia Universidad Católica del Perú. Obtenido de http://hdl.handle.net/20.500.12404/22447
- Hinojosa Quispe, J. H. (2017). *Diseño y Simulacion de un Molino de Bolas Horizontal de 15Tn/h aplicado a una planta concentradora mediante el uso de Software Cad Especializado*.

 Universidad Nacional del Altiplano, Ingenieria Mecanica Electrica, Puno. Obtenido de http://repositorio.unap.edu.pe/handle/20.500.14082/4496
- https://es.wikipedia.org/wiki/Correa_de_transmisi%C3%B3n. (s.f.).
- https://www.comesa.com.pe/equipos/ball-mills/. (s.f.). https://www.comesa.com.pe/equipos/ball-mills/. Obtenido de https://www.comesa.com.pe/equipos/ball-mills/

- Huaman Calzada, P. (2016). "Evaluacion de Parametros para el Diseño de un Molino de Bolas en la Empresa Administradora Cerro S.A.C- Pasco-2015. Universidad Nacional Daniel Alcides Carrión. Cerro de Pasco: Universidad Nacional Daniel Alcides Carrión. Obtenido de http://repositorio.undac.edu.pe/handle/undac/253
- Inga Chancasanampa, J. S. (2021). *Mejora de la disponibilidad mecánica del molino de bolas*9x13 ft para incrementar la producción diaria en Minera Sierra Antapite. Universidad

 Nacional del Centro del Perú, Ingenieria Mecanica. Huancayo: Repositorio institucional.

 Obtenido de http://hdl.handle.net/20.500.12894/7309
- Ingemecanica. (2019). *Correas de Transmisión Calculo y Diseño*. Obtenido de https://ingemecanica.com/tutorialsemanal/tutorialn121.html
- Manual de Operación Planta Concentradora. (2012). Obtenido de https://es.slideshare.net/jaramjc/tintaya-fundamentos-operacion
- Mott, L. (2006). Diseño de Elemento de Maquinas. Mexico: Pearson.
- Optibelt. (2017). *Manual Tecnico de fajas Optibelt*. Sercoin. Obtenido de https://suministrossercoin.com/pdf/catalogo-correas-transmision-optibelt.pdf
- Paramax, S. (2019). https://latam.sumitomodrive.com/es-419/product/paramax.
- SKF. (2006). *Catalogo General de Rodamientos SKF*. Obtenido de https://0201.nccdn.net/1_2/000/000/166/f50/catalogo-general-skf.pdf
- SKF. (2015). *Rodamientos SKF*. EE.UU. Obtenido de https://0201.nccdn.net/1_2/000/000/166/f50/catalogo-general-skf.pdf
- SKF. (s.f.). https://www.skf.com/es/products/mounted-bearings/bearing-housings. Obtenido de https://www.skf.com/es/products/mounted-bearings/bearing-housings.

- Tintaya, M. (s.f.). *Manual de Operacion de Planta Concentradora*. Obtenido de https://es.slideshare.net/jaramjc/tintaya-fundamentos-operacion
- WEG. (2014). *Catalogo de MotoresTrifasicos W22*. Obtenido de https://static.weg.net/medias/downloadcenter/h60/h24/WEG-w22-motor-trifasico-50044029-brochure-spanish-web.pdf
- Weg. (s.f.). https://static.weg.net/medias/downloadcenter/h60/h24/WEG-w22-motor-trifasico-50044029-brochure-spanish-web.pdf.
- Weg, C. (2007). *Catalogo de Motores Electricos WEG*. Jaraguá do Sul SC Brasil. Obtenido de https://static.weg.net/medias/downloadcenter/h60/h24/WEG-w22-motor-trifasico-50044029-brochure-spanish-web.pdf

ANEXOS

ANEXO A.1. Caracteristicas de motores electricos trifasicos



W22 - Eficiencia Premium - 60 Hz

N polos N po	
The color The	
N polos N polos N polos N polos N polos N polos N	Factor de potencia nominal
1 0,75 143/5T 3,99 L 8,4 3,2 3,5 0,0049 18 40 18,5 51,0 1760 80,0 84,0 85,5 0 1,5 1,1 143/5T 6,00 L 8,4 2,5 3,4 0,0060 14 31 22,0 51,0 1755 82,5 85,5 86,5 0 2 1,5 143/5T 8,03 K 8,0 2,7 3,2 0,0066 11 24 23,0 51,0 1750 85,5 86,5 86,5 0 3 2,2 182/4T 12,0 K 8,1 2,3 3,4 0,0143 23 51 41,0 56,0 1760 87,5 88,5 89,5 0 5 3,7 182/4T 20,0 J 7,5 2,3 3,2 0,0169 15 33 43,0 56,0 1765 89,5 89,5 89,5 91,0 91,7 91,7	50 75 100 In (A)
1,5 1,1 143/5T 6,00 L 8,4 2,5 3,4 0,0060 14 31 22,0 51,0 1755 82,5 85,5 86,5 0 2 1,5 143/5T 8,03 K 8,0 2,7 3,2 0,0066 11 24 23,0 51,0 1750 85,5 86,5 86,5 0 3 2,2 182/4T 12,0 K 8,1 2,3 3,4 0,0143 23 51 41,0 56,0 1760 87,5 88,5 89,5 9,5 0 5 3,7 182/4T 20,0 J 7,5 2,3 3,2 0,0169 15 33 43,0 56,0 1755 88,5 89,5 89,5 0 7,5 5,5 213/5T 29,9 H 7,1 2,2 3,1 0,0566 20 44 70,0 58,0 1765 89,5 91,0 91,7 91,7 0 10 7,5 213/5T 39,8 H 6,4 2,0 3,0	
2 1,5 143/5T 8,03 K 8,0 2,7 3,2 0,0066 11 24 23,0 51,0 1750 85,5 86,5 86,5 0 3 2,2 182/4T 12,0 K 8,1 2,3 3,4 0,0143 23 51 41,0 56,0 1760 87,5 88,5 89,5 0 5 3,7 182/4T 20,0 J 7,5 2,3 3,2 0,0169 15 33 43,0 56,0 1765 88,5 89,5 89,5 0 7,5 5,5 213/5T 29,9 H 7,1 2,2 3,1 0,0566 20 44 70,0 58,0 1765 89,5 91,0 91,7 0 10 7,5 213/5T 39,8 H 6,4 2,0 3,0 0,0637 17 37 78,0 58,0 1765 91,0 91,7 91,7 91,7 91,7 92,4 0 15 11 254/6T 59,7 G 6,4 2,3	0,55 0,68 0,75 1,47
3 2,2 182/4T 12,0 K 8,1 2,3 3,4 0,0143 23 51 41,0 56,0 1760 87,5 88,5 89,5 0 5 3,7 182/4T 20,0 J 7,5 2,3 3,2 0,0169 15 33 43,0 56,0 1755 88,5 89,5 89,5 0 7,5 5,5 213/5T 29,9 H 7,1 2,2 3,1 0,0566 20 44 70,0 58,0 1765 89,5 91,0 91,7 0 10 7,5 213/5T 39,8 H 6,4 2,0 3,0 0,0637 17 37 78,0 58,0 1765 91,0 91,7 91,7 0 15 11 254/6T 59,7 G 6,4 2,3 2,7 0,1104 17 37 114 64,0 1765 91,0 91,7 92,4 0 20 15 254/6T 79,6 H 6,9 2,3 2,7 0,1305 15 33 132 64,0 1765 91,7 92,4 93,0 0	0,60 0,70 0,79 2,02
5 3,7 182/4T 20,0 J 7,5 2,3 3,2 0,0169 15 33 43,0 56,0 1755 88,5 89,5 89,5 0 7,5 5,5 213/5T 29,9 H 7,1 2,2 3,1 0,0566 20 44 70,0 58,0 1765 89,5 91,0 91,7 0 10 7,5 213/5T 39,8 H 6,4 2,0 3,0 0,0637 17 37 78,0 58,0 1765 91,0 91,7 91,7 91,7 91,7 91,7 91,7 91,7 92,4 0 15 11 254/6T 59,7 G 6,4 2,3 2,7 0,1104 17 37 114 64,0 1765 91,0 91,7 92,4 0 20 15 254/6T 79,6 H 6,9 2,3 2,7 0,1305 15 33 132 64,0 1765 91,7 92,4 93,0 0	0,57 0,70 0,79 2,76
7,5 5,5 213/5T 29,9 H 7,1 2,2 3,1 0,0566 20 44 70,0 58,0 1765 89,5 91,0 91,7 0 10 7,5 213/5T 39,8 H 6,4 2,0 3,0 0,0637 17 37 78,0 58,0 1765 91,0 91,7 91,7 91,7 91,7 91,7 92,4 0 15 11 254/6T 59,7 G 6,4 2,3 2,7 0,1104 17 37 114 64,0 1765 91,0 91,7 92,4 0 20 15 254/6T 79,6 H 6,9 2,3 2,7 0,1305 15 33 132 64,0 1765 91,7 92,4 93,0 0	0,61 0,73 0,79 3,91
10 7,5 213/5T 39,8 H 6,4 2,0 3,0 0,0637 17 37 78,0 58,0 1765 91,0 91,7 91,7 0 15 11 254/6T 59,7 G 6,4 2,3 2,7 0,1104 17 37 114 64,0 1765 91,0 91,7 92,4 0 20 15 254/6T 79,6 H 6,9 2,3 2,7 0,1305 15 33 132 64,0 1765 91,7 92,4 93,0 0	0,62 0,74 0,80 6,45
15	0,66 0,76 0,82 9,18
20 15 254/6T 79,6 H 6,9 2,3 2,7 0,1305 15 33 132 64,0 1765 91,7 92,4 93,0 0	0,66 0,77 0,83 12,4
25 35 35 37 37 37 37 37 3	0,68 0,78 0,83 18,0
25 18,5 284/6T 99,5 G 6,2 2,4 2,7 0,2153 24 53 176 64,0 1765 92,4 93,0 93,6 0	0,68 0,79 0,84 24,1
	0,70 0,80 0,84 29,5
30 22 284/6T 119 G 6,1 2,4 2,4 0,2467 20 44 198 64,0 1765 93,0 93,0 93,6 0	0,70 0,80 0,84 35,1
	0,72 0,80 0,85 47,1
11 11 11 11 11 11 11 11 11 11 11 11 11	0,66 0,77 0,83 59,2
	0,75 0,83 0,87 68,3
	0,73 0,82 0,86 84,1
	0,77 0,84 0,88 111
	0,74 0,82 0,85 139
	0,74 0,82 0,85 170

Nota. Catalogo de motores trifasicos, WEG,(2014)

ANEXO A.2. Factor de servicio de reductor Sumitomo Paramax

a clasificación e las grúas basa en norma JIS 8821-1976, lorma de eliculo para la structura e las grúas. 1,25 1,50 2,00 1,50 1,50 2,00
e las grúas e basa en norma JIS 8821-1976, los morma JIS 8821-1976, los morma de siculo para la structura e las grúas. 1,25 1,50 2,00 1,50 1,50 2,00 2,00 1,50 2,00 2,00 2,00 2,00 2,00 2,00 2,00 2
e las grúas e basa en norma JIS 8821-1976, los morma JIS 8821-1976, los morma de siculo para la structura e las grúas. 1,25 1,50 2,00 1,50 1,50 2,00 2,00 1,50 2,00 2,00 2,00 2,00 2,00 2,00 2,00 2
basa en norma JIS 8821-1976, bran de siculo para la structura e las grúas'. 1,25 1,50 2,00 1,50 1,50 2,00 1,50 2,00 2,00 1,50 2,00 2,00 2,00 2,00 2,00 2,00 2,00 2
norma JIS 8821-1976, lorma de sleulo para la structura se las grúas". 1,25 1,50 2,00 1,50 1,50 2,00 2,00 1,50 2,00 2,00 2,00 2,00 2,00 2,00 2,00 2
lorma de siculo para la structura se las grúas". 1,25 1,50 2,00 1,50 1,50 2,00 2,00 1,50 2,00 2,00 2,00 2,00 2,00 2,00 2,00
1,25 1,50 2,00 1,50 2,00 1,50 2,00 2,00 2,00 2,00 2,00 2,00 2,00 2
1,25 1,50 2,00 1,50 1,50 1,50 1,50 2,00 2,00 2,00 1,50 2,00 2,00
1,25 1,50 2,00 1,50 1,25 1,50 2,00 2,00 2,00 1,50 2,00
1,50 2,00 1,50 1,25 1,50 2,00 2,00 1,50 2,00
1,50 2,00 1,50 1,25 1,50 2,00 2,00 1,50 2,00
1,50 1,25 1,50 1,50 2,00 2,00 1,50 2,00
1,50 1,25 1,50 1,50 2,00 2,00 1,50 2,00
1,50 1,25 1,50 1,50 2,00 2,00 1,50 2,00
1,50 1,50 2,00 2,00 1,50 2,00
1,50 1,50 2,00 2,00 1,50 2,00
1,50 1,50 2,00 2,00 1,50 2,00
1,50 2,00 2,00 1,50 2,00
1,50 2,00 2,00 1,50 2,00
2,00 2,00 1,50 2,00
2,00 2,00 1,50 2,00
2,00 2,00 1,50 2,00
2,00 1,50 2,00
1,50 2,00
2,00
,,
1 25
1,50
CAS
1,50
1,50
1,50
1,50
1,50
2,00
2,00
1,50
1,50
1,50
1,50
2,00
2,00 1,25
2,00 1,25 1,25
2,00 1,25 1,25
2,00 1,25 1,25 1,50
2,00 1,25 1,25 1,50 1,50
2,00 1,25 1,25 1,50 1,50 1,50

Máguina impulando	Horas de operación (diarias)					
Máquina impulsada	3 h	10 h	24 h			
INDUSTRIA DEL CAUCHO						
Mezcladores	1,75	1,75	2,00			
Molinos mezcladores - 2 rollos lisos	1,50	1,50	1,75			
Molino de alimentación por gravedad - 2 rol-	1,50	1,50	1,50			
los lisos						
Calentador triturador						
-2 rollos: 1 rollo corrugado	1,75	1,75	1,75			
Triturador – 2 rollos corrugados	2,00	2,00	2,00			
Molino de retención, alimentación y mezcla						
-2 rollos	1,25	1,25	1,25			
Refinador – 2 rollos	1,50	1,50	1,50			
Calandrias	1,50	1,50	1,50			
FÁBRICAS DE PAPEL						
Todos los tipos, incluidas las máquinas para fabricación de papel	2,00	2,00	2,00			
AGITADORES Y MEZCLADORES						
De líquidos puros	1,00	1,00	1,25			
De líquidos y sólidos	1,00	1,25	1,50			
De líquidos de densidad variable	1,00	1,25	1,50			
MEZCLADORAS						
Hormigón	1,25	1,25	1,50			
TRITURADORAS						
De piedras o minerales	2,50	2,50	2,50			
SOPLADORES						
Centrifugos	1,00	1,00	1,25			
De lóbulos	1,00	1,25	1,50			
De paletas	1,00	1,25	1,50			
COMPRESORES						
Centrifugos	1,00	1,00	1,25			
De lóbulos	1,00	1,25	1,50			
Alternativos: multicilindro	1,50	1,50	1,75			
Alternativos: cilindro único	1,75	1,75	2,00			
VENTILADORES						
Centrifugos	1,00	1,00	1,25			
De torres de enfriamiento						
De tiro forzado	1,25	1,25	1,25			
De aspiración	1,50	1,50	1,50			
Industriales y mineros	1,50	1,50	1,50			
BOMBAS						
Centrifugas	1,00	1,00	1,25			
De tornillo	1,25	1,25	1,50			
De engranajes	1,25	1,25	1,50			
DRAGAS						
Carretes de cable	1,25	1,25	1,50			
Transportadores	1,25	1,25	1,50			
Accionamientos de cabezal cortante	2,00	2.00	2,00			
Bombas	2,00	2,00	2.00			
Accionamientos de criba	1,75	1,75	2,00			
Apiladores	1,25	1,25	1,50			
Cabrestantes	1,25	1.25	1,50			
	-,	-,	- 1			
GENERADORES Y EXCITATRICES	1,00	1,00	1,25			
TRITURADORAS DE MARTILLO	1,75	1,75	2,00			

ANEXO A.3: Factor de servicio para motores

			Tipo de carga	
Motor primario	Horas de operación	Carga uniforme	Carga con impacto moderado	Carga con impacto fuerte
		U	M	Н
	3 horas diarias	1,00	1,00	1,50
Motor eléctrico	10 horas diarias	1,00	1,25	1,75
	24 horas diarias	1,25	1,50	2,00
Motor de	3 horas diarias	1,00	1,25	1,75
combustión interna	10 horas diarias	1,25	1,50	2,00
(multicilindro)	24 horas diarias	1,50	1,75	2,25

ANEXO A.4. Potencia nominal en función de relación de reducción y velocidad

PARAMAX® 9000

SELECCIÓN Ejes paralelos - Doble reducción Relación nominal de reducción 6,3 ▶ 8

POTENCIA NOMINAL MECÁNICA (kW) ————

		Velocidad del						7	Tamañ	o del r	educto	r					
nominal de reducción		eje de baja velocidad	9015	9025	9030	9035	9040	9045	9050	9055	9060	9065	9070	9075	9080	9085	9090
	Relación exac	ta de reducción	6,257	6,193	6,314		6,049		6,470		6,188		6,246		6,429		6,609
	1800	286	76	122	179		257		350		603		900		1430		1950
	1500	238	64	102	149		223		305		530		792		1250		1710
6,3	1200	190	51	82	120		187		256		448		677		1050		1450
	1000	159	43	68	100		162		222		388		588		884		1240
	900	143	39	62	91		148		203		355		538		798		1120
	750	119	32	51	76		125		174		302		462		668		943
	Relación exac	ta de reducción	7,237	7,067	6,806		6,903		7,366		7,210		6,998		7,090		7,190
	1800	254	62	100	161		241		349		559		900		1350		1830
	1500	211	52	83	135		201		293		469		757		1130		1610
7,1	1200	169	42	67	108		162		235		377		610		914		1320
	1000	141	35	56	90		136		197		316		511		766		1100
	900	127	31	50	82		122		178		285		461		691		999
	750	106	26,5	42	68		102		149		238		386		579		836
	Relación exact	ta de reducción	7,889	7,616	8,118	7,869	7,778	7,691	7,956	8,062	7,875	7,759	8,033	7,733	8,167	7,835	8,111
	1800	225	61	99	140	187	219	257	311	350	517	603	781	900	1230	1430	1660
	<u> 1500</u>	188	51	83	117	156	190	223	271	305	455	530	687	792	1030	1250	1450
8	1200	150	41	67	94	126	154	187	227	256	378	448	571	677	836	1070	1200
	1000	125	34	56	78	105	129	162	195	222	317	388	478	588	700	932	1020
	900	113	31	50	71	95	116	148	176	203	286	355	432	538	632	841	923
	750	94	25,9	42	59	79	97	127	147	174	239	304	361	462	529	704	773
		Horizontal												C-146			
	as de	Vertical	C-170	C-172	C-172	C-172	C-172	C-172	C-172	C-174							
dimen	siones	Perpen- dicular	C-188	C-190	C-190	C-190	C-190	C-190	C-190								

ANEXO A.5. Tamaño de Reductor Paramax en función de doble reducción

POTENCIA NOMINAL TÉRMICA (kW) —

Relación									Tamañ	o del r	educto	r					
nominal de reducción	eje de alta velocidad	ventiladores de enfriamiento	9015	9025	9030	9035	9040	9045	9050	9055	9060	9065	9070	9075	9080	9085	9090
	1800	1	40 111	51 132	57 143	73 193	88 216	108 265	103 250	127 308	147 415	174 491	184 479	225 531	214 510	263 709	340 1048
Doble reducción	1500	1	39 97	50 117	58 130	75 176	89 195	110 240	106 228	131 282	151 378	180 452	192 446	238 500	232 492	284 679	360 986
Horizontal	1200	1	38 83	49 101	58 115	75 156	88 171	110 213	106 202	131 251	151 337	182 405	196 404	245 456	240 452	296 629	370 901
6,3	1000	1	36 71	47 86	56 100	74 136	86 148	108 185	104 176	130 220	149 294	180 355	195 356	245 405	241 402	299 562	371 799
8	900	1	35 66	46 81	55 94	73 128	85 139	107 176	103 166	128 208	147 277	178 336	193 337	243 385	240 382	298 537	369 761
	750	1	33 57	44 70	53 82	70 113	81 122	103 154	99 146	124 183	142 245	173 298	188 300	239 343	235 342	293 481	362 680
	1800	-	39	49	54	69	84	102	98	120	135	158	163	200	182	229	220
Doble reducción	1500	-	38	49	56	72	86	106	102	125	142	168	182	219	210	258	277
Vertical	1200	-	37	48	56	73	86	107	103	128	145	174	194	231	231	278	317
6,3	1000	-	36	46	55	72	85	106	102	127	144	174	195	235	239	285	330
8	900	-	35	45	54	71	83	105	101	126	143	173	193	235	240	286	334
	750	-	33	43	52	69	80	101	98	122	139	169	188	232	235	284	336
	1800	1	32 89	40 106	45 115	59 154	70 173	86 212	82 200	102 246	118 332	139 393	147 383	180 425	171 408	211 567	
Doble reducción	1500	1	31 78	40 94	46 104	60 141	71 156	88 192	85 182	105 225	121 303	144 361	154 357	190 400	186 394	227 543	
Perpen- dicular	1200	1	30 66	39 81	46 92	60 125	71 137	88 170	85 162	105 201	121 269	146 324	157 323	196 365	192 361	237 503	
6,3	1000	1	29 56	38 69	45 80	59 109	69 118	86 148	83 141	104 176	119 235	144 284	156 285	196 324	193 321	239 450	
8 .	900	1	28 53	37 65	44 75	58 103	68 111	86 141	82 133	102 166	117 222	142 269	154 270	195 308	192 306	238 429	
	750	1	26 45	35 56	43 66	56 90	65 97	82 123	79 117	99 147	114 196	138 238	151 240	191 275	188 273	235 385	

Nota. Reductores Paramax (2019)

ANEXO A.6. Factor de corrección según temperatura de reductor paramax

Temperatura ambiente	Factor de de temp	
°C	Sin ventilador	Con ventilador
20	1,00	1,00
30	0,85	0,87
40	0,70	0,73
50	0,55	0,60

ANEXO A.7. Carga radial de reductor paramax según velocidad

PARAMAX® 9000

SELECCIÓN Cargas radiales y axiales admisibles sobre el eje de baja velocidad Ejes paralelos

Carga radial admisible (kN) Hoja 1 Aplicable a las configuraciones: RL, LR, BL Velocida Tamaño del reductor 9015 9025 9030 9035 9040 9045 9050 9055 9060 9065 9070 9075 9080 9085 9090 9095 32,4 37,8 46,6 39,7 49,1 44,1 77,0 77,0 100,1 100,1 137,8 139,8 17,7 17,7 29,4 29,9 160 89,0 108,9 108,9 145,7 20.1 32.4 33,8 39.7 48,1 41,7 50,5 46,1 89.0 17.7 31.4 157.5 estándar 100 11,8 17,7 25,0 35,3 38,7 39,2 47,1 53,5 47,6 54,4 54,4 99,0 99,0 122,1 122,1 63 17,7 26,5 35,3 42,2 47,1 54,9 62,3 58,9 64,3 65,2 131,5 131,5 125,6 125,6 143,7 165,3 54,9 67,7 71,1 78,0 40 11.8 17.7 26.5 35.3 42.2 49.1 79.0 141.0 141.0 125.1 125.1 137.8 11,8 17,7 26,5 35,3 42,2 49,1 54,9 67,7 81,4 99,1 139,5 139,5 122,6 122,6 135,4 163,3 71,1 93,7 70,1 122,5 122,5 141,8 141,8 158,9 181,0 Modelo 160 78,0 94,7 77,5 137,5 137,5 132,4 132,4 151,6 de roda 100 81,4 98.1 92,2 149,5 149,5 127,0 127,0 147,6 miento para 63 81,4 98,1 114,8 149,0 149,0 125,6 125,6 143,7 165,8 servicio 40 98,1 117,7 148,5 148,5 125,1 125,1 137,8 $81,4 \quad 98,1 \quad 117,7 \quad 14\underline{7},0 \quad 147,0 \quad 122,6 \quad 122,6 \quad 135,4 \quad 163,8$ ≦ 25

Nota. Reductores Paramax (2019)

ANEXO A.8. Factor de esfuerzo radial de reductor paramax

Factor de esfuerzo radial

Elemento de esfuerzo radial	Factor de esfuerzo radial
Rueda dentada (hilera única)	1
Rueda dentada (hilera doble)	1,25
Engranajes	1,25
Correa en V	1,5
Correa plana	2,5

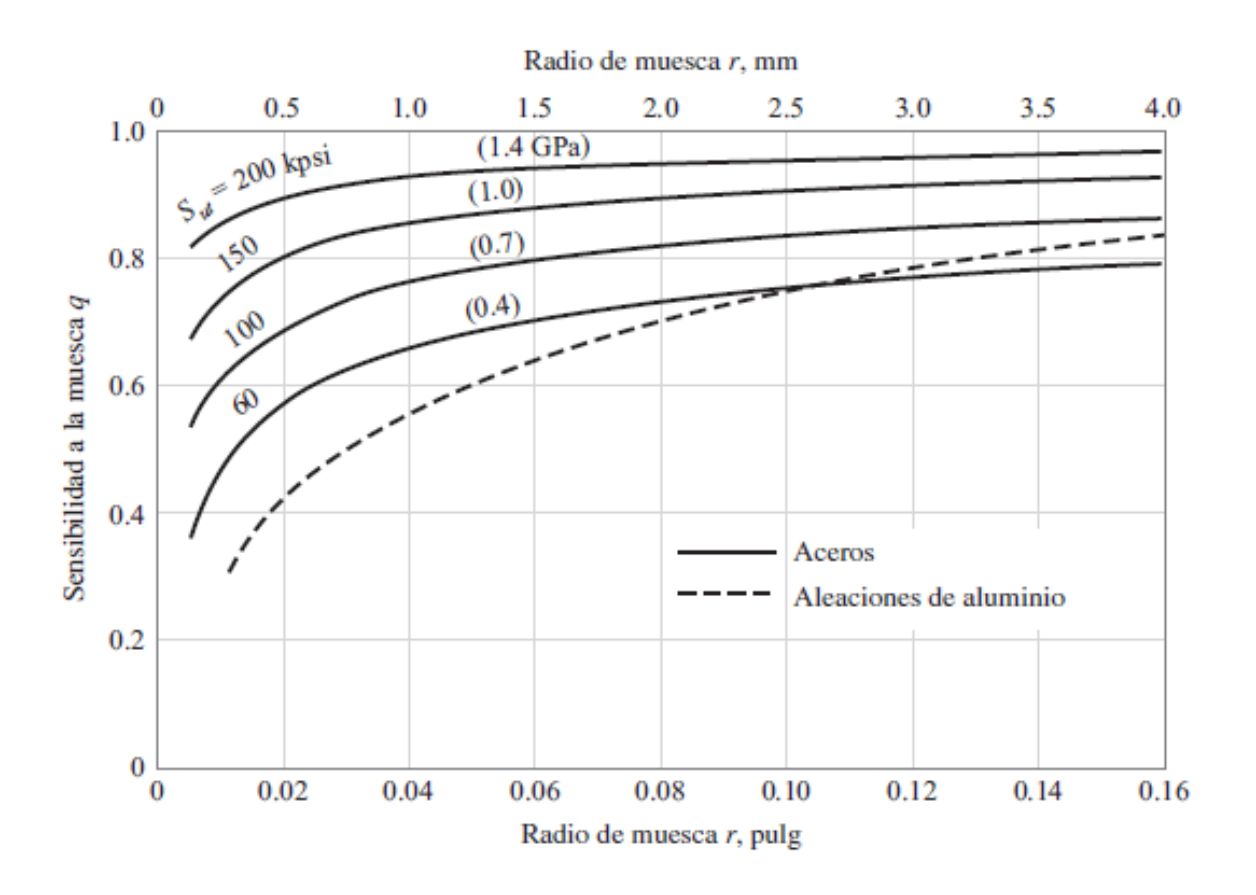
ANEXO B.1. Valores para determinar el factor de acabado superficial de eje transmisión

Acabado superficial	Factor a	Ex	ponente b
	S_{ut} (kpsi)	S_{ut} (MPa)	
Esmerilado	1.34	1.58	-0.085
Maquinado o laminado en frio	2.70	4.51	-0.265
Laminado en caliente	14.4	57.7	-0.718
Como sale de forja	39.9	272	-0.995

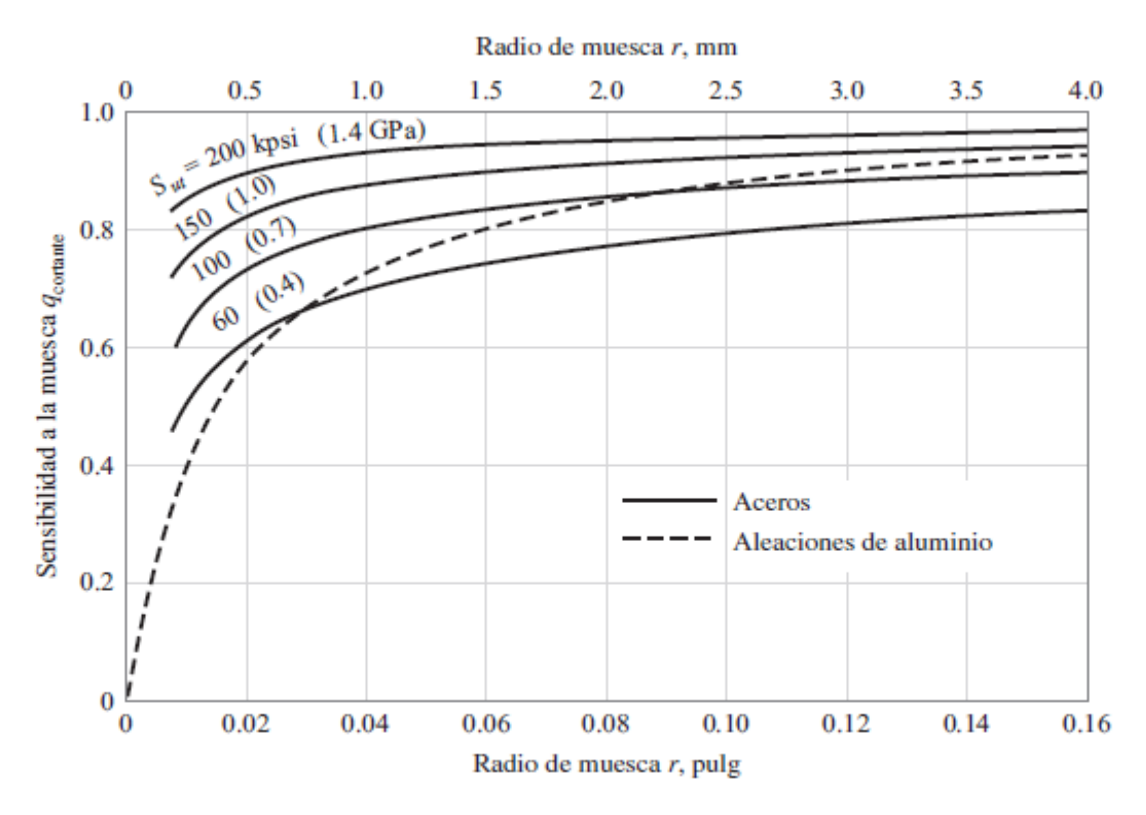
ANEXO B.2. Valores de temperatura según tensión del acero

Tabla 6-4	Temperatura, °C	S _T /S _{RT}	Temperatura, °F	S _T /S _{RT}
Efecto de la temperatura	20	1.000	70	1.000
de operación en la resistencia a la tensión del acero.*	50	1.010	100	1.008
$(S_T = \text{resistencia a la tensión})$	100	1.020	200	1.020
a la temperatura de opera-	150	1.025	300	1.024
ción, S_{RT} = resistencia a la tensión a temperatura ambiente; $0.099 \le \hat{\sigma} \le 0.110$)	200	1.020	400	1.018
	250	1.000	500	0.995
	300	0.975	600	0.963
	350	0.943	700	0.927
	400	0.900	800	0.872
	450	0.843	900	0.797
	500	0.768	1 000	0.698
	550	0.672	1 100	0.567
	600	0.549		

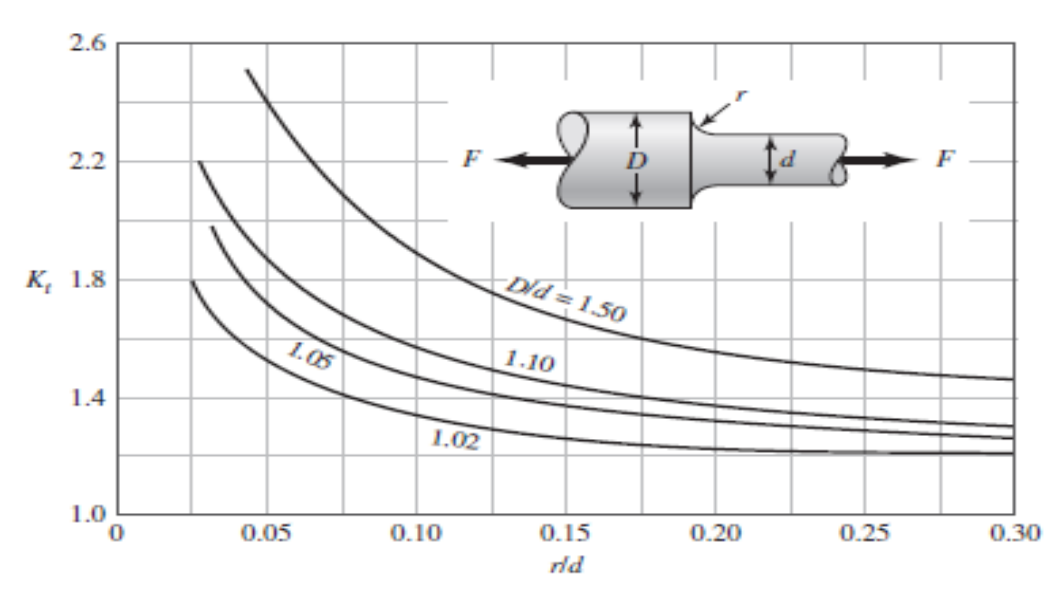
ANEXO B.3. Sensibilidad a la muesca en el caso de aceros y aleaciones de aluminio forjado UNS A92024-T, sometidos a flexión inversa de cargas axiales inversas



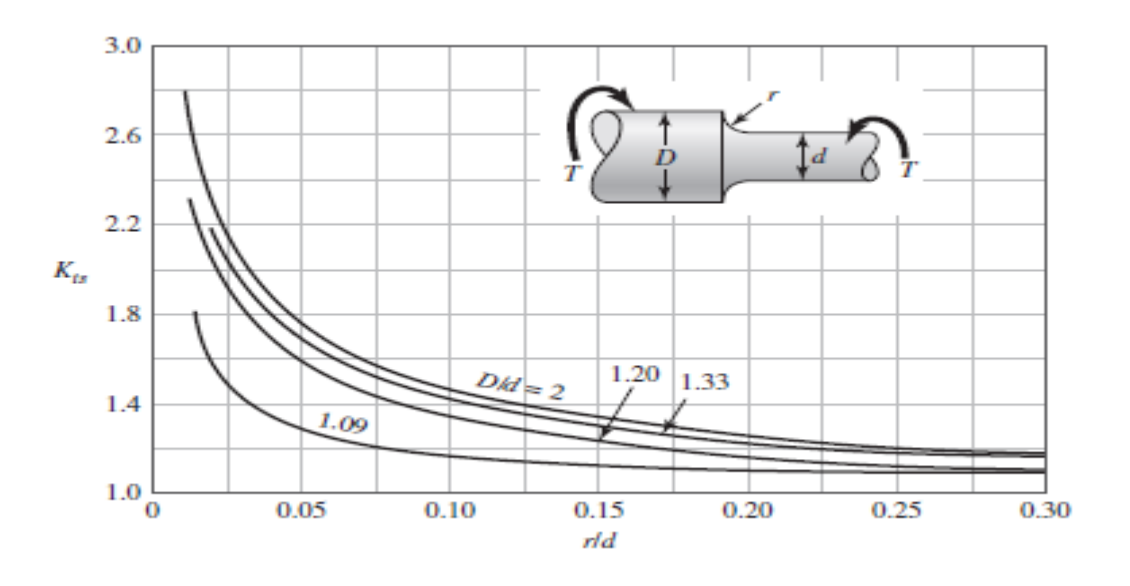
ANEXO B.4. Sensibilidad a la muesca de materiales sometidos a torsión inversa. En el caso de radios de muesca más grandes



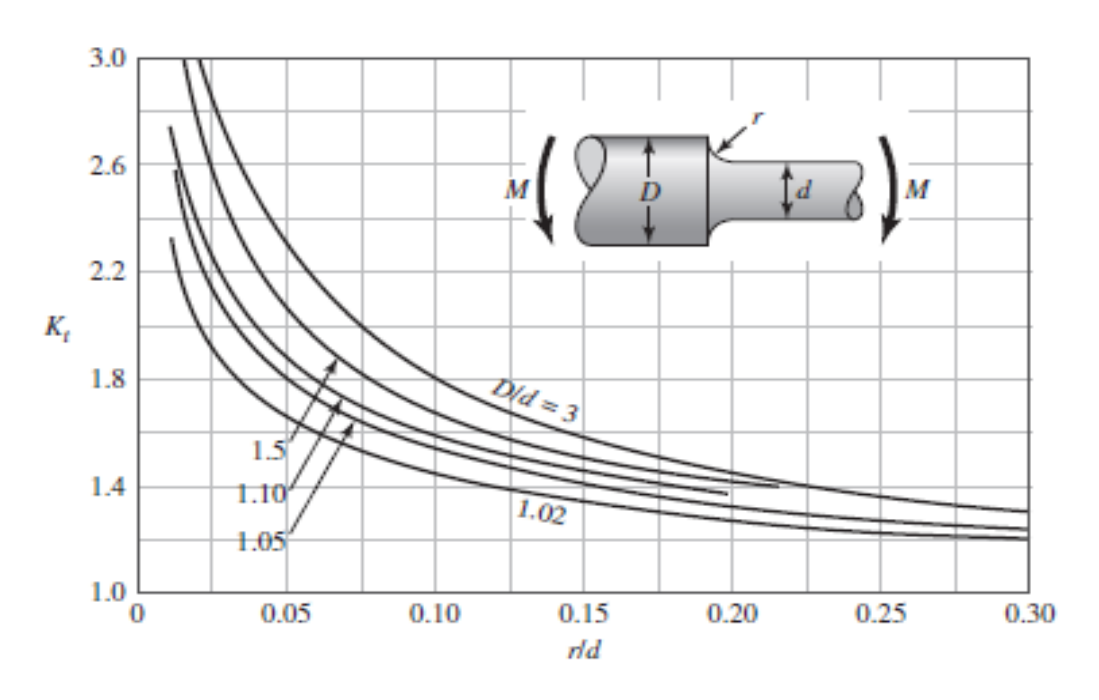
ANEXO B.4 Eje redondo con filete en el hombro en tensión.



ANEXO B.5. Eje redondo con filete en el hombro en torsión.



ANEXO B.6. Eje redondo con filete en el hombro en flexión



ANEXO B.7. Concentración de esfuerzos en chaveteros

CONCENTRACION DE ESFUERZOS POR LA PRESENCIA DE CHAVETEROS EN EJES DE ACERO

+		
σ _{ET} ό S _u	k _f (a la fatiga)	ó k _e (efectivo)
[MPa]	para Flexión	para Torsión
500	1,50	1,40
600	1,60	1,50
700	1,70	1,60
800	1,80	1,70
900	1,90	1,80
1.000	2,00	1,90

Nota. Diseño de elemento de maquinas, Mott, (2006)

ANEXO C.1. Características de aceros BOHLER

-	Verde	Blanco	Azul	Verde - Rojo - Lila	Verde - Azul - Rojo	Lila - Blanco	Amarillo - Lila	Rojo - Azul	Amarillo - Rojo - Blanco	Amarillo - Blanco	Naranja - Plateado	Amarillo - Rojo	Azul - Amarillo - Azul	IDENTIFICA	
	VCN	TRANSMISIÓN	ECN	M 303 MOLDINGX SUPREM	STARMOLD	NY EXTRA	K 340 IMPACT EXTRA	K 460 AMUTH S	K 110 ESPECIAL KMV	K 100 ESPECIAL K	W 320 WMD	W 302 US UUTRA	S 600 SUPER RAPID	IDENTIFICACIÓN DE ACEROS POR COLORES	DONLEX
	BONIFICADO AUTA TORSION	BAJO CARBONO	G-Ni G-Ni	PVC PLÁSTICOS	POLIPROPILENO, ETC.	CUÑOS	TRABAJO EN FRÍO IMPACTO	TRABAJO EN FRÍO MATRICES	TRABAJO EN FRÍO MATRICES	TRABAJO EN FRÍO MATRICES	TRABAJO EM CALIENTE FORJA	TRABAJO EN CALIENTE EXTRUSIÓN	ACERO RÁFIDO FRESAS MACHOS	OR COLORES	, ה
	Amarillo - Rojo – Verde	Verde - Amarilo - Azul	Rajo - Negro	Blanco - Negro	Negro	Verde - Amarillo - Negro	Negro - Naranja - Verde	Rojo - Verde	Verde - Azul	Amarillo - Verde	Azul	Rojo - Blanco - Rojo	WEIGHT - DIGITION	Vanda Blanco	TRANSPARA
	Amarillo - Rojo – Verde CHRONIT T1-500	Verde - Amarillo - Azul CHRONTTT1-400	Rojo - Negro H 525 AMTITHERM FFB	Blanco - Negro ANTINIT 304 L	Negro ANTINIT 316 L	Verde - Amarillo - Negro ANTINIT KW85	Negro - Naranja - Verde AATINIT KWB	Rojo - Verde CHRONITT-1 500 HB	Verde - Azul CHRONIT T-1	Amarillo - Verde K 700 CHRONOS	AZul BARRA PERFORADA		WEIGHT - DIGITIO	Vords Blanco	

Nota. Catalogo de aceros Bohler (2020)

8

ANECO C.2. Características de los aceros VCN

VCN AISI: ~ 4340 H
DIN : 34 Cr Ni Mo 6
WN": 1,6582

Tipo de aleación : C0,34 Cr1,5 Ni1,5 Mo0,2 Si0,30 Mn0,50%

Color de identificación : Verde

Estado de suministro : Bonificado 240-380 HB Típico. Ver tabla inf.

Largo Standard : 3,5 - 5 metros.

Acero especial de bonificación al cromo níquel molibdeno, altamente resistente a la tracción, a la torsión y a cambios de flexión. Insensible al sobrecalentamiento en el forjado y libre de propensión a fragilidad de revenido. Por su estado de suministro permite en la mayoría de los casos su aplicación, sin necesidad de tratamiento térmico adicional.

APLICACIONES: Partes de maquinaria y repuestos de mayores dimensiones, sometidas a muy altos esfuerzos dinámicos y otras altas exigencias mecánicas. Cigüeñales, ejes de leva, árboles de transmisión, barras de torsión, ejes cardán, ejes para bombas, ejes para hélice de aviones, pernos y tuercas de alta tensión, rodillos de transportadora, vástagos y pines, muñones; brazos de dirección, ciertos engranajes, discos de embrague, etc.

INDICACIONES PARA EL TRATAMIENTO TÉRMICO

Forjado:	1050 -	850 °C	N/mm² 1800 r	DIAGRAMA DE BONFICACIÓN
Recocido:	650 -	700 °C	1600	
Enfriamiento lento en el	homo		1200	1
Temple: al aceite	830 -	860 °C	1000	1
Dureza Obtenible:	52 -	56 HRC	800	1 74
Revenido:	540 -	680 °C	400	
Normalizado:	850 -	880 °C	200	Resistancia a la tr acción Limite de Pisencia
Nitrurar:		580 °C	400	450 500 550 600 6 Temperatura de revenido en °C

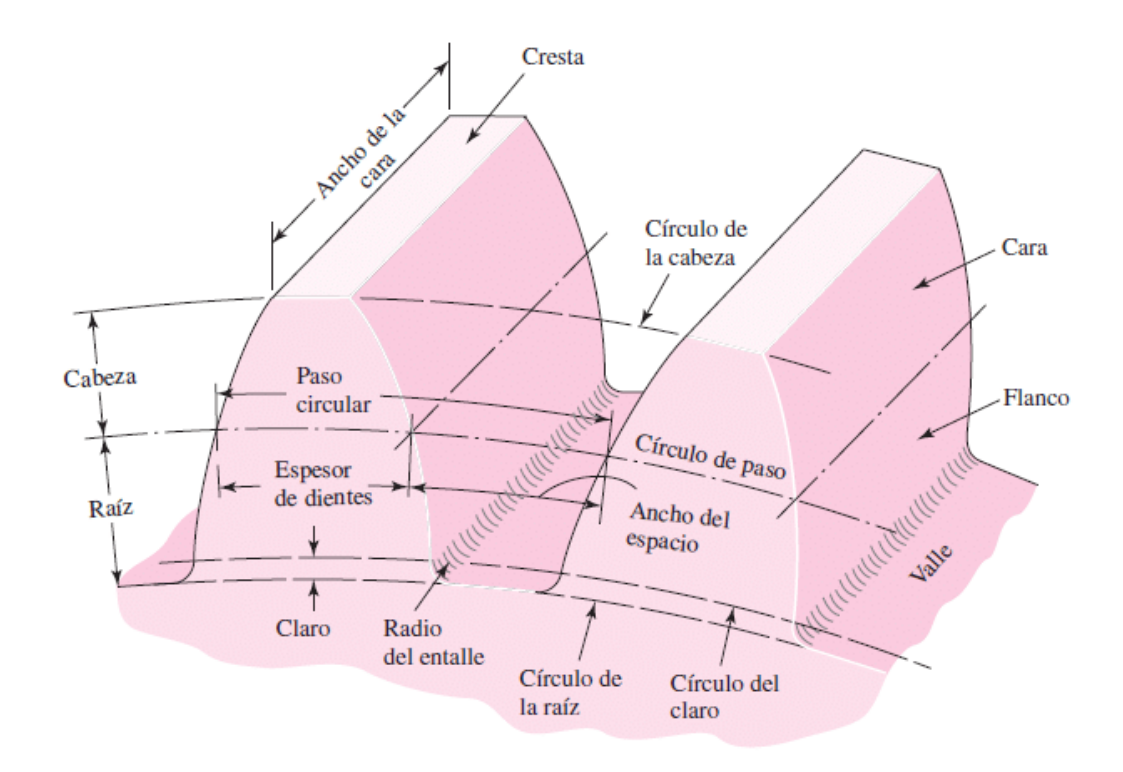
	ncia en lecocido		CA	RACTERISTIC	CAS MECÁNICAS	EN ESTADO BO	ONIFICADO	
máx. N/mm²	Dureza Brinell	7100			Elongación (Lo = 5d)	Estricción	Resilencia según	
	máx.	desde	hasta	N/mm²	N/mm²	% min.	% min.	DVM Joule
	100000		16	980	1180 - 1380	9	40	41
	9756	16	-40	885	1080 - 1280	10	45	48
800	248	40	100	785	980 - 1180	11	50	48
	1000	100	160	980 885 785 685	880 - 1080	12	55	48
		160	250	590	780 - 930	13	55	48

Soldadura: Consultar con nuestro Departamento Técnico

BÖHLER

26

ANEXO C.3. Nomenclatura de Engranajes Rectos



Nota. Diseño en ingenieria mecanica de Shigley, por Budynas & Nisbett (2008)

ANEXO C.4. Valores del factor de forma de Lewis Y (estos valores son para un ángulo normal de presión de 20°

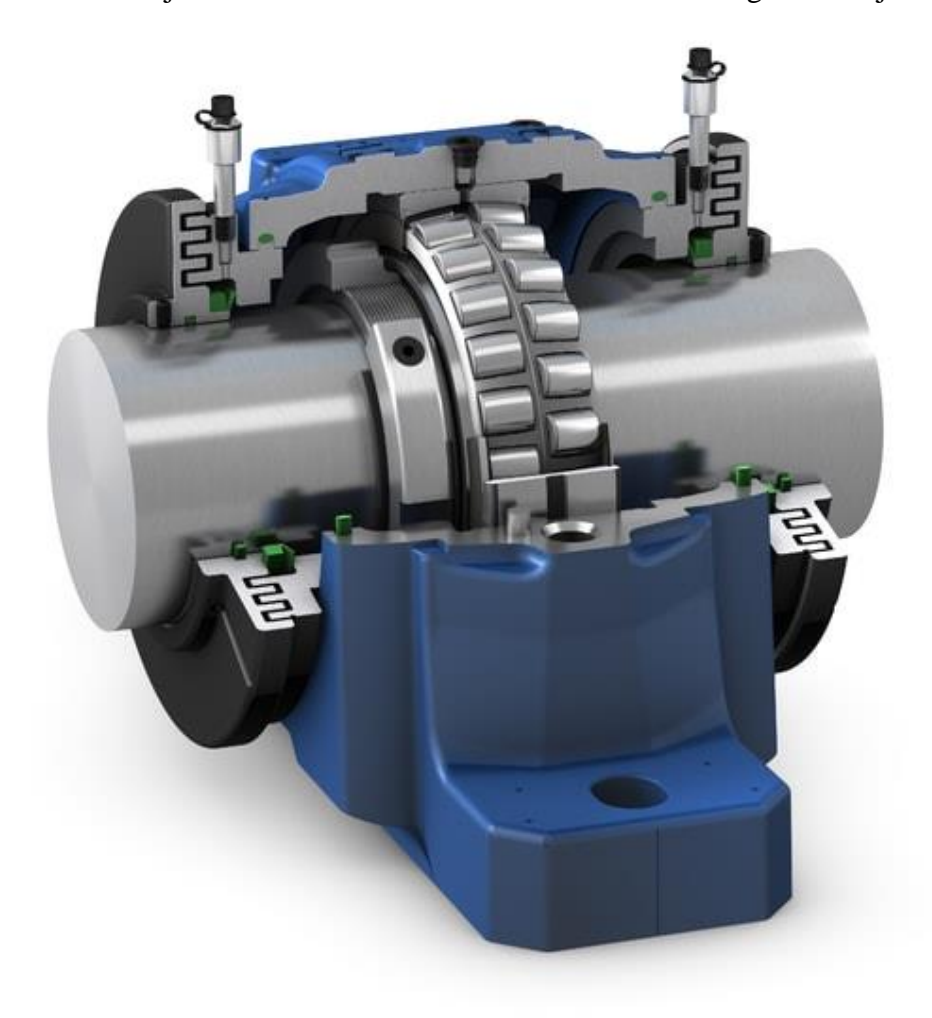
Número de dientes	Υ	Número de dientes	Y
12	0.245	28	0.353
13	0.261	30	0.359
14	0.277	34	0.371
15	0.290	38	0.384
16	0.296	43	0.397
17	0.303	50	0.409
18	0.309	60	0.422
19	0.314	75	0.435
20	0.322	100	0.447
21	0.328	150	0.460
22	0.331	300	0.472
24	0.337	400	0.480
26	0.346	Rack	0.485

Nota. Diseño en ingeniería mecánica de Shigley, por Budynas & Nisbett (2008), p. 710

ANEXO D. Soporte de pie para montaje de rodamiento en eje de transmisión

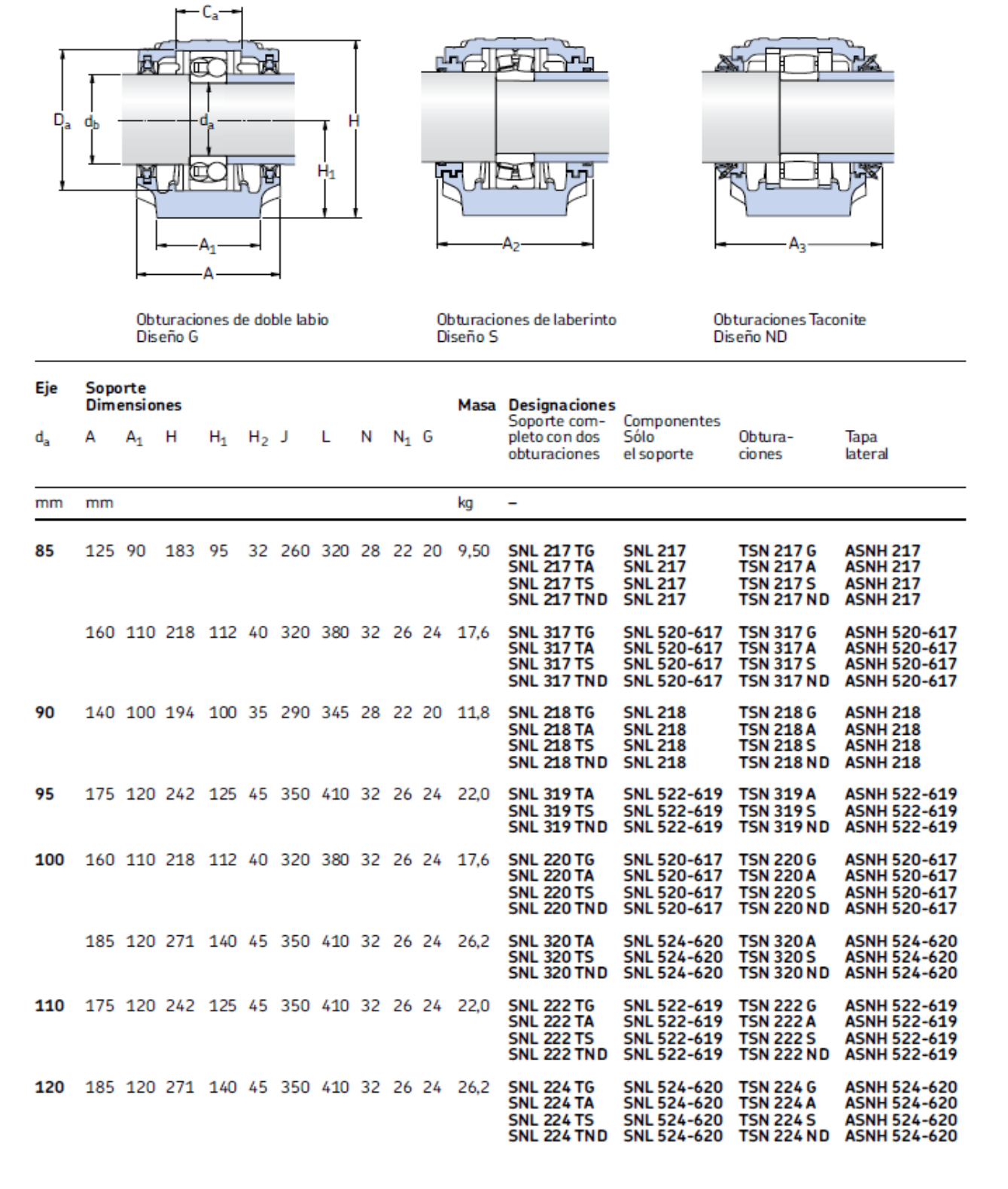


ANEXO D.2. Montaje de rodamiento de rodillos a rotula con manguito de fijación ene eje



Nota. (SKF, https://www.skf.com/es/products/mounted-bearings/bearing-housings, s.f.)

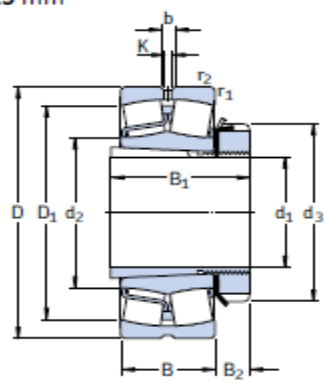
ANEXO D.3. Selección de soporte de pie para rodamiento SKF



ANEXO D.4. Selección de rodamiento de rodillos a rotula para eje de transmisión

Rodamientos de rodillos a rótula sobre manguitos de fijación

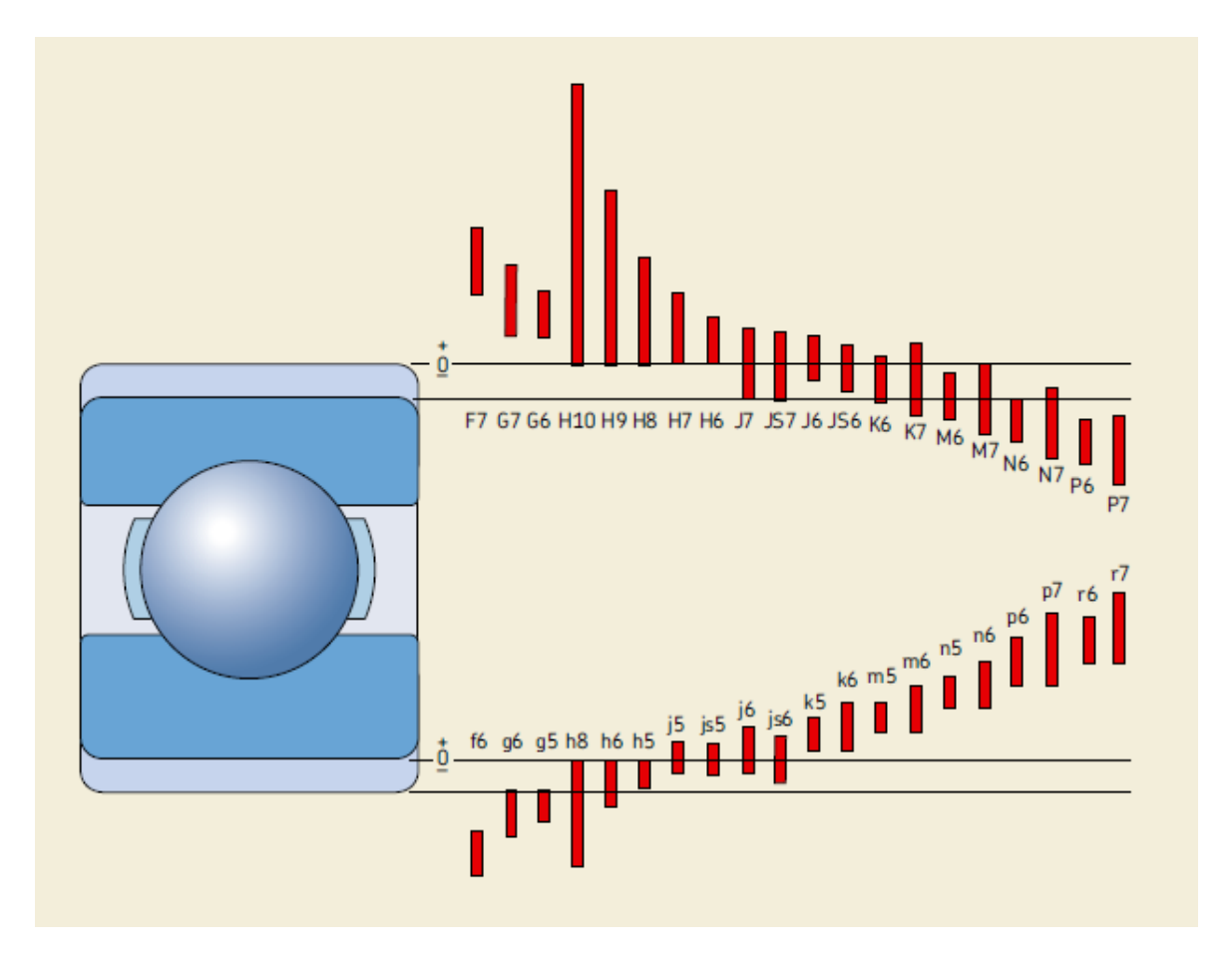
d₁ 70 - 115 mm



Dimensiones principales		Capacidad de carga básica dinámica estática			Carga Velocidades limite Velocidad Velocidad de fatiga de refe- limite			Designaciones Rodamiento	Manguito de fijación	
d ₁	D	В	C	C ₀	P _u	rencia	timite	+ manguito		de fijacion
mm			kN		kN	rpm		kg	-	
70	140 170 170	33 39 58	236 325 490	270 375 540	29 39 54	4300 3800 3000	6 000 5 300 4 000		* 22216 EK * 21316 EK * 22316 EK	H 316 H 316 H 2316
75	150 180 180	36 41 60	285 325 550	325 375 620	34,5 39 61	4 000 3 800 2 800	5 600 5 300 3 800	3,70 6,20 8,85	* 22217EK * 21317EK * 22317EK	H 317 H 317 H 2317
80	160 160 190 190	40 52,4 43 64	325 355 380 610	375 440 450 695	39 48 46,5 67	3800 2800 3600 2600	5 300 3 800 4 800 3 600	4,55 6,00 7,25 10,5	* 22218 EK * 23218 CCK/W33 * 21318 EK * 22318 EK	H 318 H 2318 H 318 H 2318
85	170 200 200	43 45 67	380 425 670	450 490 765	46,5 49 73,5	3600 3400 2600	4 800 4 500 3 400		* 22219EK * 21319EK * 22319EK	H 319 H 319 H 2319
90	165 180 180 215 215	52 46 60,3 47 73	365 425 475 425 815	490 490 600 490 950	53 49 63 49 88	3 000 3 400 2 400 3 400 2 400	4 000 4 500 3 400 4 500 3 000	6,40 8,75	* 23120 CCK/W33 * 22220 EK * 23220 CCK/W33 * 21320 EK * 22320 EK	H 3120 H 320 H 2320 H 320 H 2320
100	170 180 200 200 240	45 56 53 69,8 80	310 430 560 600 950	440 585 640 765 1120	46,5 61 63 76,5 100	3 400 2 800 3 000 2 200 2 000	4 300 3 600 4 000 3 200 2 800	5,75 7,70 8,90 12,5 21,0	* 23022 CCK/W33 * 23122 CCK/W33 * 22222 EK * 23222 CCK/W33 * 22322 EK	H 322 H 3122 H 322 H 2322 H 2322
110	180 200 215 215 260	46 62 58 76 86	355 510 630 695 965	510 695 765 930 1120	53 71 73,5 93 100	3 200 2 600 2 800 2 000 2 000	4 000 3 400 3 800 2 800 2 600	10.0	* 23024 CCK/W33 * 23124 CCK/W33 * 22224 EK * 23224 CCK/W33 * 22324 CCK/W33	H 3024 H 3124 H 3124 H 2324 H 2324
115	200 210 230 230 280	52 64 64 80 93	430 560 735 780 1 120	610 780 930 1060 1320	62 78 88 104 114	2800 2400 2600 1900 1800	3 600 3 200 3 600 2 600 2 400	18,5	* 23026 CCK/W33 * 23126 CCK/W33 * 22226 EK * 23226 CCK/W33 * 22326 CCK/W33	H 3026 H 3126 H 3126 H 2326 H 2326

^{*} Rodamiento SKF Explorer

ANEXO D.5. Tabla de ajustes para rodamientos en ejes de transmisión



ANEXO D.6. Valor de los Factores X e Y, de los diferentes tipos de Rodamientos

Padamiento de halar						Rodennianto de Rodillos					
Rodamiento de bolas						Rodamiento de Rodill					
Tipo de Rodamiento	$\frac{Fa}{F_r}$	< €	$\frac{Fa}{F_r}$	> €	e	Tipo de Rodamiento		$\frac{Fa}{F_r}$ < e	$\frac{Fa}{F_r}$	> e	e
	х	Y	x	Y	-		X	Y	X	Y	
Rodamientos Rigidos de bolas						Rodamiento de rodillo: a rôtula					
Series 6, 160, 60, 62, 63. 64. 42. 43						23944-239/670 239/710-239/980	1	3.7 4	0.67 0.67	5.5 6	0.18 0.17
$\frac{F_a}{C_o} = 0.025$	1	0	0.56	2	0.22	23024 CC-23068 CA C 23072 CA C-230/500 CA C	1	2.9 3.3	0.67 0.67	4.4 4.9	0.23
= 0.04 = 0.07	1	0	0.56 0.56	1.8	0.2 0.27	24024 CC -24080 CAC 24084 CA C-240/500 CA C	1	2.3 2.4	0.67	3.5 3.6	0.29
= 0.13 = 0.25 = 0.50	1	0	0.56 0.56	1.2 1.2	0.31 0.37 0.44	23120 CC-23128 CC 23130 CC-231/500 CA C	1	2.4 2.3	0.67	3.6 3.5	0.28
Rodamientos de bolas a						24122 CC-24128 CC 24130 CC-24172 CA C	1	1.9 1.8	0.67	2.9 2.7	0.35
rótula						24176 CA C-241/500 CA C	1	1.9	0.67	2.9	0.35
135. 126. 127. 108. 129	1	18	0.65		0.34	22205 CC-22207 CC 22208 CC-22209 CC	1	2.1	0.67	3.1	0.32
1200-1203 1204-1205	1	2	0.65	3.1	0.31	22210 CC-22220 CC	1	2.9	0.67	4.4	0.23
1204-1203	i	27	0.65	4.2	0.27	22222 CC-22244 CC	1	2.6	0.67	3.9	0.26
1208-1209	ī	29	0.65	4.5	0.21	22248 CC-22264 CA C	1	2.4	0.67	3.6	0.28
1210-1212	1	3.4	0.65	5.2	0.19	23218 CC-23220 CC	1	2.2	0.67	3.3	0.31
1213-1222 1224-1230	1	3.6 3.3	0.65	5.6 5	0.17	23222 CC-23264 CA C	1	2	0.67	3	0.34
1224-1230	-	3.5	0.05	,	0.2	21304 CC-21305 CC	1	2.8	0.67	4.2	0.24
2200-2204	1	1.3	0.65	2	0.5	21306 CC-21310 CC 21311 CC-21319 CC	1	3.2 3.4	0.67	4.8 5	0.21
2205-2207	1	17	0.65	2.6	0.37	21320 CC - 21322 CC	1	3.7	0.67	5.5	0.18
2208-2209	1	2	0.65	3.1	0.31	22206 CC 22210 CC		1.8	0.67	2.7	0.37
2210-2213 2214-2220	1	23 24	0.65	3.5	0.28	22306 CC-22310 CC 22311 CC-22315 CC	1	1.9	0.67	2.9	0.35
2221-2222	i	23	0.65	3.5	0.28	22316 CC-22340 CC	1	2	0.67	3	0.34
1300-1303	1	18	0.65	2.8	0.34	22344 CC-22356 CC	1	1.9	0.67	2.9	0.35
1304-1305 1306-1309 1310-1322	1 1 1	22 25 28	0.65 0.65 0.65	3.4 3.9 4.3	0.29 0.25 0.23	Rodamientos de rodillos cónicos					
2301	1	1	0.65	1.6	0.63	32005-32024	1	0	0.4	1.35	0.44
2302-2304	1	1.2	0.65	1.9	0.52	30203-30204	1	0	0.4	1.75	0.34
2305-2310	1	1.5	0.65		0.43	30205-30208	1	0	0.4	1.6	0.37
2311-2318	1	16	0.65	2.5	0.39	30209-30222	1	0	0.4	1.45	0.41
Rodamientos de bolas con contacto						30224-30230 32206-32208	1	0	0.4	1.35	0.44
		_				32209-32222	1	0	0.4		0.41
Series 72B, 73B Series 72BG, 73BG	1	0	0.35	0.57	1.14	32224-32230	1	0	0.4	1.35	0.44
Un par de rodamientos	,		0.25	0.55	1 14	30302-3033 30304-30307	1	0	0.4	1.95	0.28
montados en tándem	1	0	0.35	0.57	1.14	30306-30324	1	0	0.4		0.34
Un par de rodamientos montaie O o X	1	0.55	0.57	0.93	1.14	31305-31318 32303	1	0	0.4	0.73	0.82
Series 32, 33	1	0.73	0.62	0.17	0.86	32304-32307	1	0	0.4	1.95	
Series 33D	1	047	0.54	0.81	1 33	32308-32324	1		0.4		0.34

ANEXO 16 Seguridad de carga C/P para diferentes duraciones expresadas en millones de revoluciones

codamiento	TE DOM?			Rodamiento	ue Roumo		
Duracion	C	Duracion	C	Duracion	C	Duracion	С
En	P	En	P	En	P	En	<u>C</u> P
millones	-	millones	•	millones	P	millones	•
rev ol		revol		revol		revol	
L10		L10		L10		L10	
0.50	0.793	600	8.430	0.50	0.812	600	6.81
0.75	0.909	650	8.66	0.75	0.92	650	6.98
1	1.00	700	8.88	1	1.00	700	7.14
2	1.14	750	9.09	2	1.13	750	7.29
2	1.26	800	9.28	2	1.24	800	7.43
				3			
3	1.44	850	9.47		1.39	850	7.56
4	1.59	900	9.65	4	1.52	900	7.70
5	1.71	950	9.83	5	1.62	950	7.82
6	1.82	1000	10.0	6	1.71	1000	7.94
8	2.00	1100	10.3	8	1.87	1100	8.17
10	2.15	1200	10.6	10	2.00	1200	8.39
12	2.29	1300	10.9	12	2.11	1300	8.59
14	2.41	1400	11.2	14	2.21	1400	8.79
16	2.52	1500	11.4	16	2.30	1500	8.97
18	2.62	1600	11.7	18	2.38	1600	9.15
20	2.71	1700	11.9	20	2.46	1700	9.31
25	2.92	1800	12.2	25	2.63	1800	9.48
30	3.11	1900	12.4	30	2.77	1900	9.63
35	3.27	2000	12.6	35	2.91	2000	9.78
40	3.42	2200	13.0	40	3.02	2200	10.1
45	3.56	2400	13.4	45	3.13	2400	10.3
50	3.68	2600	13.8	50	3.23	2600	10.6
60	3.91	2800	14.1	60	3.42	2800	10.8
70	4.12	3000	14.4	70	3.58	3000	11.0
80	4.31	3500	15.2	80	3.72	3500	11.5
90	4.48	4000	15.9	90	3.86	4000	12.0
100	4.64	4500	16.5	100	3.98	4500	12.5
120	4.93	5000	17.1	120	4.20	5000	12.9
140	5.19	5500	17.7	140	4.40	5500	13.2
160	5.43	6000	18.2	160	4.58	6000	13.6
180	5.65	7000	19.1	180	4.75	7000	14.2
200	5.85	8000	20.0	200	4.90	8000	14.8
250	6.30	9000	20.8	250	5.24	9000	15.4
300	6.69	10000	21.5	300	5.54	10000	15.8
350	7.05	12500	23.2	350	5.80	12500	16.9
400	7.03			400	6.03		
		15000	24.7			15000	17.9
450	7.66	17500	26.0	450	6.25	17500	18.7
500 550	7.94 8.19	20000 25000	27.1 29.2	500 550	6.45 6.64	20000 25000	19.5 20.9